

7-169

АЗЭРБАЙЧАН ССР ЕЛМЛӘР АКАДЕМИЈАСЫ
АКАДЕМИЯ НАУК АЗЕРБАЙДЖАНСКОЙ ССР

МЭРУЗЭЛЭР
ДОКЛАДЫ

ТӨМ XIX ЧИЛД

4

АЗЭРБАЙЧАН ССР ЕЛМЛӘР АКАДЕМИЈАСЫ НӘШРИЈАТЫ
ИЗДАТЕЛЬСТВО АКАДЕМИИ НАУК АЗЕРБАЙДЖАНСКОЙ ССР

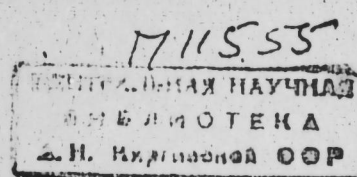
Бакы — 1963 — Баку

АЗЭРБАЙЧАН ССР ЕЛМЛЭР АКАДЕМИЯСЫ
АКАДЕМИЯ НАУК АЗЕРБАЙДЖАНСКОЙ ССР

МЭ'РҮЗЭЛЭР ДОКЛАДЫ

ТОМ XIX ЧИЛД

№ 4



АЗЭРБАЙЧАН ССР ЕЛМЛЭР АКАДЕМИЯСЫ НЭШРИЈАТЫ
ИЗДАТЕЛЬСТВО АКАДЕМИИ НАУК АЗЕРБАЙДЖАНСКОЙ ССР
БАКЫ—1963—БАКУ

Р. А. ШАФИЕВ

ОБ ОДНОМ ИТЕРАЦИОННОМ ПРОЦЕССЕ ДЛЯ НЕЛИНЕЙНОГО ОПЕРАТОРНОГО УРАВНЕНИЯ

(Представлено академиком АН Азербайджанской ССР З. И. Халиловым)

Пусть $P(x)$ —нелинейный оператор, определенный в шаре $D(x, r) = \{x: \|x - x_0\| > r\}$ банахова пространства X , со значениями в банаховом пространстве Y .

Для приближенного решения уравнения

$$P(x)=0 \quad (1)$$

в работе [2] был предложен итерационный процесс

$$x_{n+1} = x_n - Q_n \Gamma_n P(x_n), \quad n=0, 1, 2, \dots, \quad (2)$$

$$\text{где } \Gamma_n = [P'(x_n)]^{-1} \text{ и } Q_n = \left[I - \frac{1}{2} \Gamma_n P''(x_n) \Gamma_n P(x_n) \right]^{-1}.$$

В случае, когда $P(x)$ —вещественная функция вещественного аргумента, процесс [3] известен под названием метода касательных гипербол [3].

В настоящей работе мы улучшаем результаты работы [2]. Во-первых, мы расширяем область применения метода [3] (теорема 1). Во-вторых, мы освобождаемся от требования гладкости, то есть не требуем существования производной третьего порядка (теорема 2). В-третьих, производная понимается здесь в смысле Гато [1].

1. Пусть оператор $P(x)$ имеет в области $\bar{D}(x_0, 2\eta_0) = \{x: \|x - x_0\| \leq 2\eta_0\}$, $2\eta_0 < r$, ограниченную производную Гато третьего порядка, $P'''(x)$, которая непрерывна почти всюду на любом отрезке, принадлежащем $\bar{D}(x_0, 2\eta_0)$. Отметим, что в этих условиях справедлива формула Тейлора [4].

Теорема 1. Пусть для начального приближения $x_0 \in \Lambda$ выполнены условия:

1. существует оператор $\Gamma_0 = [P'(x_0)]^{-1}$ и $\|\Gamma_0\| < B_0$.
2. Существует оператор

$$Q_0 = \left[I - \frac{1}{2} \Gamma_0 P''(x_0) \Gamma_0 P(x_0) \right]^{-1},$$

причем

$$\|Q_0 \Gamma_0 P(x_0)\| < \eta_0.$$

РЕДАКЦИОННАЯ КОЛЛЕГИЯ: З. И. Халилов (главный редактор), Ш. А. Азизбеков, В. Р. Волобуев, Д. М. Гусейнов, И. А. Гусейнов М. А. Дадашзаде (зам. главного редактора), М. А. Далин, М. Ф. Нагиев (зам. главного редактора), С. М. Кулиев, Ч. М. Джуварлы, М. А. Топчибашев, Г. Г. Зейналов (ответственный секретарь).

Адрес: Баку, Коммунистическая, 10. Редакция «Докладов Академии наук Азербайджанской ССР».

3. В области $\bar{D}(x_0, 2\eta_0) = \{x : \|x - x_0\| \leq 2\eta_0\}$

$$\sup \|P''(x)\| \leq M, \sup \|P'''(x)\| \leq N.$$

$$4. h_0 = B_0 M \eta_0 \leq \frac{1}{2}.$$

$$5. R_0 = \left\{ \frac{1}{(2-h_0)^2} + \frac{\gamma_0}{3(2-h_0)} \right\} \frac{1}{1-h_0} \leq 2, \text{ где } \gamma_0 = \frac{N}{B_0 M^2}.$$

Тогда уравнение (1) в области $\bar{L}(x_0, 2\eta_0)$ имеет решение x^* , к которому сходится процесс (2), причем

$$\|x^* - x_n\| \leq \frac{1}{2^{n-1}} (2h_0)^{3^n-1} \eta_0. \quad (3)$$

Доказательство. Согласно условию 2

$$\|x_1 - x_0\| = \|Q_0 \Gamma_0 P(x_0)\| \leq \eta_0. \quad (4)$$

Покажем, что существует оператор $\Gamma_1 = [P'(x_1)]^{-1}$. Действительно, следуя Л. В. Канторовичу, получаем

$$\|\Gamma_0[P'(x_0) - P'(x_1)]\| \leq \|\Gamma_0\| \|P'(x_0) - P'(x_1)\| \leq B_0 M \eta_0 = h_0 < 1.$$

Отсюда на основании теоремы Банаха оператор $\Gamma_0 P'(x_1) = I - \Gamma_0[P'(x_0) - P'(x_1)]$ имеет обратный оператор, причем

$$\|\Gamma_0 P'(x_1)\|^{-1} \leq \frac{1}{1-h_0}. \quad (5)$$

Таким образом, видим, что оператор $\Gamma_1 = [\Gamma_0 P'(x_1)]^{-1} \Gamma_0$ существует, и его норма удовлетворяет неравенству

$$\|\Gamma_1\| \leq \frac{B_0}{1-h_0} = B_1, \quad (6)$$

т. е. условие 1 выполнено для точки x_1 .

Далее, из процесса (2) находим

$$\Gamma_0 P(x_0) = - \left[I - \frac{1}{2} \Gamma_0 P''(x_0) \Gamma_0 P(x_0) \Gamma_0 P(x_0) \right] (x_1 - x_0).$$

Оценивая это равенство по норме, получаем

$$\|\Gamma_0 P(x_0)\| \leq \frac{2\eta_0}{2-h_0}. \quad (7)$$

Непосредственной проверкой легко убедиться в справедливости тождества

$$Q_0 = \left[I - \frac{1}{2} \Gamma_0 P''(x_0) \Gamma_0 P(x_0) \right]^{-1} = I + \frac{1}{2} \Gamma_0 P''(x_0) \Gamma_0 P(x_0) Q_0.$$

Следовательно, используя (2), получаем

$$P'(x_0)(x_1 - x_0) = -P'(x_0)Q_0 \Gamma_0 P(x_0) = -P(x_0) + \frac{1}{2} P''(x_0) \Gamma_0 P(x_0) (x_1 - x_0), \quad (8)$$

$$\begin{aligned} \frac{1}{2} P''(x_0)(x_1 - x_0)^2 &= -\frac{1}{2} P''(x_0) \Gamma_0 P(x_0) P(x_1 - x_0) + \\ &+ \frac{1}{2} P''(x_0) \Gamma_0 P''(x_0) \Gamma_0 P(x_0) (x_1 - x_0)^2. \end{aligned} \quad (9)$$

Согласно формуле Тейлора

$$P(x_1) = P(x_0) + P'(x_0)(x_1 - x_0) + \frac{1}{2} P''(x_0)(x_1 - x_0)^2 + \frac{1}{2} \int_{x_0}^{x_1} P'''(x)(x_1 - x)^2 dx.$$

С помощью равенства (8) и (9) эту формулу преобразуем к виду

$$P(x_1) = \frac{1}{4} P''(x_0) \Gamma_0 P''(x_0) \Gamma_0 P(x_0) (x_1 - x_0)^2 + \frac{1}{2} \int_{x_0}^{x_1} P'''(x)(x_1 - x)^2 dx.$$

Тогда, учитывая (6), имеем неравенство

$$\begin{aligned} \|\Gamma_1 P(x_1)\| &\leq \frac{1}{2} \frac{B_0}{1-h_0} \frac{M h_0}{2-h_0} \cdot \gamma_0^2 + \frac{1}{6} \frac{N B_0}{1-h_0} \cdot \gamma_0^3 = \\ &= \frac{1}{2} \left\{ \frac{1}{2-h_0} + \frac{\gamma_0}{3} \right\} \frac{h_0^2 \eta_0}{1-h_0} = \delta_1 \leq \frac{\eta_0}{2}. \end{aligned} \quad (10)$$

В силу полученного неравенства и неравенства (6) находим, что оператор $Q_1 = \left[I - \frac{1}{2} \Gamma_1 P''(x_1) \Gamma_1 P(x_1) \right]^{-1}$ существует и выполняется оценка

$$\|Q_1\| \leq \frac{1}{1 - \frac{h_0}{4(1-h_0)}} \leq \frac{2}{2-h_0}.$$

И, наконец,

$$\|x_2 - x_1\| \leq \|Q_1\| \|\Gamma_1 P(x_1)\| \leq \frac{2\delta_1}{2-h_0} = \eta_1.$$

Согласно (10)

$$\eta_1 \leq \left\{ \frac{1}{2-h_0} + \frac{\gamma_0}{3} \right\} \cdot \frac{1}{2-h_0} \cdot \frac{h_0^2 \eta_0}{1-h_0} = R_0 h_0^2 \eta_0 \leq 2h_0^2 \eta_0 \leq \frac{\eta_0}{2},$$

т. е. условия 2 и 3 для точки x_1 выполняются. Условия 4 и 5 легко проверить непосредственно. В самом деле,

$$h_1 = B_1 M \eta_1 \leq \frac{B_0 M}{1-h_0} \cdot 2h_0^2 \eta_0 \leq 4h_0^3 \leq h_0 \leq \frac{1}{2}.$$

Далее, так как

$$\gamma_1 = \frac{N}{B_1 M^2} = \frac{N(1-h_0)}{B_0 M^2} = \gamma_0(1-h_0) \leq \gamma_0,$$

то

$$R_1 = \left\{ \frac{1}{(2-h_1)^2} + \frac{\gamma_1}{3(2-h_1)} \right\} \cdot \frac{1}{1-h_1} \leq R_0 \leq 2.$$

Итак, все условия теоремы остаются выполненными, если в них x_0 заменить на x_1 , а числа B_0, η_0, h_0, R_0 на B_1, η_1, h_1, R_1 . Продолжая процесс (2), на n -ом шаге мы получаем соотношения:

$$B_n = \frac{B_{n-1}}{1-h_{n-1}} \quad (11)$$

$$\eta_n \leq 2h_{n-1}^2 h_{n-1} \quad (12)$$

$$h_n \leq 4h_{n-1}^3 \quad (13)$$

$$R_n \leq R_{n-1} \leq 2, \quad (14)$$

в справедливости которых нетрудно убедиться с помощью метода индукции. Из (12) и (13) находим

$$\|x_{n+1} - x_n\| \leq \eta_n \leq \frac{1}{2^n} (2h_0)^{3n-1} \eta_0 \quad (15)$$

при любом натуральном n . Следовательно,

$$\begin{aligned} \|x_{n+p} - x_n\| &\leq \|x_{n+p} - x_{n+p-1}\| + \dots + \|x_{n+2} - x_{n+1}\| + \|x_{n+1} - x_n\| \leq \\ &\leq \eta_{n+p-1} + \dots + \eta_{n+1} + \eta_n \leq \frac{1}{2^{n-1}} (2h_0)^{3n-1} \left(1 - \frac{1}{2^n}\right) \eta_0, \end{aligned} \quad (16)$$

т. е. последовательность $\{x_n\}$ фундаментальная.

Обозначим $\lim_{n \rightarrow \infty} x_n = x^*$, и покажем, что x^* является решением уравнения (1). Действительно, в силу формулы Тейлора и равенств

$$\begin{aligned} P'(x_{n-1})(x_n - x_{n-1}) &= -P(x_{n-1}) + \frac{1}{2} P''(x_{n-1}) \Gamma_{n-1} P(x_{n-1})(x_n - x_{n-1}), \\ \frac{1}{2} P''(x_{n-1})(x_n - x_{n-1})^2 &= -\frac{1}{2} P''(x_{n-1}) \Gamma_{n-1} P(x_{n-1})(x_n - x_{n-1}) + \\ &+ \frac{1}{2} P''(x_{n-1}) \Gamma_{n-1} P''(x_{n-1}) \Gamma_{n-1} P(x_{n-1})(x_n - x_{n-1})^2 \end{aligned}$$

имеем

$$\begin{aligned} P(x_n) &= \frac{1}{4} P''(x_{n-1}) \Gamma_{n-1} P''(x_{n-1}) \Gamma_{n-1} P(x_{n-1})(x_n - x_{n-1})^2 + \\ &+ \frac{1}{2} \int_{x_{n-1}}^{x_n} P'''(x)(x_n - x)^2 dx. \end{aligned}$$

Также, как было получено неравенство (7), устанавливаем оценку

$$\|\Gamma_{n-1} P(x_{n-1})\| \leq \frac{2\eta_{n-1}}{2-h_{n-1}}.$$

Тогда

$$\|P(x_n)\| \leq \frac{M}{6} \|x_n - x_{n-1}\|^2 + \frac{N}{6} \|x_n - x_{n-1}\|^3,$$

откуда в силу непрерывности оператора $P(x)$

$$\lim_{n \rightarrow \infty} P(x_n) = P(x^*) = 0.$$

Оценку (3) получим, переходя в (16) к пределу при $p \rightarrow \infty$.

Замечание. Условие 5 нашей теоремы менее ограничительное, чем условие

$$R_0 = \left[\frac{N}{M^2 B_0} (2+h_0) + 3 \right] (1+h_0) \leq 9$$

теоремы из [1].

2. Пусть теперь $P(x)$ в области $\bar{D}(x_0, 2\eta_0)$ имеет ограниченную производную Гато лишь второго порядка, причем считаем, что функция $P''(x' + tx)x^2$ от t , где x и x' произвольные, но фиксированные точки из $\bar{D}(x_0, 2\eta_0)$, $t \in [0, 1]$, непрерывна почти всюду на отрезке $[0, 1]$.

Теорема 2. Пусть для начального приближения $x_0 \in X$ выполнены условия: 1. Существует оператор $\Gamma_0 = [P'(x_0)]^{-1}$ и $\|\Gamma_0\| \leq B_0$. 2. Существует оператор

$$Q_0 = \left[I - \frac{1}{2} \Gamma_0 P''(x_0) \Gamma_0 P(x_0) \right]^{-1},$$

причем

$$\|Q_0 \Gamma_0 P(x_0)\| \leq \eta_0.$$

3. В области $\bar{D}(x_0, 2\eta_0) = \{x : \|x - x_0\| \leq 2\eta_0\}$ $\sup \|P''(x)\| \leq M$.

$$4. h_0 = B_0 M \eta_0 \leq \frac{1}{4}.$$

Тогда уравнение (1) в области $\bar{D}(x_0, 2\eta_0)$ имеет решение x^* , к которому сходится процесс (2), причем

$$\|x^* - x_n\| \leq \left(\frac{3}{4}\right)^n (0h_0)^{2^n-1} \frac{\eta_0}{1 - \left(\frac{3}{4}\right)^{2^n} + 1} \leq \frac{16}{7} \left(\frac{3}{4}\right)^n (0h_0)^{2^n-1} \eta_0, \quad (17)$$

$$\text{где } 0 = \frac{160}{79}.$$

Доказательство. Прежде всего отметим, что при выводе неравенств (4)–(7) мы пользовались только условиями 1, 2 и, частично, 3 теоремы 1.

В теореме 2 отмеченные условия сохраняются, следовательно, неравенства (4)–(7) верны.

Используя равенство (8), из формулы Тейлора

$$P(x_1) = P(x_0) + P'(x_0)(x_1 - x_0) + \int_{x_0}^{x_1} P''(x)(x_1 - x) dx,$$

получаем

$$P(x_1) = \frac{1}{2} P''(x_0) \Gamma_0 P(x_0)(x_1 - x_0) + \int_{x_0}^{x_1} P''(x)(x_1 - x) dx.$$

Отсюда согласно (6) и (7) находим

$$\begin{aligned} \|\Gamma_1 P(x_1)\| &\leq \frac{1}{2} \frac{B_0 M}{1-h_0} \cdot \frac{2\eta_0}{2-h_0} + \frac{1}{2} \frac{B_0 M \eta_0^2}{1-h_0} = \left(\frac{1}{2-h_0} + \frac{1}{2}\right) \frac{h_0 \eta_0}{1-h_0} = \\ &= \delta_1 \leq \frac{10}{7} h_0 \eta_0 \leq \frac{5}{14} \eta_0. \end{aligned}$$

Следовательно, оператор $Q_1 = \left[I - \frac{1}{2} \Gamma_1 P''(x_1) \Gamma_1 P(x_1) \right]^{-1}$ существует, причем

$$\|Q_1\| \leq \frac{1}{1 - \frac{1}{2} B_1 M \delta_1} \leq \frac{1}{1 - \frac{5}{21} h_0} \leq \frac{84}{79}.$$

Тогда

$$\|x_2 - x_1\| \leq \|Q_1\| \|\Gamma_1 P(x_1)\| \leq \frac{120}{79} h_0 \eta_0 = \eta_1 < \frac{\eta_0}{2},$$

т. е. условия 2 и 3 выполняются при замене x_0 на x_1 , а числа B_0 , η_0 на B_1 , η_1 . Выполнение условия 4 можно проверить непосредственно. В самом деле,

$$h_1 = B_1 M \eta_1 \leq \frac{B_0 M}{1-h_0} \cdot \frac{120}{79} h_0 \eta_0 \leq \frac{160}{79} h_0^2 \leq h_0 \leq \frac{1}{4}.$$

Таким образом, процесс (2) может быть продолжен. При этом легко получить соотношения

$$B_n = \frac{B_{n-1}}{1-h_{n-1}},$$

Р. Э. Шэфиев

Гејри-хэтти оператор тәнлиji үчүн бир итерасија
үсулуна даир

ХҮЛАСЭ

Бу мәгаләдә (1) гејри-хэтти оператор тәнлиjinә бахылыр. Бу тәнлиjin тәгриби hәлли үчүн [2] мәгаләсийдәки (2) итерасија үсулу тәкниф олунмушдур. Мәгаләдә әлавә шәртләр тәләб етмәдән әввәлки ишләрдә (1, 2, 3) алымыш бәрабәрсизликләр көзәрән даһа дәгиг бәрабәрсизликләр алымышдыр. Бу бәрабәрсизликләр $\bar{L}(x_0, 2\eta_0)$ областының кенишләнмәсінә имкан јаратмышдыр (2-чи теорем). Бундан әlavә $Q_0 = \left[I - \frac{1}{2} \Gamma_0 P''(x) \Gamma_0 P(x_0) \right]^{-1}$ операторунун һамарлығы азалдымышдыр (2-чи теорем).

Последние два неравенства дают

$$\|x_{n+1} - x_n\| \leq \eta_n \leq \left(\frac{3}{4}\right)^n (0h_0)^{2^n-1} \eta_0 = \left(\frac{3}{4}\right)^{2^n-1+n} \left(\frac{4}{3} 0h_0\right)^{2^n-1} \eta_0.$$

Тогда

$$\begin{aligned} \|x_{n+p} - x_n\| &\leq \eta_n + \eta_{n+1} + \dots + \eta_{n+p-1} \leq \\ &\leq \left(\frac{3}{4}\right)^{2^n-1+n} \left(\frac{4}{3} 0h_0\right)^{2^n-1} \left\{ 1 + \left(\frac{3}{4}\right)^{2^{n+1}-1} + \left(\frac{3}{4}\right)^{2^{n+2}-1} + \dots + \right. \\ &\quad \left. + \left(\frac{3}{4}\right)^{2^{n+p-1}-1} \right\} \eta_0 \end{aligned}$$

Нетрудно видеть, что при натуральном k $2^{k-1}-1 \geq k-1$. Поэтому

$$\begin{aligned} \|x_{n+p} - x_n\| &\leq \left(\frac{3}{4}\right)^n (0h_0)^{2^n-1} \left\{ 1 + \left(\frac{3}{4}\right)^{2^n+1} + \left(\frac{3}{4}\right)^{(2^n+1)-2} + \dots + \right. \\ &\quad \left. + \left(\frac{3}{4}\right)^{(2^n+1)(p-1)} \right\} \eta_0 \leq \left(\frac{3}{4}\right)^n (0h_0)^{2^n-1} \left\{ 1 - \left(\frac{3}{4}\right)^{(2^n+1)p} \right\} \frac{\eta_0}{1 - \left(\frac{3}{4}\right)^{2^n+1}} \quad (18) \end{aligned}$$

Отсюда вытекает фундаментальность последовательности $\{x_n\}$, а, следовательно, существование предела $\lim_{n \rightarrow \infty} x_n = x^*$. Так как

$$\begin{aligned} \|\Gamma_{n-1} P(x_{n-1})\| &= \left\| \left[I - \frac{1}{2} I_{n-1} P''(x_{n-1}) \Gamma_{n-1} P(x_{n-1}) \right] (x_n - x_{n-1}) \right\| \leq \\ &\leq \left(1 + \frac{1}{2} h_{n-1} \right) \|x_n - x_{n-1}\| \leq \left(1 + \frac{1}{2} h_0 \right) \|x_n - x_{n-1}\|, \end{aligned}$$

то

$$\begin{aligned} \|P(x_n)\| &= \left\| \frac{1}{2} P''(x_{n-1}) I_{n-1} P(x_{n-1}) (x_n - x_{n-1}) + \right. \\ &\quad \left. + \int_{x_{n-1}}^{x_n} P''(x) (x_n - x) dx \right\| \leq \frac{M}{2} \left(1 + \frac{1}{2} h_0 \right) \|x_n - x_{n-1}\|^2 + \frac{M}{2} \|x_n - x_{n-1}\|^2. \end{aligned}$$

Отсюда

$$\lim_{n \rightarrow \infty} P(x_n) = P(x^*) = 0.$$

Оценка (17) получается из (18) предельным переходом при $p \rightarrow \infty$.

ЛИТЕРАТУРА

1. Вайнберг М. М. Вариационные методы исследования нелинейных операторов. Гостехиздат, 1956.
2. Мертвцева М. А. "ДАН СССР", 1953, т. 88, № 4, 611—614.
3. Салехов Г. С. "ДАН СССР", 1952, т. 82, № 4, 525—526.
4. Graves L. M. Trans. am. math. Soc., 29, № 1 (1927), 163—177.

Институт математики и механики

К. А. КЕРИМОВ

ОПРЕДЕЛЕНИЕ ДИНАМИЧЕСКОЙ КРИВОЙ „НАПРЯЖЕНИЕ—
ДЕФОРМАЦИЯ“ С ТОЧКОЙ ПЕРЕГИБА

(Представлено академиком АН Узбекской ССР Х. А. Рахматулиным)

В связи с расчетами на прочность материалов и сооружений исследование динамической зависимости между напряжением и деформацией (особенно в нелинейных случаях) при динамическом деформировании тел, приобретает важное значение в современной технике.

В основе теоретических исследований при решении всех вопросов динамики тел (подверженным динамическим воздействиям) предполагается существование определенной зависимости между интенсивностью напряжения и деформацией $\sigma = \Phi(e)$, которая непосредственно связана с физической структурой данного материала и определяет специфику данной среды.

В [4–6] Х. А. Рахматулиным даны основы динамической теории поперечного удара и распространения волны при законе упруго-пластического деформирования. Им также показана возможность разработки методов определения динамической диаграммы $\sigma(e)$ для различных материалов.

В данной работе приведены некоторые результаты исследований на ударной установке и построены динамические диаграммы $T(e)$ нагружения до предела динамического разрушения по разработанным методам [3] для промышленной резины „шифр 65“. Разработан также экспериментальный метод непосредственного измерения напряжения и деформации при помощи электронно-измерительной и регистрирующей аппаратуры.

Осуществление и регистрация динамического нагружения стали возможными благодаря применению оригинальной методики экспериментирования*.

С целью сравнения результатов построена диаграмма для той же резины методом додгрузочных импульсов. [1].

1. Экспериментальное исследование

Испытания были проведены над резиновым шнуром „шифр 65“ диаметром 5 м.м.

* Подробные результаты экспериментов будут опубликованы отдельно.

Принципиальная схема пневматической установки приведена на рис. 5.

Удар по резиновому шнурю производился бойком весом 138 г с плоским наконечником.

Регистрация движения шнура производилась скоростной кинокамерой СКС-1, имеющей максимальную скорость съемки 4000 кадров в секунду. Для освещения объекта использовались фотоосветители ОФ-1.

Для проведения эксперимента резиновый шнур длиной 3,5 м укрепляется перед стволов установки в вертикальном положении. Верхний конец резины крепится к планке, к нижнему концу подвешивается груз весом 250 г, который обеспечивает незначительное начальное натяжение и выпрямление шнура.

Для питания электромагнитного клапана установки используется выпрямитель. Регулирование начала съемки и момента выстрела производится с помощью реле времени.

Нажатием кнопки КУ включаются электродвигатели киноаппарата и одновременно включается обмотка катушки реле (1) с некоторой задержкой, которая регулируется в зависимости от скорости снаряда. Реле включает и катушку электромагнитного клапана.

Скорость полета бойка в зависимости от давления вычисляется по формуле:

$$v = \frac{\kappa S v}{n}, \quad (1,1)$$

где S — путь, проходимый снарядом (отсчитывается по шкале на фотопечатке);

n — число кинокадров, соответствующее прошедшему пути;

v — частота тока, питающего неоновую лампу кинокамеры (100 Гц);

κ — число кадров, прошедшее за 1/100 сек (отсчитывается по кинонегативу между метками от неоновой лампы).

Следует отметить, что скорость, вычисленная указанным способом, почти совпадает со скоростью, полученной из термодинамического расчета.

Эксперименты над резиновым шнуром были проведены в диапазоне скоростей от 7 до 170 м/сек. Для получения малых скоростей полета бойка баллон ствола изолировался от ствола заглушками. На снимках, полученных при фотографировании картины движения резинового шнура, измеряется значение угла излома для каждой скорости удара.

На основании этих данных получена экспериментальная кривая зависимости скорости удара от угла излома шнура, т. е. $v_0 = v_0(\gamma)$, которая имеет вид, показанный на рис. 1.

2. Построение динамической диаграммы $T(e)$ для резины

Расчетные формулы для построения динамической кривой "натяжение—деформация" до точки перегиба, полученные в работе [2], после несложных преобразований имеют вид:

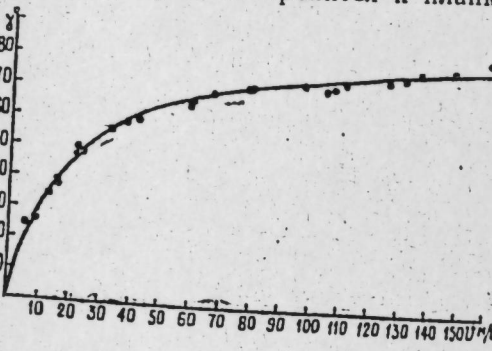


Рис. 1

$$T = \frac{\rho_0 v_0^2}{(1+e)\sin^2\gamma} \quad (2,1)$$

$$e = (1+e_0)e^\Phi - 1, \quad (2,2)$$

где

$$\Phi = \int_0^\gamma \frac{[(v'_0 \sin \gamma - v_0 \cos \gamma) - \sqrt{(v'_0 \sin \gamma - v_0 \cos \gamma)^2 - (1-\cos \gamma)^2(v_0 + v'_0 \sin \gamma)^2}]}{v_0 \sin \gamma} d\gamma \quad (2,3)$$

Экспериментальная кривая $v_0 = v_0(\gamma)$ аппроксимирована с достаточной приемлемой точностью функцией

$$v_0 = \frac{1,937\gamma^2 + 19\gamma}{1,5708 - \gamma}. \quad (2,4)$$

Дифференцируя (2,4), получим:

$$v'_0 = \frac{29,8452 + 6,0853\gamma - 1,937\gamma^2}{(1,5708 - \gamma)^2}. \quad (2,5)$$

Расчетные формулы после точки перегиба для натяжения T и деформации e из [3] после несложных преобразований принимают вид:

$$T_2 = \frac{\varphi(\gamma_1)}{1+e_2} \quad (2,6)$$

$$e_2 = e_1 + \frac{U_2(\gamma) - U_1(e_1)}{\sqrt{\frac{1}{\rho_0} f(e_1)}}, \quad (2,7)$$

где

$$\varphi(\gamma_1) = \frac{\rho_0 v_0^2(\gamma_1)}{\sin^2\gamma_1}$$

$$U_2(\gamma_1) = \frac{v_0(\gamma_1)(1-\cos\gamma_1)}{\sin\gamma_1}$$

$$U_1(e_1) = \frac{v_0(\gamma)(1-\cos\gamma)}{\sin\gamma} = \int_0^{e_1} \sqrt{\frac{1}{\rho_0} \frac{dT_1}{de_1}} de.$$

Аналитическое определение точки перегиба $T(e)$ вызывает значительные затруднения ввиду сложности двухкратного дифференцирования выражения (2,1) и поэтому нами было исследовано поведение первой производной $\frac{dT}{de}$ (2,1) в зависимости от γ :

$$\frac{dT}{de} = \frac{2\rho_0 v_0}{(1+e)\sin^2\gamma} \frac{dv_0}{d\gamma} \frac{d\gamma}{de} - \frac{\rho_0 v_0^2}{(1+e)^2 \sin^2\gamma} = \frac{2\rho_0 v_0^2 \cos\gamma}{(1+e)\sin^3\gamma} \frac{d\gamma}{de} = f(e_1), \quad (2,8)$$

где

$$\frac{d\gamma}{de} = \frac{1}{\frac{de}{d\gamma}}, \quad \frac{de}{d\gamma} = (1+e_0)e^\Phi \frac{d\Phi}{d\gamma}.$$

Из построения графика $\frac{dT}{de}$ (рис. 2) можно с большой точностью определить точку перегиба.

Как видно из (рис. 2) точка перегиба соответствует значению $\gamma = 50^\circ$, при этом деформация и натяжение соответственно равны $e = -0,2164$, $T = 1,959 \text{ кг}$. Для определения деформации e_1 , необходимо нахождение дополнительной зависимости между γ и γ_1 .

Эта зависимость определяется следующим образом: задавая произвольные значения γ_1 за перегибом, путем подбора соответствующего значения γ до точки перегиба добиваемся при этом удовлетворения равенства

$$\sqrt{\rho_0 f(e_1)}(U_2 - U_1) = \frac{\varphi(\gamma_1)}{1 + e_1 + \sqrt{\frac{1}{\rho_0}(e_1)}} - T_1(e_1), \quad (2,9)$$

полученного из [3].

Эта зависимость между γ и γ_1 показана на (рис. 3).

Таким образом, зная значение γ_1 , определяем соответствующее e_2 за точкой перегиба по формуле (2,7) и соответствующее T_2 по формуле (2,6).

В результате обработки данных эксперимента по вышеприведенному методу получена динамическая зависимость $T(e)$ для промышленной резины "шифр 65", представленная на (рис. 4) кривой 2.

На рис. 4 также приведены статические диаграммы нагрузки (кривая 3) и разгрузки (кривые 4,5), полученные из экспериментов для той же резины.

Анализ приведенных динамических и статических кривых показывает, что динамическая кривая нагружения 2 имеет вид, подобный статической кривой нагружения 3. При этом динамическая кривая лежит выше статической.

На начальном участке при деформациях до 8% динамическая кривая проходит выше статической почти в 2 раза, далее это отношение продолжает оставаться от 1,3 до 1,4 и при максимальных деформациях, соответствующих разрушению, оно снова достигает 1,6.

Напряжение, соответствующее динамическому разрушению резины, как видно из рис. 4, $T = 19 \text{ кг}$. А это вдвое больше напряжения при статическом разрушении и говорит о том, что испытуемый материал (резина) при динамических воздействиях упрочняется.

С целью сравнения полученных результатов на рис. 4 также приведена динамическая кривая $T(e)$, построенная для той же резины методом дозарочных импульсов (кривая 1).

Как видно из рис. 4, кривая 1 вначале совпадает с кривой 2 при небольших деформациях (порядка $e < 0,1$), а затем несколько отклоняется от кривой 2, причем вначале отклонение незначительное, а затем более резкое. Любой своей частью кривая 1 лежит выше кривой 2.

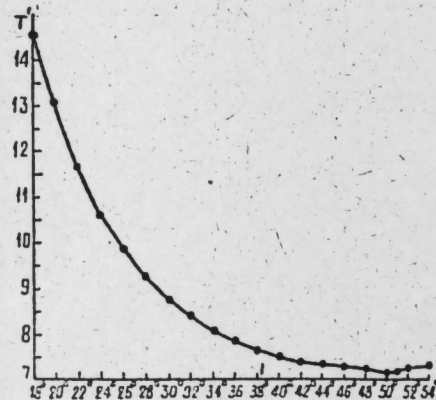


Рис. 2

точкой перегиба по формуле (2,7) и соответствующее T_2 по формуле (2,6).

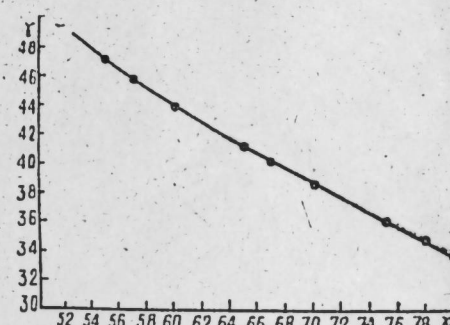


Рис. 3

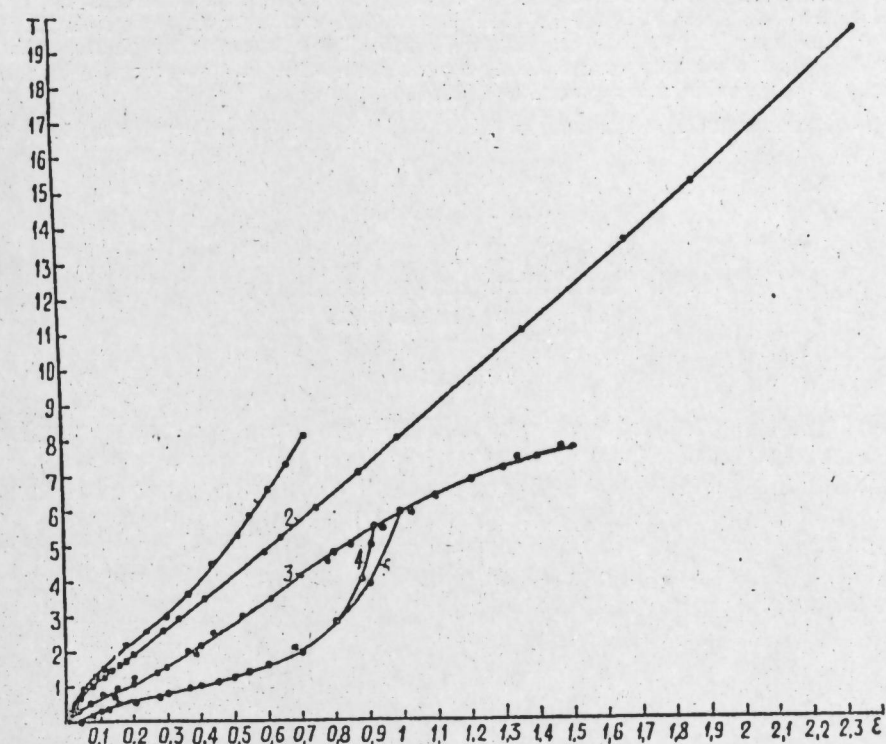


Рис. 4

Преимущества изложенного метода заключаются в том, что зная один геометрический параметр — γ , получаемый из опытов, можно построить диаграммы $T(e)$ для различных материалов типа резины до их динамического разрушения.

Для контроля полученных результатов разработан экспериментальный метод определения динамической зависимости $T(e)$, основанный на непосредственном одновременном измерении деформации и натяжения при помощи современных средств экспериментирования, схема которого приводится на (рис. 5).

Контрольные измерения этим методом проведены для определенного диапазона скоростей деформации и показали хорошее совпадение с кривой 2, разработанной вышеприведенным методом.

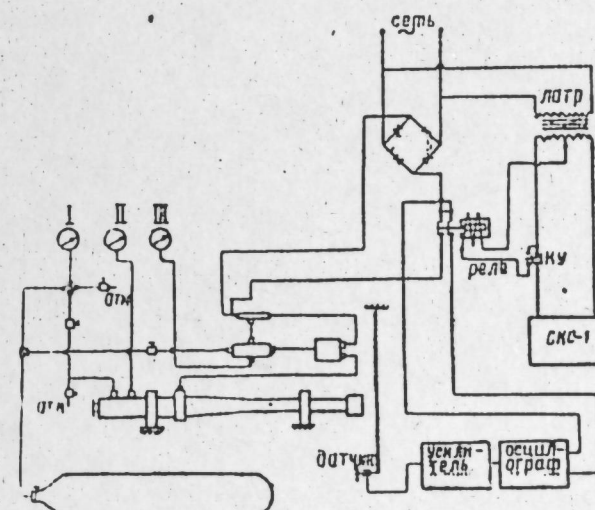


Рис. 5

ЛИТЕРАТУРА

1. Ильшин А. А., Ленский В. С. Сопротивление материалов, 1959.
2. Керимов К. А. Изв. АН Азерб. ССР, серия физ.-мат. и техн. наук, 1960, № 3. 3.
3. Керимов К. А. Изв. АН Азерб. ССР, серия физ.-мат. и техн. наук, 1962, № 5.
4. Рахматулин Х. А. ПММ т. IX, № 6. 1945.
5. Рахматулин Х. А. ПММ т. IX, № 3, 1947.
6. Рахматулин Х. А., Демьянов Ю. А. Прочность при интенсивных кратковременных нагрузках, ФИ, 1961.

Институт математики и механики

Поступило 11. II 1963

К. А. Керимов

**ЭЈИЛМЭ НӨГТЭСИ ОТАН „КЭРИЛМЭ ДЕФОРМАСИЯ“
ДИНАМИК ЭЈРИСИННИЙ ТЭ'ЖИНН**

ХУЛАСЭ

Мэглэдээ зэрбэ гургусунда „Ш-65“ техники⁷ резин үзэриндэ апарылмыш экспериментал тэдгигатын иетичэлэри шэрх едилр.

Мэглэдэ мүэллиф тэрэфиндэн тэклиф олуулмуш метод эсасында көстэрилэн резин учун $T(e)$ динамик диаграммы верилмишдир.

Ейни заманда мүасир электрон өлчүү вэ гејдедичи чиһазларын ватсасилэ кэргинлийн вэ деформасијаны билаваситэ тэ'жин етмэ үсүү верилмишдир.

АЗЭРБАЙЧАН ССР ЕЛМЛЭР АКАДЕМИЈАСЫНЫН МЭРҮЗЭЛЭРИ
ДОКЛАДЫ АКАДЕМИИ НАУК АЗЕРБАЙДЖАНСКОЙ ССР

ТОМ XIX

№ 4

1963

**РАЗРАБОТКА НЕФТЯНЫХ
И ГАЗОВЫХ МЕСТОРОЖДЕНИЙ**

А. Ш. КАЗЫМОВ, В. П. ПИЛАТОВСКИЙ

**КАПИЛЛЯРНЫЙ СКАЧОК ДАВЛЕНИЯ УСТРАНЯЕТ ПАРАДОКС
ПЕРЕМЕЩЕНИЯ ГРАНИЦЫ РАЗДЕЛА ВЕСОМЫХ ЖИДКОСТЕЙ**

(Представлено академиком АН Азербайджанской ССР С. М. Султановым)

Здесь рассматривается задача о скорости относительного перемещения границы раздела Γ несжимаемых весомых жидкостей в горизонтальном пласте $D=D_1+D_2$ постоянной мощности h и пористости $m=\text{const}$ в том случае, когда гидродинамическое давление p при переходе из области D_2 в область D_1 в общем случае испытывает скачок $P(y)$, например, за счет сил капиллярности, развиваемых на контакте двух жидкостей (линия Γ). В работах [1,2] рассматривалась подобная задача при условии, что скачок давления $P(y)$ равен нулю.

Найденное в работах [1,2] выражение скорости деформации u (скорости перемещения границы Γ относительно потока) принимало неограниченные значения в точках на кровле и подошве пласта.

По физическим соображениям скорость деформации $u(y)$ должна принимать лишь конечные значения. В настоящей работе дано объяснение обнаруженного парадокса решения [1,2].

Найденная более общая зависимость относительной скорости границы раздела Γ с учетом капиллярного скачка давления приводит к ограниченным значениям скорости деформации границы Γ в точках стыка ее с кровлей и подошвой пласта.

1. Постановка задачи

Пусть неоднородный фильтрационный поток в плоском полосообразном пласте $D=D_1+D_2$ образован двумя несжимаемыми весомыми жидкостями с границей раздела $\Gamma_3=\Gamma$. Примем, что в некоторый момент времени ($t=0$) линия Γ определена уравнениями (рис. 1).

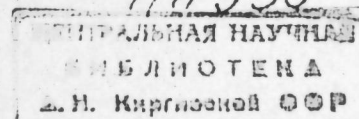
$$x=0, \quad y=hs \quad (0 < s < 1). \quad (1)$$

В каждый момент времени (например, в момент $t=0$) в области $D=D_1+D_2$ изучаемый фильтрационный поток описывается потенциалом скоростей

$$\varphi(x,y) = -\frac{k}{\mu} (p + \gamma y). \quad (2)$$

7/1/55

479—2



При переходе через Γ функция $\varphi(x,y)$ претерпевает разрыв непрерывности первого рода в отношении величин k , μ , γ и p .

Функцию $\varphi(x,y)$ находим из уравнения Лапласа $\Delta\varphi=0$ при следующих граничных условиях.

Во-первых, на границе Γ

$$\varphi(-0,y)-\varphi(+0,y)=Uy+\frac{k_2}{\mu_2}P(y), \quad (3)$$

где $x=\frac{k_2}{\mu_2}\frac{|k_1|}{|\mu_1|}$, $U=\frac{k_2}{\mu_2}(\gamma_1-\gamma_2)$, $P(y)=p^+-p^- = p(-0,y)-p(+0,y)$.

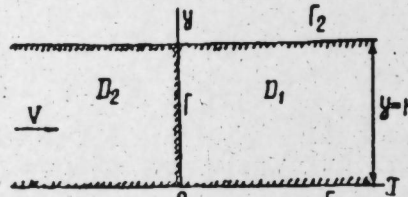


Рис. 1

Во-вторых, на непроницаемых линиях Γ_1 и Γ_2 имеем

$$\frac{\partial\varphi(x,0)}{\partial y}=0, \quad \frac{\partial\varphi(x,h)}{\partial y}=0 \quad (4)$$

при $|x|<\infty$ и $x\neq 0$.

В третьих, в бесконечности области D поток асимптотически переходит в поступательное течение со скоростью V .

$$\left. \frac{\partial\varphi(x,y)}{\partial x} \right|_{|x|\rightarrow\infty} = V \quad (5)$$

На линии Γ (граница раздела областей D_1 и D_2) соблюдается равенство скоростей фильтрации

$$mc=\frac{d\varphi(-0,y)}{dx}=\frac{d\varphi(+0,y)}{dx}, \quad (6)$$

где $c=c(y)$ —скорость перемещения точки $M(0,y)$ границы раздела Γ . Обозначим через $U(y)=c(y)-V/m$ скорость деформации границы раздела Γ жидкостей в точке $M(0,y)$, полагая, что V/m есть скорость переносного потока.

Введем безразмерные величины: $\pi x/h=\xi$, $\pi y/h=\eta$, $P(y)=K\omega(\eta)$

$$\varphi(x,y)=hV_0\Phi(\xi,\eta)/\pi, \quad u(y)=c(y)-V/m=V_0u^*(\eta). \quad (7)$$

Здесь K —масштаб капиллярного скачка давления;

V_0 —масштаб скорости.

Тогда уравнения (3)–(6) приводим к виду:

$$\Phi(-0,\eta)-\Phi(+0,\eta)=U\eta/V_0-\pi Kk_2\omega(\eta)/V_0h\mu_2 \quad (8)$$

$$\frac{\partial\Phi(\xi,0)}{\partial\eta}=0, \quad \frac{\partial\Phi(\xi,\pi)}{\partial\eta}=0 \text{ при } |\xi|<\infty \text{ и } \zeta\neq 0 \quad (9)$$

$$\left. \frac{\partial\Phi(\xi,\eta)}{\partial\xi} \right|_{|\xi|\rightarrow\infty} = \frac{V}{V_0} \quad (10)$$

$$m\frac{c}{V_0}=\frac{\partial\Phi(-0,\eta)}{\partial\xi}=\frac{\partial\Phi(+0,\eta)}{\partial\xi}. \quad (11)$$

2. Решение задачи

Учитывая граничные условия (9)–(11) находим безразмерный потенциал скоростей $\Phi(\xi,\eta)$ (решение уравнения $\Delta\Phi=0$) в виде выражения

$$\Phi(\xi,\eta)=V\xi/V_0+\sum_{n=1}^{\infty}a_nD(\xi)\exp(-n|\xi|)\cos n\eta+a_0D(\xi) \quad (12)$$

$$(|\xi|<\infty, \quad 0\leqslant\eta\leqslant\pi),$$

здесь $a_n=\text{const}$, $D(\xi)=\frac{c}{|\xi|}$ — разрывной множитель Дирихле.

Подставив $\Phi(\xi,\eta)$ в равенство (8), учитывая предельные значения множителя Дирихле

$$D(+0)=-D(-0)=1,$$

получим уравнение для коэффициентов разложения $\Phi(\xi,\eta)$

$$a_0+\sum_{n=1}^{\infty}a_n\cos n\eta=-V\eta/(1+\zeta)V_0+\pi Kk_2\omega(\eta)/(1+\zeta)V_0h\mu_2. \quad (13)$$

Все коэффициенты a_n находим по формуле Фурье

$$a_0=-\frac{U}{(1+\zeta)V_0}\frac{\pi}{2}+\frac{Kk_2}{(1+\zeta)V_0h\mu_2}\int_0^{\pi}\omega(\eta)d\eta \quad (14)$$

$$a_n=\frac{2V}{\pi(1+\zeta)V_0n^2}[1-(-1)^n]\frac{2Kk_2}{(1+\zeta)V_0h\mu_2}\int_0^{\pi}\omega(\eta)\cos n\eta d\eta \text{ (при } n\geqslant 1).$$

Подставив (14) в (12), получим выражение потенциала в полосообразной области D

$$\Phi(\xi,\eta)=a_0D(\xi)+\frac{V}{V_0}\xi+\frac{4U}{\pi(1+\zeta)V_0}\sum_{v=1}^{\infty}\frac{D(\xi)}{v^2}\exp(-v|\xi|)\cos v\eta+$$

$$+\frac{2Kk_2}{(1+\zeta)V_0h\mu_2}\sum_{n=1}^{\infty}D(\xi)\exp(-n|\xi|)\cos n\eta\int_0^{\pi}\omega(\eta)\cos n\eta d\eta \quad (v=1,3,5,\dots). \quad (15)$$

Дифференцируя $\Phi(\xi,\eta)$ по аргументу ξ , принимая во внимание, что при $\xi>0$ $D(\xi)=1$, найдем выражение скорости фильтрации в области D_1 ($\xi>0$)

$$\frac{\partial\Phi(\xi,\eta)}{\partial\xi}=\frac{V}{V_0}-\frac{4U}{\pi(1+\zeta)V_0}\sum_{v=1}^{\infty}\frac{1}{v}\exp(-v\xi)\cos v\eta-$$

$$-\frac{2Kk_2}{(1+\zeta)V_0h\mu_2}\sum_{n=1}^{\infty}n\exp(-n\xi)\cos n\eta\int_0^{\pi}\omega(\sigma)\cos n\sigma d\sigma. \quad (16)$$

Представим функциональные ряды (16) в комплексной форме, после их суммирования находим:

$$\begin{aligned} \frac{\partial \Phi(\xi, \eta)}{\partial \xi} = & \frac{V}{V_0} - \frac{4U}{\pi(1+x)V_0} \operatorname{Re} \int_{-\infty}^{\xi} \frac{e^{-z}}{1-e^{-2z}} dz + \\ & + \frac{Kk_2}{(1+x)V_0 h \mu_2} \operatorname{Re} \frac{\partial}{\partial \xi} \int_0^{\xi} \omega(\sigma) \left\{ \frac{e^{-(\xi+i(\eta+\sigma))}}{1-e^{-(\xi+i(\eta+\sigma))}} + \frac{e^{-(\xi+i(\eta-\sigma))}}{1-e^{-(\xi+i(\eta-\sigma))}} \right\} d\sigma, \end{aligned} \quad (17)$$

где $z=\xi+i\eta$, $\operatorname{Re} z>0$.

После несложных вполне очевидных преобразований получаем выражение:

$$\begin{aligned} \frac{\partial \Phi(\xi, \eta)}{\partial \xi} = & \frac{V}{V_0} + \frac{2U}{\pi(1+x)V_0} \operatorname{Re} \ln \frac{1-e^{-\xi}}{1+e^{-\xi}} - \\ & - \frac{Kk_2}{2(1+x)V_0 h \mu_2} \operatorname{Re} \int_0^{\xi} \frac{\partial \omega}{\partial \sigma} \left[\operatorname{ctg} \frac{1}{2}(-i\xi+\eta-\sigma) - \operatorname{ctg} \frac{1}{2}(-i\xi+\eta+\sigma) \right] d\sigma. \end{aligned} \quad (18)$$

Совершаем предельный переход в равенстве (18) при $\xi \rightarrow +0$, затем подставляем найденное значение $\frac{\partial \Phi(+0, \eta)}{\partial \xi}$ в зависимость (11). Далее учитывая (7), находим выражение безразмерной скорости $u^*(\eta)$ деформации границы раздела Γ в точке $M(0, \eta)$ при $t=0$ (рис. 2)

$$u^*(\eta) = \frac{2U}{\pi m(1+x)V_0} \operatorname{Intg} \frac{\eta}{2} + \frac{Kk_2}{2m(1+x)V_0 h \mu_2} \int_0^{\eta} \frac{\partial \omega}{\partial \sigma} \left(\operatorname{ctg} \frac{\sigma+\eta}{2} + \operatorname{ctg} \frac{\sigma-\eta}{2} \right) d\sigma. \quad (19)$$

Из выражения (19) при $\omega=0$ следует решение задачи, рассмотренной в работах [1,2].

Непосредственным вычислением доказываем справедливость соотношения

$$\operatorname{Intg} \frac{\eta}{2} = -\frac{1}{4} \int_0^{\eta} \left(\operatorname{ctg} \frac{\sigma+\eta}{2} + \operatorname{ctg} \frac{\sigma-\eta}{2} \right) d\sigma. \quad (20)$$

Подставляя выражение (20) в зависимость (19) в результате получаем

$$u^*(\eta) = -\frac{Kk_2}{2m(1+x)V_0 h \mu_2} \int_0^{\eta} f(\sigma) \left(\operatorname{ctg} \frac{\sigma+\eta}{2} + \operatorname{ctg} \frac{\sigma-\eta}{2} \right) d\sigma, \quad (21)$$

здесь введено обозначение $f(\sigma) = \chi - \frac{d\omega}{d\sigma}$, $\chi = \frac{(\gamma_1 - \gamma_2)h}{\pi K}$.

По физическим соображениям скорость деформации $u^*(\eta)$ должна быть ограниченной функцией для всех допустимых значений аргумента η ($0 < \eta < \pi$).

Тригонометрическое ядро $\operatorname{ctg} \frac{\sigma+\eta}{2} + \operatorname{ctg} \frac{\sigma-\eta}{2}$ в интеграле (21) имеет сингулярную особенность в точке $\sigma=\eta$, поэтому для того, чтобы скорость деформации $u^*(\eta)$ (21) принимала ограниченные значения, функция $f(\sigma)$ в точках $\sigma=0, \pi$ должна иметь нули по крайней мере первого порядка. Таким образом, имеем выражение

$$f(\sigma) = \sigma(\pi-\sigma)\psi(\sigma). \quad (22)$$

Здесь $\psi(\sigma)$ — некоторая непрерывная функция.

В простейшем случае полагаем $\psi(\sigma) \equiv 0$, в результате находим

$$\chi - \frac{d\omega}{d\sigma} = 0. \quad (23)$$

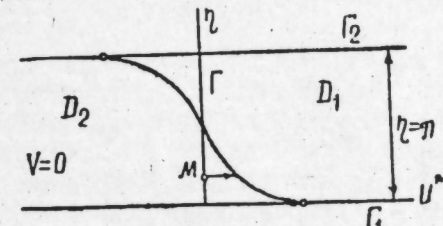


Рис. 2

Откуда, полагая $\sigma=\eta=\frac{\pi y}{h}$ (7), получаем (рис. 3)

$$\omega(\eta) - \omega(0) = \chi \eta = \frac{\gamma_1 - \gamma_2}{K} y \quad (0 \leq y \leq h). \quad (24)$$

В этом случае скорость деформации $u^*\eta \equiv 0$ и граница раздела Γ будет перемещаться поступательно.

Капиллярная функция $\omega(\eta)$ при этом на основании (24) не может быть равной нулю.

График капиллярной функции $\omega(\eta)$ (24) представлен на рис. 3 в случае гидрофильтральной пористой среды ($\operatorname{tg} \alpha < 0$).

В общем случае из зависимости (22) находим равенство

$$\chi - \frac{d\omega}{d\sigma} \Big|_{\sigma=0, \pi} = 0, \quad (25)$$

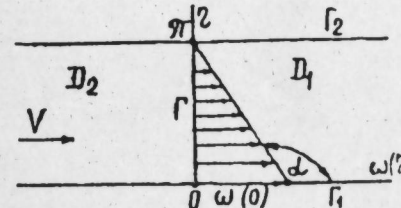


Рис. 3

из которого следует, что при $\chi \neq 0$, т. е. при $\gamma_1 \neq \gamma_2$ капиллярная функция $\omega(\eta)$ в окрестности точек $\eta=0, \pi$ ($y=0, h$) не может обращаться в нуль. Иначе говоря, ограниченность скорости $u^*(\eta)$ в точках $\eta=0, \pi$ ($y=0, h$) возможно лишь при наличии соответствующих скачков давления в окрестности точек $\eta=0, \pi$ ($y=0, h$). Таким образом, проведенный здесь анализ подтверждает выдвинутые в работах [1,2] гипотезы возможного объяснения обнаруженного там парадокса в перемещении границы раздела весомых несжимаемых жидкостей.

ЛИТЕРАТУРА

- Пилатовский В. П. Выражение скорости деформации границы раздела в случае неоднородного фильтрационного потока, образованного двумя весомыми жидкостями в горизонтальном пласте. Научно-технический сб. по добыче нефти, № 9, 1960, ВНИИНефть.
- Пилатовский В. П. О перемещении границы раздела между двумя весомыми жидкостями в горизонтальном пласте. Изв. АН СССР, 1961, ОГН, № 1.

Институт разработки нефтяных и газовых месторождений Поступило 13. XII 1962

Тәэзигин капилјар сычрајышы чекиси нәзәрә алынан мајеләрин
ајырма сәрһәдди һәрәкәттинин парадоксуну арадан
галдырычы кими

ХУЛАСӘ

D_2 саһесиндән D_1 саһесинә кечиддә һидродинамик тәэзиг P сычрајыша мә'ruz галдыгда, галынлығы h вә мәсамәлији $m\text{-const}$ олан үфүги $D=D_1+D_2$ лајында сыйылмајан чекиси нәзәрә алынан мајеләри аյыран Γ сәрһәддинин нисби һәрәкәт сүр'әти мәсәләсинә бахылыр.

[1,2] ишләриндә Γ сәрһәддинин деформасија сүр'әти үчүн тапылан ифадә (Γ сәрһәддинин селә нәзәрә һәрәкәт сүр'әти) лајын вә дабан мүстәвиләри нәгтәләриндә гејри-мәһдуд гијмәт алырды.

Физики аналышлара әсасен деформасија сүр'әти μ (у) алчаг сонлу гијмәтләр алмалыдыр.

Бу мәгаләдә [1,2] ишләриндә мүшаһидә олунан парадокс айынлашдырылыштыр. Тәэзигин капилјар сычрајышыны нәзәрә алмагла, Γ сәрһәддинин нисби һәрәкәт сүр'әти үчүн тапылан үмуми ифадә лајын таван вә дабан мүстәвиләри нәгтәләриндә онун деформасија сүр'әтини мәһдуд гијмәтә кәтирир.

КОЛЛОИДНАЯ ХИМИЯ

А. К. МИСКАРЛИ, М. М. ГУРВИЧ, Л. А. АБДУРАГИМОВА

О КОЛЛОИДНО-ХИМИЧЕСКОМ МЕТОДЕ БОРЬБЫ
С ФИЛЬТРАЦИЕЙ ВОДЫ В СВЯЗАННЫХ (ГЛИНИСТЫХ)
ГРУНТАХ ОРОСИТЕЛЬНЫХ СИСТЕМ

(Представлено академиком АН Азербайджанской ССР В. Р. Волобуевым)

Важнейшей проблемой оросительного строительства является устранение или уменьшение потерь воды на фильтрацию. Несмотря на то, что в настоящее время известен ряд способов противофильтрационной защиты, основанных на различных принципах, прошедших лабораторные и полевые испытания с положительным результатом [3], эта проблема еще очень далека от ее полного разрешения.

Водное хозяйство нашей страны еще не располагает противофильтрационным способом, достаточно удовлетворительным в экономическом, технологическом и производственном отношениях. Поэтому дальнейшие работы в этом направлении необходимы.

Лаборатория коллоидной химии Института химии АН Азербайджанской ССР, начиная с 1957 г. проводит работу, посвященную этой проблеме согласно тематическому плану. Был разработан [2] способ противофильтрационной защиты оросительных каналов в пористых (песчанистых) грунтах на базе гуматного порошкообразного реагента, в отличие от работ А. В. Думанского и сотрудников [1], применявших углещелочную массу к лессовым грунтам. Было показано, что противофильтрационное действие гуматного порошкообразного реагента в пористых грунтах обусловлено эластичным колыматирующими действием образующихся в реагенте желатинозных веществ. При этом наилучший эффект, приводящий к нулевой фильтрации в пористых песчаных грунтах, достигается только при определенном устройстве противофильтрационного слоя. Данное сообщение посвящено результатам применения разработанного способа к связанным грунтам. Для этой цели исследовалось большое число грунтов различного типа (24 отобраны в районах Али-Байрамлы и Джейран-Батан).

Фильтрационная характеристика как необработанных, так и обработанных гуматным порошком грунтов изображена для наглядности в виде диаграммы (рисунок).

Из приведенного экспериментального материала видно, что фильтрационная способность исследованных грунтов отличается большим разнообразием.

Диапазон фильтруемости в наших случаях простирается между 0,034—240,6 л/ч·м², т. е. до 8000-кратной величины, причем, что особенно интересно, эти различия наблюдаются не только между отдельными пунктами поверхности, но и между различными горизонтами одного и того же пункта.

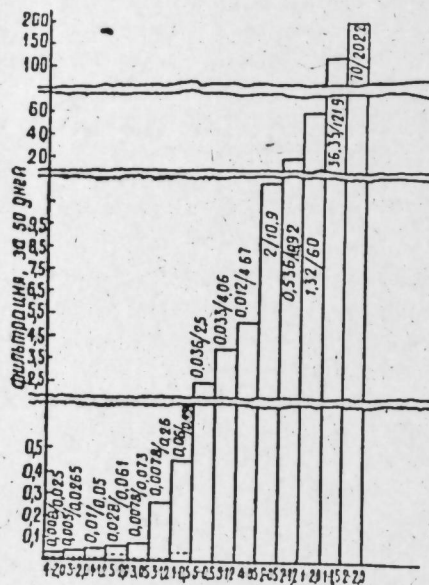
Фильтрационная характеристика грунтов по разработанной методике представляется нам весьма важной. Вероятно, что этим путем можно будет лучше уточнить оптимальную трассу канала.

Большое разнообразие наблюдается также в эффективности обработки грунтов гуматным порошком. Уменьшение фильтрации после обработки колебалось между величинами 2,2 и 222 раза. Таким образом, даже в самых неблагоприятных случаях обработка гуматным порошком снижала фильтрацию больше, чем вдвое, при этом с повышением концентрации гуматного порошка выше 5% эффективность обработки возрастает.

Из коллоидных и химических свойств грунтов исследовались набухаемость, статическое напряжение сдвига грунтовых паст, содержание и состав растворимых солей. Показано, что прочность пасты и величина набухания в известной степени идут антибатно с фильтруемостью грунтов, что касается состава растворимых солей, то закономерной связи с фильтруемостью грунтов нельзя было установить, что вероятно объясняется наложением многих других факторов, затмняющих действие каждого фактора в отдельности.

Исследована адсорбционная способность грунтов по отношению к Na-гуматам и щелочи. Установлено, что гуматы на грунтах не адсорбируются, но ввиду полидисперской природы Na-гуматов, наиболее крупные фракции последних удерживаются в порах грунта. Что касается щелочи, то грунты поглощают ее в различной степени в зависимости от свойств грунта.

С целью выяснения механизма действия гуматного порошка на фильтрационную способность связанных грунтов, определялась сравнительная скорость фильтрации необработанного грунта и обработанного различными добавками: 5%-ной гекмалинской глиной, щелочью 0,2%; 0,4% и 0,6%, раствором Na-гуматов с pH 6,2; 9,4; 11,0 желатинозными веществами в количестве 5% и гуматным порошком (5%). В результате исследования было установлено, что гекмалинская глина, действие которой должно иметь чисто кольматационный характер, обнаружила незначительный эффект. Щелочь, действие которой должно иметь чисто адсорбционно гидратационный характер, хотя и была эффективнее гекмалинной глины, но несравненно менее эффективна, чем гуматный порошок. Чистые растворы Na-гуматов по эффективности больше приближались к гуматному порошку, причем тем больше, чем больше pH. Что касается желатинозных веществ, то они вели себя совершенно различно в зависимости от свойств грунта. В хорошо поддающемся обработке грунте желатинозные вещества по



эффективности были на одном уровне с гуматным порошком, в то время как в менее поддающемся обработке грунте эффективность обработки была крайне незначительна. Весьма важно подчеркнуть, что ни один вариант не показал большей эффективности, чем гуматный порошок.

Сопоставляя все эти данные и принимая во внимание тот факт, что Na-гуматы на грунтах не адсорбируются, но наиболее крупные фракции гуматов удерживаются в грунте вследствие превышения размеров частиц гуматов диаметра пор грунта, мы пришли к выводу, что и в случае связанных грунтов мы имеем дело с кольматацией, но более тонкой, обусловленной наиболее крупными частицами самих гуматов.

В согласии с указанным выводом служит тот факт, что в более пористом грунте желатинозные вещества действуют почти также, как гуматный порошок, в то время как в мало пористом грунте действие его назначительно. Известно, что между порами грунта и величиной частиц кольматирующего материала должно быть определенное соответствие. Очевидно, для мелкопористого грунта желатинозные вещества слишком крупнодисперсны и более соответствуют этим порам частицы самих гуматов. В крупнопористом грунте частицы желатинозных веществ также оказываются вполне координированными с порами грунта наравне с гуматным порошком.

Таким образом, можно сделать вывод, что гуматный порошок, содержащий в своем составе фракцию гуматов различной дисперсности, а также желатинозные вещества, являются универсальным средством для противофильтрационной защиты как пористых, так и связанных грунтов.

Разработанный нами способ противофильтрационного устройства проверялся в полевых условиях в Али-Байрамлах при помощи и участии специалистов Министерства водного хозяйства и Азгипроводхоза. Была прослежена скорость фильтрации в искусственных бассейнах в течение трех месяцев. Скорость фильтрации в опытном бассейне по сравнению с контрольным дала уменьшение на 80—90%.

Поскольку без механизации работ ни один способ противофильтрационной защиты не может рассчитывать на практическое применение, перед нами была поставлена задача разработки принципов механизации устройства противофильтрационной защиты.

Вопросам механизации указанного процесса было посвящено специальное совещание в Азгипрородхозе. На этом совещании было выдвинуто предложение о применении гидравлического метода для нанесения противофильтрационного слоя. На основе этого нами была разработана схема полной механизации, которая была в принципе одобрена специалистами.

Проверка механизации процесса нанесения противофильтрационного слоя была проведена в специальных бассейнах, исходя из указанной схемы. Опыты показали, что данная схема может обеспечить намеченную технологию.

Эффективность действия противофильтрационного слоя, приготовленного по способу, разработанному нашей лабораторией, а также осуществление полной схемы механизации нанесения слоя, дает основание для перехода к испытанию в крупных масштабах, к чему в настоящее время проводятся подготовительные работы.

ЛИТЕРАТУРА

- Думанский А. В. Труды З-й Всесоюзной конференции по коллоидной химии. Изд АН СССР, 1956. Сб. «Борьба с фильтрацией воды в лесовых грунтах».

А. Г. Мискарли, М. М. Гурвич, Л. А. Абдурагимова

Суварма каналларынын кил торпагларында сујун сүзүлмәсине гаршы мұбаризәдә коллоид-кимжәви метод һағында

ХУЛАСӘ

Тәдгигат нәтичәсіндә тозвары гумат реакентіндән кил торпагларын суварма каналларында сујун сүзүлмәсін гаршы мұнағизә үсулу ишләнмишdir. Қестәрилмишdir ки, ән пис шәралтда белә каналларын сәттін гумат тозу илә ишләндикдә сујун сүзүлмәсі 2 дәфә азайылар.

На-гуматларына вә гәләвијә көрә торпағын адеорбсија етмә габилюїети өјрәнилмишdir. Мұхтәлиф маддәләр 5%-ли һөкмәли кили, 0,2%; 0,4% вә 0,6-ли гәләви, 6,2; 9,4; 11,0 pH-лы Na-гумат мәһлүлү, 5% желатинли маддәләр вә 5%-ли гумат тозу илә ишләнмиш торпагларда сујун сүзүлмәсінин сүр'ети тә'ин едилмишdir. Апарылан тәч-рүбәләр қестәрил ки, гумлу торпагларда олдуғу кими, килли торпагларда да колматасија (мәсамәләрин бағламасы) баш верир ки, буна торпағын ири һиссәчикләри сәбәб олур.

Һәмин үсуулун Эли Бајрамлы рајонунда чөл шәралтніндә јохланылмасы мүсбәт нәтичә вермишdir.

Бундан башта, мұнағизә лајынын каналларын сәттінен յајма просесінин механикләшдирилмәсі схеми ишләнмишdir ки, јохлама нәтижәсі бунун һәмин технология үчүн гәнаэтбәхш олдуғуну қестәрир.

Х. М. РЗАЕВ, А. Б. ДЖАВАНШИРОВ

ПЕРСПЕКТИВЫ НЕФТЕНОСНОСТИ ЮГО-ВОСТОЧНОГО
ОКОНЧАНИЯ НЕФТЕЧАЛИНСКОЙ АНТИКЛИНАЛИ В СВЕТЕ
НОВЫХ ДАННЫХ

(Представлено академиком АН Азербайджанской ССР М. В. Абрамовичем)

Вопрос о нефтеносности нижнего отдела продуктивной толщи в пределах юго-восточного окончания Нефтечалинской структуры до недавнего времени решался отрицательно. В последнее время при бурении скважин на йодо-бромные воды получены новые данные, позволяющие внести определенные корректировки в существующие воззрения о том, что якобы поиски нефти в южной и юго-восточной частях Нефтечалинской площади нецелесообразны [1], а также уточнить некоторые детали строения самой структуры. Нефтечалинское брахиантиклинальное поднятие, находясь на юго-восточном окончании Куровдаг—Базанан—Дуздаг—Хиллинской антиклинальной зоны, погружается в юго-восточном направлении в сторону о. Куринский камень. Исходя из такого регионально-геологического соображения, на составленной А. М. Ахмедовым структурной карте, по подошве I горизонта продуктивной толщи шарнир складки плавно погружается на юго-восток к о. Куринский камень. Данные бурения, производившегося на юго-восточном окончании Нефтечалинской антиклинали (участок Ханкишлак), показывают, что ось последней проходит северо-восточнее о. Куринский камень. Кроме того, по этим же данным устанавливается наличие диагонального нарушения сбросового характера, проходящего в районе скв. 641 и соединяющегося с основным продольным сбросом в районе скв. 452, а также установлено, что на северо-восточном крыле складки проходит продольный разрыв.

Все эти детали строения хорошо видны на структурной карте, построенной по подошве I горизонта продуктивной толщи в 1962 г. и из прилагаемых профилей (рис. 1, 2, 3). Выше указывалось, что по мнению некоторых геологов [1, 2], юго-восточное окончание Нефтечалинской антиклинали не представляет никакого интереса с точки зрения нефтеносности продуктивной толщи вообще и нижнего отдела в особенности.

Полученные нами данные позволяют по-иному оценивать нефтеносность этого района. Так в скв. 438, пробуренной в юго-восточной

части северо-восточного крыла, по каротажным данным в интервале 900–1050 м были обнаружены нефтяные пласты, представляющие интерес для опробования.

В феврале 1957 г. при опробовании одного из пластов, мощность которого достигла 5 м, скважина стала фонтанировать нефтью со среднесуточным дебитом 10 м³/сут. Ранее считали, что нефтяные пласты скв. 438 относятся к VI горизонту продуктивной толщи, но

последующие сопоставления каротажных диаграмм с таковыми других скважин, расположенных поблизости от этой скважины, показали, что эти пласты относятся к VII горизонту, по-видимому, относящемуся уже к нижнему отделу продуктивной толщи.

После установления нефтеносности этого горизонта в районе скв. 438 был пробурен ряд скважин, из которых получена нефть. При разведке далекого погружения северо-восточного крыла складки с VII горизонта продуктивной толщи были получены с нефтью.

Скважина 607, заложенная на далеком юго-восточном погружении северо-восточного крыла складки на IX горизонт продуктивной толщи, дала мощный газовый фонтан, после заглушения которого вокруг скважины образовалось множество грифонов с газопроявлениями. Примерно в 1,5 км к северо-западу от этой скважины образовался грифон с выделением газа.

При опробовании водяных пластов X горизонта в скв. 652 в интервале 2036–1980 м была получена вода с нефтью и газом.

В скв. 640 и 641 во время опробования водяных пластов также была получена вода с нефтью.

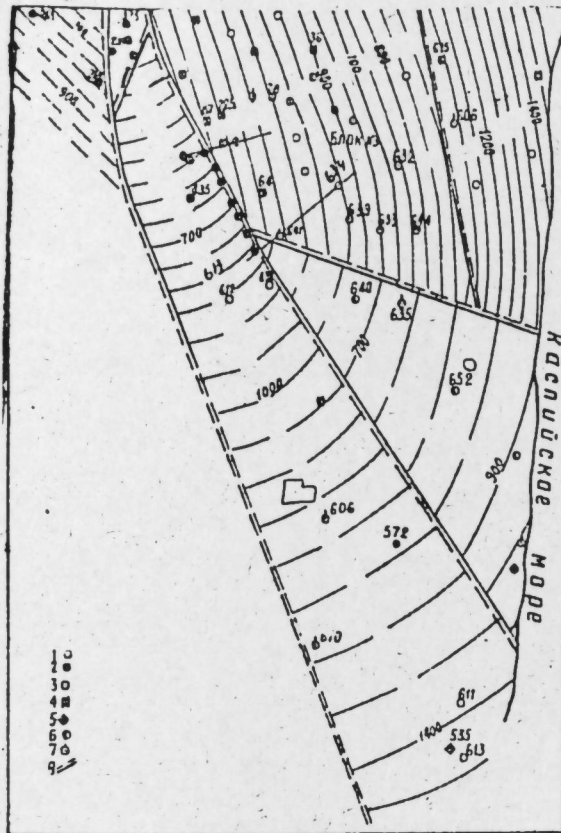


Рис. 1

Структурная карта по подошве I гор. продуктивной толщи:

1—скважины разведочные, пробуренные на пластовую воду; 2—скважины нефтяные; 3—скважины водного промысла; 4—скважины, ликвидированные по техническим причинам; 5—скважины, ликвидированные по геологическим причинам; 6—скважины, давшие нефть одновременно с водой во время опробования водяных пластов; 7—скважины, давшие газ одновременно с водой во время опробования водяных пластов; 8—линии тектонических нарушений,

Все эти данные опровергают мнение геологов [1], считавших, на основании литофациального ухудшения разреза продуктивной толщи в юго-восточном направлении, бесперспективным юго-восточное погружение Нефтечалинской брахиантклиниали. Те же данные лишний

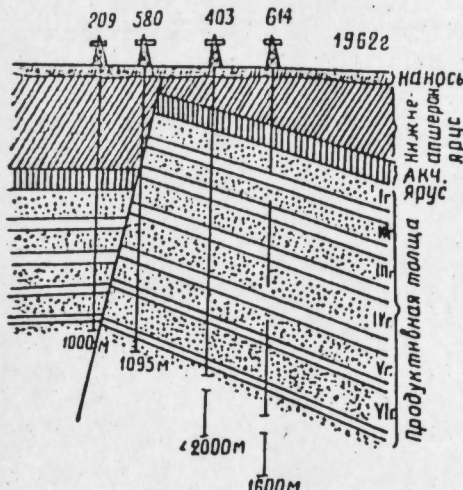


Рис. 2
Профиль по линии I—I

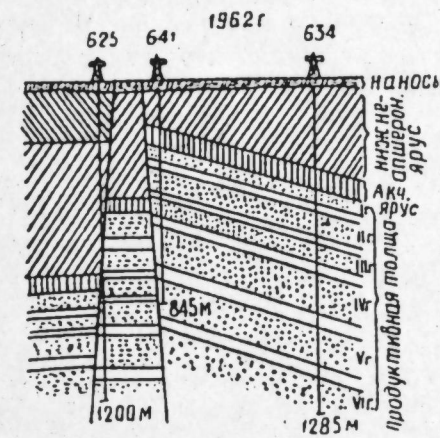


Рис. 3
Профиль по линии II—II

раз подчеркивают, что определение перспектив нефтеносности того или иного района на основании односторонних данных не приводит к надежному результату.

ЛИТЕРАТУРА

- Алиев А. К. Геология и нефтегазоносность Кура-Араксинской области. Азернефтишр, 19-0. 2. Геология Азербайджана, т. IV, месторождение нефти и газа. Изд. АН Азерб. ССР, 1951.

Институт геологии

Поступило 16. X 1962

Х. М. Раев, А. Б. Чаванширов

Нефтчала антиклинальнын чәнуб-шәрг периклинальнын нефтилии һаггында

ХУЛАСӘ

Сон вахтлара гәдәр Нефтчала нефт ятагынын чәнуб вә чәнуб-шәрг саһәсиндә нефт вә газ ахтарышы Мәһсүлдар гатда, хүсусән онун ашагы шөбәсүндә эсассыз несаб едилирди. Белә несаб едирилләр ки, Нефтчала брахаантклиниалы чәнуб-шәрг истигамәтиндә Күр дашиадасына тәрәф дәринләшмәклә Мәһсүлдар гатын лиофаснал кејфијәти писләшир.

Лакин сон вахтлар јод-брон суларына газылмыш кәшфијјат гууларына әсасән Нефтчала брахиантклиниалы охунун Күр дашиадасыны шимал-шәргиндән кечмәснин вә ятагын шимал-шәрг ганадынын чәнуб-шәрг һиссәсүндә бир нечә диагонал позгуулугларын олмасы

мүэйжэн едилмишdir. Бу көстәрилән позғунлуглар нефти мүэйжэн бир блокда топлашмасы учун екран ролуну ојнамышдыр. Чәнуб-шәрг һиссәдә газыныш 438 нөмрәли гүјуда 900—1050 метр дәринлијинде Мәһсулдар гатын VII горизонтуна анд едилмиш нефти лајларын ол-масы мүэйжэн едилмишdir. Бундан башга, һәмин саһәдә 607, 640, 642-652 нөмрәли гүјуларда газма вә истисмар заманы VII—X горизонтларындан су илә бирликдә нефт вә газ алынышдыр.

Бүтүн бу материаллар јатағын чәнуб-шәрг саһәсинде Мәһсулдар гатын ашағы горизонтларында нефт вә газ ахтарышынын апарылмасына әсас верир.

Ф. И. САМЕДОВ, Ч. А. СУЛТАНОВ

К ПРОНИКОВЕНИЮ НЕФТИ В ГАЗОКОНДЕНСАТНУЮ
ОБЛАСТЬ ПРИ РАЗРАБОТКЕ НА ИСТОЩЕНИЕ
VII ГОРИЗОНТОВ ПЛОЩАДИ КАРАДАГ

(Представлено академиком АН Азербайджанской ССР Ш. Ф. Махтиевым)

Одной из особенностей разработки газоконденсатных залежей с нефтяной оторочкой является возможность проникновения нефти в газоконденсатную область при опережающей разработке газоконденсатной части.

Как известно, газоконденсатная зона VII-х горизонтов месторождения Карадаг разрабатывается гораздо интенсивнее, чем нефтяная оторочка залежи. Так, если за последние три года из газоконденсатной зоны VII-х горизонтов отбиралось в среднем 10% от запасов за год, то из нефтяной оторочки только 1% геологических запасов нефти. Вследствие этого между газоконденсатной и нефтяной частями залежи возник значительный перепад давления, т. е. возникла возможность для вторжения нефти в газоконденсатную область.

Вопросы проникновения нефти в газоконденсатную область VII-х горизонтов месторождения Карадаг освещены в работах ряда исследователей [1, 2, 4].

М. Т. Абасов [1] расчетным путем показал, что вторжение нефти за все время разработки не должно превышать 9% от объема газовой части. В работах [2, 4] было показано, что вторжение нефти на 1. I 1962 г. было незначительно. Подвижность контакта газ—нефть в них оценивалась по изменению газоконденсатного фактора, удельного веса и цвета конденсата.

Известно, что при падении пластового давления наблюдается уменьшение удельного веса конденсата и увеличение газоконденсатного фактора. При вторжении нефти имеет место обратное явление: увеличение удельного веса конденсата и уменьшение газоконденсатного фактора. Одновременно конденсат темнеет. Уменьшение газоконденсатного фактора объясняется тем, что при вторжении нефти количество выделившегося из нее газа незначительно [4].

В настоящей работе сделана попытка оценить степень подвижности контакта нефть—газ путем сравнения фактических и теоретических кривых зависимостей давления от глубины залегания пласта.

Если в процессе эксплуатации происходит интенсивное и непрекращающееся вторжение нефти, то под влиянием изменения удельного веса смеси (газ, конденсат и нефть) фактические и подсчитанные давления должны резко отличаться.

Таблица 1

№ скважин	<i>h</i>	P_{atm}	Примечание
155	200	185	$h=H-2400$, где H —глубина скваж. 2400 м—привед. глубина
212	600	196	
70	700	203	
$\Sigma h = 1500$		$\Sigma P = 584$	
132	850	196	
134	1200	202	
170	1320	204	
$\Sigma h = 3370$		$\Sigma P = 602$	

Фактические давления были взяты по замерам пластовых давлений и по некоторым скважинам, путем приведения их к выбранным датам (V. 1960 г., X. 1961 г.).

Таблица 2

№ скважин	<i>h</i>	P_{atm}
212	600	128
70	700	135
132	850	136
124	1100	138
$\Sigma h = 3250$		$\Sigma P = 573$
134	1200	130
136	1250	136
170	1320	138
78	1470	146
$\Sigma h = 5240$		$\Sigma P = 650$

В табл. 1 и 2 помещены фактические и приведенные к V/1960 — X/1961 гг. давления для различных глубин, на основании которых построен график (рис. 1).

Как видно из рисунка, зависимость давления от глубины на обе даты имеет вид прямой:

$$y = kx + b. \quad (1)$$

Методом средних определены параметры этих прямых на указанные даты.

$$\begin{cases} 584 = 4B + k3250 \\ 650 = 4B + k5240 \end{cases}$$

$$y = 189 + 0,0065x. \quad (2)$$

где x — глубина определяемой точки;
 y — давление, соответствующее этой глубине.

Аналогично на X. 1961 г. имеем:

$$\begin{cases} 573 = 4B + k3250 \\ 650 = 4B + k5240 \end{cases}$$

$$y = 129 + 0,0065x. \quad (3)$$

Как известно, давление в любой точке газового пласта равно давлению в известной точке с учетом столба газа между этими точками:

$$P_A = P_B e^S. \quad (4)$$

где P_B — давление в известной точке пласта

$$S = \frac{\gamma_0 H}{Z_{cp} \cdot P_0}$$

H — разница в глубинах, м,

γ_0 — удельный вес смеси газа и конденсата, кг/м³,

Z_{cp} — средний коэффициент сверхсжимаемости газов,

$P_0 = 1030$ кг/м³.

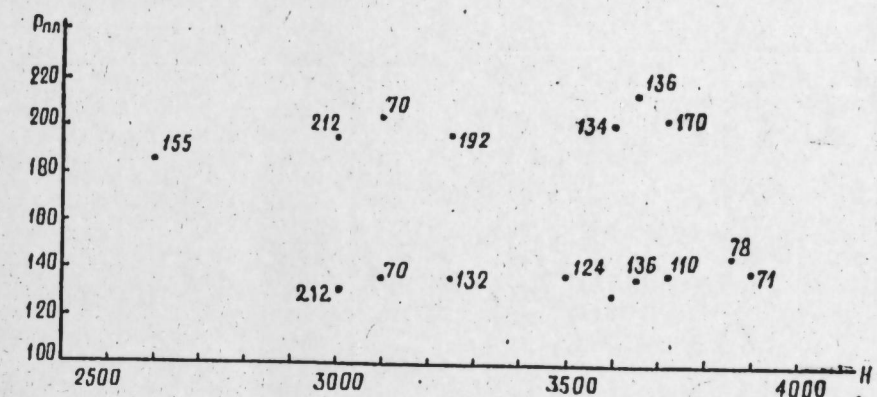


Рис. 1
Зависимость фактических пластовых давлений от глубины

Для подсчета теоретического давления по формуле (4) основной задачей является определение удельного веса смеси γ_0 .

$$\gamma_0 = \frac{M_{cm}}{22,41},$$

где M_{cm} — молекулярный вес смеси газа и конденсата.

$$M_{cm} = M_r N_1 + M_k (1 - N_1). \quad (5)$$

M_r — молекулярный вес газа (метана),

M_k — молекулярный вес конденсата.

Он определяется по графику Покровского [3].

$$N_r = \frac{\Phi}{22,41},$$

где N_r , N_k соответственно число молей газа и конденсата.

$$N_k = \frac{1000}{M_k}; \quad N_r = \frac{\Phi}{22,41}$$

Φ — газоконденсатный фактор, который при расчетах принимался средним по пласту на исследуемую дату.

Подставляя указанные значения в (5), получим:

$$M_{\text{см.}} = M_r \left(\frac{\frac{\phi}{22,41}}{\frac{\phi}{22,41} + \frac{1000}{M_k}} \right) + M_k \left[1 - \left(\frac{\frac{\phi}{22,41}}{\frac{\phi}{22,41} + \frac{1000}{M_k}} \right) \right]$$

Величина коэффициента $Z_{\text{ср}}$ определялась методом последовательных приближений. Вначале определялось по составу газа ориентировочное значение Z_1 для P_B , далее по формуле (1) определялось ориентировочное значение P_A , по которому находилось новое значение Z_2 . Величина Z бралась нами как среднее значение.

Подсчитанные γ и $Z_{\text{ср}}$ для глубин 4000, 3500, 3000 м на указанные даты помещены в табл. 3.

Таблица 3

1960 г.		1961 г.			
№	$Z_{\text{ср}}$	γ	№	$Z_{\text{ср}}$	γ
1	0,891	0,801	1	0,889	0,794
2	0,893	0,799	2	0,888	0,791
3	0,894	0,798	3	0,89	0,792
		0,796			0,789

Таблица 4

1960 г.		1961 г.	
$P_{\text{фак.}}$	$P_{\text{теор.}}$	$P_{\text{фак.}}$	$P_{\text{теор.}}$
205	216,4	139,4	146,6
200	207,1	136,0	141,4
195	197,6	133,0	134,9
190	129,7		

По вышеприведенной методике были подсчитаны пластовые давления различных глубин на даты V. 1960, X. 1961 гг., которые вместе с осредненными фактическими давлениями помещены в табл. 4.

По полученным данным построен график зависимости фактических и подсчитанных давлений от глубины (рис. 2).

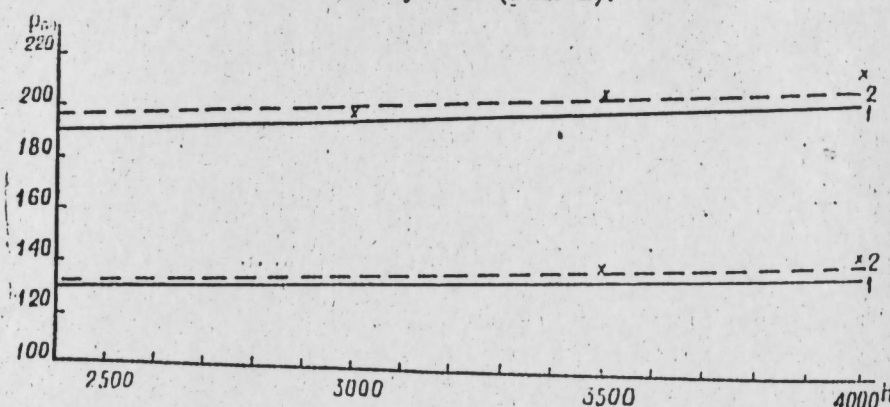


Рис. 2

Зависимость давления от глубины:
1—осредненные фактические давления; 2—вычисленные давления.

Из рисунка видно, что фактические и подсчитанные давления имеют хорошую сходимость в обоих исследуемых периодах.

Небольшое исключение составляет давление, вычисленное для погруженной части пласта на обе даты, что, по-видимому, связано с неизвестным вторжением нефти в погруженную часть газоконденсатной зоны.

Таким образом, опережающая разработка газоконденсатной зоны не привела к значительному вторжению нефти в эту область. Следует также добавить, что примененная в настоящей работе методика позволит и впредь судить о вторжении нефти в газоконденсатную область.

На основании всего вышеуказанного можно сделать следующие выводы.

1. О вторжении нефти в газоконденсатную часть залежи наряду с изменением газоконденсатного фактора и удельного веса конденсата можно судить также путем сравнения осредненных фактических и вычисленных давлений в зависимости от глубины.

2. Исследование по описанной методике подтверждает ранее сделанный вывод о том, что вторжение нефти при опережающей разработке газоконденсатной части незначительно.

ЛИТЕРАТУРА

- Абасов М. Т. К расчетам разработки газонефтяных месторождений. ДАН Азерб. ССР, 1963, т. XVIII.
- Гасанов Ф. Г., Тайров А. А. Некоторые особенности эксплуатации газоконденсатных скважин Карадага. АНХ, 1961, № 12.
- Покровский К. В., Разумат Н. С. Метод определения пластового давления скважинах, продукция которых представляет газ, конденсат, нефть. „Изв. высших учеб. завед.“ „Нефть и газ“, 1962, № 9.
- Самедов Ф. И., Садигов А. М., Султанов Ч. А. Характер подвижности контактных поверхностей и состояние режима залежи месторождения Карадаг. „Изв. АН Азерб. ССР“, серия геол.-минерал. наук, 1962, № 5.

Институт разработки нефтяных и газовых месторождений

Поступило 9. II 1963

Ф. И. Самедов, Ч. А. Султанов

Гарадаг саһәсиндә VII һоризонтун там ишләдилмәси заманы нефтин газ-конденсат саһәсинә дахил олмасына дair

ХҮЛӘСӘ

Нефти саһәси олан конденсат йатагларының ишләнилмәсindә әсас хүсусијәтләрдән бири, газ-конденсат һиссәсинин даһа сүр'әтлә ишләнилмәси иәтичәсindә нефтин газ-конденсат саһәсинә дахил олмасыдыр.

Гарадаг йатагында VII лајларын газ-конденсат һиссәси онун нефти саһәсindән чох-чох сүр'әтлә ишләнилir. Бу һал газ-конденсат вә нефти саһә арасында тәэзиг дүшкүсү јаратмышдыр, бу да өз иөвбәсindә нефтин газ-конденсат саһәсindә сохулмасы үчүн әлверишли имкан јаратмышдыр.

Мәгаләдә дәрнилилкән асылы олараг ортаглаштырылмыш фактik тәэзиг әјрисинин $y = kx + b$ несабланмыш тәэзиг әјриси илә $P_A = P_B e^y$ мугајисәси верилir. Бу мугајисә көстәрир ки, һәмни әфриләр бир-биринә чох бәнзәјир. Бу охшаыша әсасен нефтин газ-конденсат саһәсindә чүз'и сохулмасы иәтичәсindә кәлмәк олар.

Э. М. ДЕМИХОВСКАЯ, В. П. КУЗНЕЦОВ

ОБ ОСОБЕННОСТЯХ ЗАТУХАНИЯ ЭНЕРГИИ
ИЗ ПОВЕРХНОСТНЫХ ОЧАГОВ ЗЕМЛЕТРЯСЕНИЙ

(Представлено академиком АН Азевбайджанской ССР А. Д. Султановым)

Авторы анализируют некоторые параметры, связанные с прохождением воли через осадочные породы. Исследуется зависимость изменения энергии воли от эпицентрального расстояния.

Основными параметрами, позволяющими уточнять природу приходящих от землетрясения волн, а также оценивать сейсмическую энергию, являются амплитуда и период. Поэтому, знание амплитудной и частотной характеристики волн имеет первостепенное значение при исследовании землетрясений.

Нами обработано 12 землетрясений с $S-P \leq 7$ сек, записанных за 1959-1960 гг. временными сейсмическими станциями Апшеронской сейсмической экспедиции Института геологии им. акад. И. М. Губкина АН Азербайджанской ССР. Запись велась сейсмографами типа BCX и GCX с гальванометрами ГК-У1 и ГК-У2 с облегченной рамкой.

Описание аппаратуры дано в статье [4].

При обработке землетрясений из апшеронских очагов, на основании инструментальных исследований сейсмичности Апшеронского полуострова и островов Каспийского моря, прилегающих к полуострову, авторы чаще выделяли волны не по частотной, а по амплитудной характеристике. Это вызвано тем, что периоды колебаний продольных и поперечных волн часто очень трудно различить на сейсмограммах из-за малой скорости движения барабана регистрирура (120 мм/мин). При обобщении материала обработки землетрясений были сделаны следующие выводы. Для землетрясений с $S-P \leq 7$ сек, периоды колебаний продольных волн лежат в пределах 0,1-0,2 сек, поперечных - 0,2-0,3 сек. Периоды колебаний волн на записях разных станций, несмотря на идентичность аппаратуры, неодинаковы, что может быть частично объяснено различием грунтов, на которых установлены сейсмографы. Повышенные значения периодов продольных и поперечных волн на станции Джорат, например, вызваны тем, что грунты там представлены водонасыщенными песками дюнного происхождения.

Смещение грунта на разных эпицентральных расстояниях сопоставлялось как зависимость A и $\frac{A}{T}$ от Δ (здесь A -амплитуда смещения грунта; T -период колебания; Δ -эпицентральное расстояние).

На графиках* зависимости A от Δ по оси абсцисс откладывались эпикентальные расстояния (в км), по оси ординат — смещения почвы (в μ): для первых вступлений продольных волн, P_{\max} и S_{\max} , по каждой составляющей отдельно и полное смещение, равное $A_n = \sqrt{A_z^2 + A_{E-W}^2 + A_{N-S}^2}$.

Для землетрясений из ашеронских очагов характерным является интенсивное затухание смещения грунта с расстоянием. Причем, это наблюдается для максимумов поперечных волн по всем составляющим, а для продольных волн по составляющим Z и $E-W$. По составляющей $N-S$ для продольных волн (как для первых вступлений, так и для максимумов) затухание смещения грунта с расстоянием происходит более плавно. Например, для Нардаинского землетрясения 31 X. 1959 г. 17^h14^m величины смещений грунта для продольных волн в максимуме по сейсмической станции Нардаин, при $\Delta=11$ км, равны: по $Z=2,2 \mu$; по $E-W=1,2 \mu$; по $N-S=0,4 \mu$, а по сейсмической станции Жилой, при $\Delta=62$ км, смещения грунта по всем составляющим не превышают $0,3 \mu$ (рис. 1).

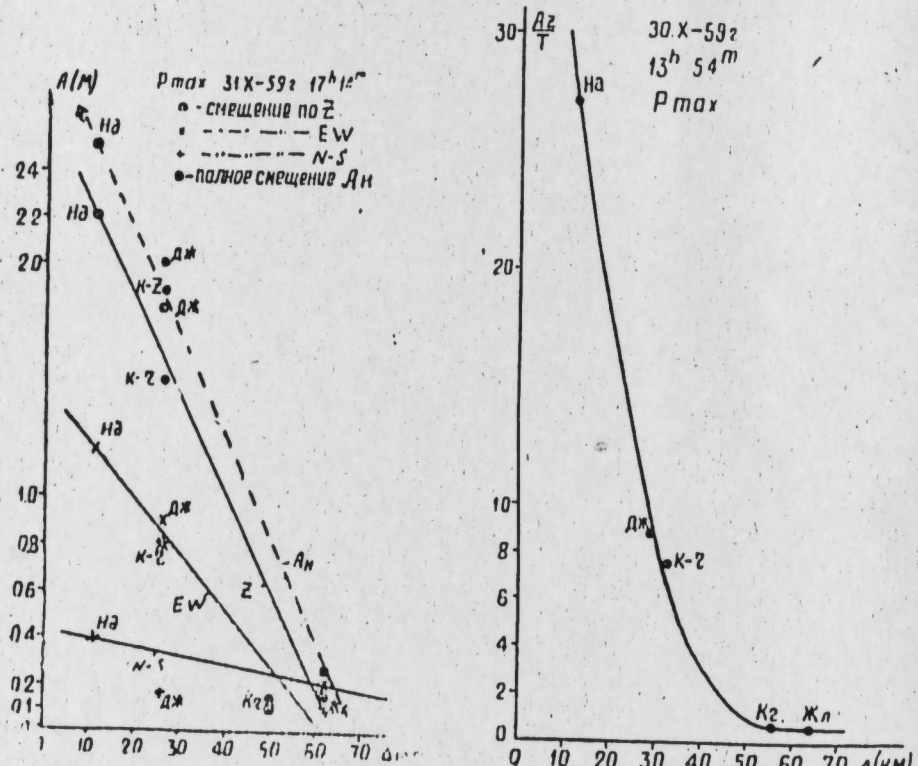


Рис. 1
Смещение грунта для Ашеронских землетрясений.

Графики зависимости $\frac{A}{T}$ от эпикентального расстояния показывают аналогичное затухание при увеличении Δ , но более плавное (рис. 2).

Рис. 2
Изменение $\frac{A}{T}$ с расстоянием

* Обозначения: Дж.—Джорат; К-ч.—Кара-Чухур; Кр.—Кергез; Нд.—Нардаин; Жл.—Жилой.

Энергия в очаге по сейсмограммам близких станций оценивается приближенно [1] по формуле Б. Б. Голицына [3]:

$$E = 4\pi^3 \rho c \Delta^2 e^{k\Delta} \left(\frac{A}{T} \right)^2 t. \quad (1)$$

Одним из компонентов формулы (1) является квадрат амплитуды $-A^2$. Поэтому во многих случаях строят графики зависимости A^2 от Δ для всех типов волн. При этом важным является затухание сейсмических волн, которое характеризуется коэффициентом затухания k . По Б. Б. Голицыну $k=0,0004 \text{ км}^{-1}$, по И. Л. Нерсесову [2] для близких землетрясений k лежит в пределах $0,004-0,1 \text{ км}^{-1}$.

Мы определяли коэффициент затухания для продольных и поперечных волн из формулы (1), используя результаты количественной оценки энергии землетрясений методом И. Л. Нерсесова [6]. Коэффициенты затухания вычислены для каждой станции в отдельности по 12 землетрясениям. Зависимость k от Δ для всех обработанных землетрясений представлена графически.

Для местных землетрясений из ашеронских очагов характерно неодинаковое затухание на разных эпикентальных расстояниях. Максимальные коэффициенты затухания наблюдаются на эпикентальных расстояниях до 20–30 км. На больших расстояниях продольные и поперечные волны распространяются с мало изменяющимися по величине коэффициентами затухания. На всех эпикентальных расстояниях коэффициенты затухания для волн P и S почти совпадают по величине (рис. 3).

Только три землетрясения из всех обработанных не подчиняются этим закономерностям, по всей вероятности, из-за нечеткой записи.

Исследовав затухание сейсмических волн, мы построили графики зависимости A^2 от Δ . На графиках дается характеристика энергии приходящих объемных волн по величине A^2 первого толчка, A_m^2 продольных волн и A_m^2 поперечных волн. Причем, полная энергия первого толчка и продольных волн в максимуме совпадает с величиной смещения грунта, взятой по составляющей Z из-за незначительности величин смещений по остальным составляющим. Для поперечных волн полная энергия может характеризоваться смещением грунта по составляющей $E-W$, т. к. по ней наблюдаются максимальные смещения. Вследствие указанного выше по оси ординат откладывались величины смещений грунта, взятые по составляющей Z для продольных волн и по составляющей $E-W$ для поперечных.

Для всех землетрясений из ашеронских очагов наблюдается резкое убывание энергии с расстоянием как для первого толчка, так и для

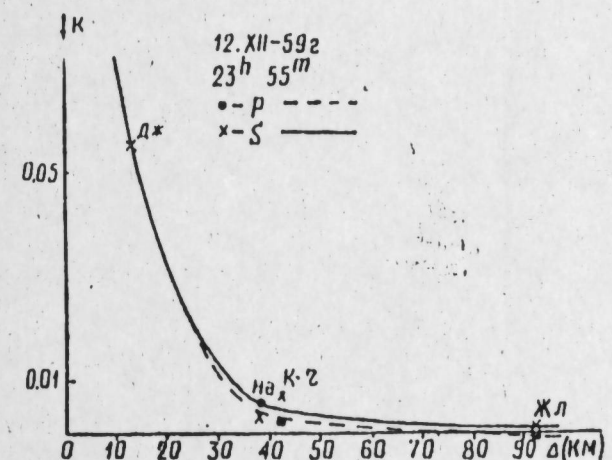


Рис. 3
Значения коэффициентов затухания для продольных и поперечных волн

продольных и поперечных волн в максимальной фазе (рис. 4), что хорошо согласуется с выводами о затухании сейсмических волн с увеличением Δ .

Быстрое затухание энергии с расстоянием (она практически гасится на расстоянии 30–40 км) дает дополнительный материал для заключения о глубине залегания очагов этих землетрясений. Для всех разобранных случаев очаги землетрясений являются поверхностными.

Величины энергии в очаге землетрясений, вычисленные для максимумов продольных и поперечных волн методом И. Л. Нерсесова [6], нанесены на графики зависимости A^2 от Δ . Вид обеих кривых идентичен (рис. 4).

Связь энергии землетрясений с магнитудой (M) выражается соотношением:

$$\lg E = a + bM.$$

Мы вывели коэффициенты, связывающие эти величины для наших землетрясений.

Коэффициент b найден по методике ТКСЭ [5], как наклон осредняющей прямой на рис. 5, где по осям отложены величины $\lg(A_p + A_s)$, пропорциональные M , и величины $\lg E$. На графике рис. 5, где имеется около 45 точек для землетрясений с энергией от 10^6 до 10^{12} дж, значение b равно 1,8. Коэффициент a найден как отрезок, отсекаемый на оси ординат, равный 7,5.

Рис. 4
Квадраты амплитуд поперечных волн и полная энергия в очаге по определениям на сейсмических станциях.

Полученная для землетрясений из ашеронских очагов формула:

$$\lg E = 7,5 + 1,8M(\text{дж}) \quad (2)$$

хорошо согласуется с результатами ТКСЭ [5], несмотря на относительно малое количество обработанных землетрясений.

При подсчете энергии по формуле (2), магнитуда (M) определялась по номограмме, предложенной С. Л. Соловьевым для поверхностных волн [7,8].

Для близких землетрясений из ашеронских очагов зарождение поверхностной волны наблюдается для землетрясений с $S-P \leq 5$ сек на эпцентальных расстояниях в 40 км. На более близких эпцентальных расстояниях можно считать, что вся энергия землетрясения

сосредоточена в продольных и поперечных волнах. Это может служить обоснованием применения номограммы Соловьева, составленной для поверхностных волн, для определения магнитуд наших землетрясений по продольным и поперечным волнам в максимальной фазе.

Выводы

1. Энергия землетрясений из поверхностных очагов Ашеронского полуострова почти полностью затухает на расстоянии 30–40 км.

2. Коэффициенты затухания объемных волн из ашеронских очагов землетрясений не сохраняют постоянства на разных эпцентальных расстояниях.

3. Зависимость энергии с магнитудой для землетрясений из ашеронских очагов подчиняется формуле:

$$\lg E = 7,5 + 1,8M(\text{дж}).$$

ЛИТЕРАТУРА

1. Буйн В. И. Об использовании метода Голицына для приближенной оценки энергии землетрясений. Сб. статей и докладов АН Тадж. ССР. Труды, т. 54, 1, 1956, 3–27.
2. Виноградов С. Д., Аицайферов М. С., Нерсесов И. Л. О затухании сейсмических волн при местных землетрясениях. Сб. статей и докладов АН Тадж. ССР. Труды, т. 54, 1, 1956, 29–40.
3. Голицын Б. Б. О землетрясении 18 декабря 1911 г. Изв. Росс. АН, № 2, 6 серия, 1915.
4. Кузнецова В. П. Землетрясение в Баку 28 ноября 1958 г. ДАН Азерб. ССР, 1959, т. XV, № 8.
5. Методы детального изучения сейсмичности. Труды Ин-та Физики Земли, № 9, (176), 1960.
6. Нерсесов И. Л., Раутян Т. Г., Халтурин В. И., Ризниченко Ю. В. Инструкция по динамическим измерениям на сейсмограммах. Труды Ин-та Физики Земли, 1961, 17(184), вып. 5, 146–167.
7. Соловьев С. Л. К вопросу о соотношении между энергией объемных волн и интенсивностью землетрясений. Бюл. сов. по сейсмологии, № 6, 1956, 109.
8. Соловьев С. Л., Шебалин Н. В. Определение интенсивности землетрясений по смещению почвы в поверхностных волнах. Изв. АН СССР, серия геофизическая, 1957, № 7, 926–930.

Поступило 30. XII 1962

Институт геологии

Е. М. Демиховскаја, В. П. Кузнетсов

Зэлзэлэний сэтгэ мэнбэйиндэн енержинийн сөнмэсий хүсүүсийгэллэри һагында

ХУЛАСЭ

Сейсмик енержинийн тэ'ини заманы амплитуд вэ период эсас параметр саылыр.

$S-P \leq 5$ санија зэлзэлэ учун узунуна далганын тэрэддүдтэй периоду 0,1–0,2 санија, енинэ далганынкы исэ 0,2–0,3 санија һудуунда олур.

Мұхтәлиф епісентрик мәсафәләрдә торпағын јердәйшмәси Δ -дан A вә $\frac{A}{T}$ асылығы кими мұғајисә едилір (бурада A —торпағын јердәйшмә амплитуду; T —тәрәддүетмә периоду; Δ —епісентрик мәсафәдір).

Б. Б. Голитсинин (1) дүстурнуи компонентләріндән бири A^2 амплитудунуи квадратыдыр. Буна көрә дә әксәр һалларда бүтүн тип далғалар үчүн Δ -дан A^2 асылылығы графики гүрурлар. Бу заман сейсмик далғаларын сөнмәси мүһум амилләрдән бириди.

Абшерон мәнбәйндән јерли зәлзәлә үчүн мұхтәлиф епісентрик мәсафәләрдә гејри-бәрабәр сөнмә характеристикдір (мәгәләдәки 3-чу шәкілә бах).

Епісентрик мәсафәләрдә сөнмәниң максимал әмсалы 20–30 км-ә гәдәр мүшәнідә едилір.

Зәлзәлә енержисиниң магнитуда (M) илә әлагәси ашағыдақы дүстурла ифадә едилір:

$$\lg E = 7,5 + 1,8M(\text{ч}).$$

Р. К. ГАСАНОВ, Ш. И. АЛЛАХВЕРДИЕВ

О ПРЕНИТЕ ИЗ УЛЬТРАОСНОВНЫХ И ОСНОВНЫХ ПОРОД АЗЕРБАЙДЖАНСКОЙ ЧАСТИ МАЛОГО ҚАВКАЗА

(Представлено академиком АН Азербайджанской ССР М. А. Кашикаевым)

Пренит относится в числе минералов, имеющих довольно широкое распространение в различных типах изверженных горных пород. В генетической связи с различными породами пренит детально описан М. А. Кашикаев [5], М. Н. Шкабара [10], В. Я. Клименко и В. И. Лебединским [6], Г. В. Гвахария [3], А. С. Поваренных [9], К. Д. Уотсоном [11], В. А. Галюк [2], Е. И. Лавренко [7] и другими с точки зрения их генезиса с конкретной характеристикой самого минерала на основе оптических, термических и химических данных.

Нами исследованы проявления пренита из ультраосновных и основных пород офиолитовой формации Малого Кавказа. На основании проведенных работ за последние годы, можно говорить о широком процессе пренитизации в этой полосе. Несмотря на это, до настоящего времени данный минерал не являлся объектом специальных исследований и детальное описание его дается впервые.

Пренит находится в тесной генетической связи с ультраосновными и основными породами. По условиям образования и морфологии мы выделяем две генерации пренита:

- 1) как замещающий плагиоклазы и
- 2) в виде индивидуальных выделений.

Пренит первой генерации широко распространен в пироксен-роговообманковых и роговообманковых габбро-, а также в габбро-пегматитах, где он замещает плагиоклазы основного состава (рис. 1). Пренитизация, по-видимому, может охватывать все разновидности плагиоклазов, начиная от основных и кончая наиболее кислыми. Пример замещения альбитовой жилы пренитом детально описан К. Д. Уотсоном [11]. Пренит второй генерации кроме основных пород имеет также широкое распространение в ультраосновных породах и ассоциирует с кварцем, карбонатами, цеолитами. Он встречен в бассейне реки Тутхун Кельбаджарского района (М. А. Кашикай, А. И. Мамедов и др., 1962). Представлен в виде выделений из гидротермальных растворов в пустотах и трещинах с образованием минидалин до 2–3 см и жил до 2,8–3,0 м при наибольшей мощности 5–6 см. В пустотах пренит часто образует радиально-лучистые агрегаты

небольших размеров (0,5–1 см). Одна из таких пустот была обнаружена на зальбанде зональной габбро-пегматитовой жилы, на стыке зон плагиоклаза и кварца. Жильный пренит нередко проявляется в сплошных субмикроскопических агрегатах.

Пренит очень плотный. Тв. 6–6,5. Уд. вес — 2,89. Окраска преимущественно белая. Встречаются зеленовато-розово-белые разности. Зачастую изменение цвета отмечается в пределах одного образца. По А. Н. Винчелл и Г. Винчелл [1] различие цветов пренита может зависеть от микровключенияй таких минералов, как хлорит, лимонит, асбест и проч. Под микроскопом пренит бесцветный, с высоким рельефом. Часто образует радиально-лучистые выделения или удлиненные таблицы и призмы с ясной спайностью по (001). Для него весьма

характерна неоднородность угасания, в связи с чем он принимает паркетовидный облик. Оптически двусочный, отрицательный. В таблитчатых разностях удлинение отрицательное, в призматических — положительное. Интерференционная окраска большей частью желтая, первоначальная. Нередко кристаллы пренита дают аномальные интерференционные цвета с сильной дисперсией оптических осей.

Данные оптических констант пренитов из различных пунктов Малого Кавказа сведены в табл. 1.

Оптические константы пренитов

№	Место взятия	Показатели светопреломления				2 V (в град.)
		N_g	N_m	N_p	$N_g - N_p$	
602	Гора Коджадаг (Шахдагский хр.)	1,639	1,625	1,614	0,025	69
296	Окрест. сел. Сейдляр (Кельбаджарск. ра-и)	1,636	1,622	1,613	0,023	66
553	Истоки реки Магучай (Шахдагский хр.)	1,636	1,624	1,614	0,022	60

Прениты (обр. 602 и 296) были исследованы рентгенометрически, термически и химически.*

* Все анализы выполнены в лаборатории металлогении, минералогии и геохимии Института геологии АН Азербайджанской ССР.

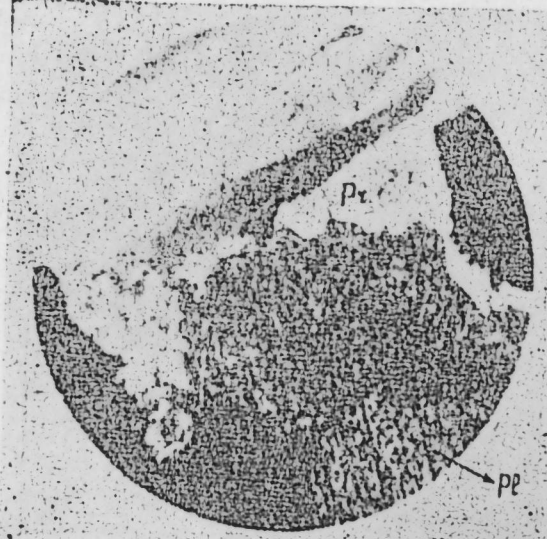


Рис. 1
Замещение плагиоклаза пренитом:
Pl—плагиоклаз; Pf—пренит.

Расчеты дебаеграмм приведены в табл. 2, где для сравнения дается расчет дебаеграммы пренита из Олд-Килпатрик (Думбартоншир), заимствованный из справочника В. И. Михеева [8].

Таблица 2

Расчет дебаеграмм пренитов

№ п. п.	Условия съемки: Fe—излучение, 30 кв., 10 мА, экспозиция 24 ч.				Пренит из Олд-Килпатрик (Думбартоншир) (По В. И. Михееву)	
	Обр. 602. Гор. Коджадаг (Шахдагск. хр.)		Обр. 296. Окрест. сел. Сейдляр (Кельбадж. ра-и)			
	J	d a/n	J	d a/n	J	d a/n
1	—	—	2	5,78	2	5,77
2	—	—	—	—	5	5,26
3	—	—	6	4,14	5	4,62
4	—	—	—	—	2	4,17
5	—	—	—	—	5	3,86
6	8	3,46	8	3,46	10	3,49
7	8	3,26	7	3,25	10	3,28
8	10	3,06	4	3,05	10	3,05
9	—	—	7	2,77	7	2,81
10	10	2,54	—	—	10	2,54
11	8	2,34	5	2,36	7	2,33
12	6	2,30	—	—	2	2,21
13	—	—	6	2,218	2	2,13
14	4	2,03	6	2,151	5	2,05
15	7	1,926	5	1,194	6	1,928
16	—	—	6	1,849	5	1,840
17	7	1,756	—	—	7	1,764
18	5	1,700	4	1,719	5	1,698
19	5	1,653	4	1,634	5	1,648
21	4	1,592	—	—	—	—
22	—	—	2	1,452	2	1,441
23	2	1,441	3	1,409	5	1,401
24	5	1,398	6	1,385	5	1,373
25	5	1,361	3	1,356	2	1,341
27	—	—	2	1,319	2	1,311
28	2	1,283	3	1,283	5	1,282
29	2	1,198	2	1,203	2	1,198
30	5	1,170	—	—	5	1,179
31	5	1,154	3	1,154	5	1,158
32	5	1,137	—	—	2	1,141
33	—	—	—	—	2	1,121
34	2	1,082	—	—	2	1,096

Кривые нагревания пренита, выполненные сотрудником Лаборатории И. А. Бабаевым, приводятся ниже (рис. 2).

На этих кривых отчетливо выражены по одному эндотермическому и одному экзотермическому эффекту. Эндотермический эффект при температурах 850 и 875° соответствует дегидратации минерала, а экзотермический эффект при температурах 930 и 1010° — его спеканию. Эти данные вполне соответствуют кривым нагревания, приводимым для пренита В. П. Ивановой [4].

Для химического анализа были выделены наиболее чистые кусочки пренита, тщательно отобранные под бинокулярной лупой. Химики пренита, приводимые

химические анализы их даны в табл. 3, где для сравнения приводятся также анализы пренитов из габбро-тешенитов Горного Талыша Азербайджанской ССР (М. А. Кашкай [5]) и Крымских изверженных пород (М. Н. Шкабара [10]), с которыми наши прениты обнаруживают большое сходство.

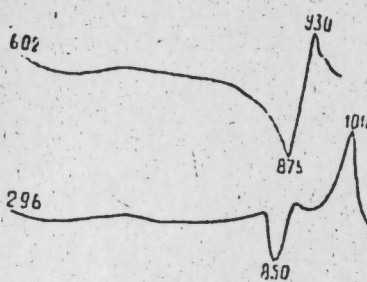
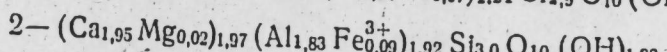
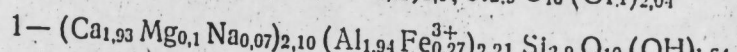
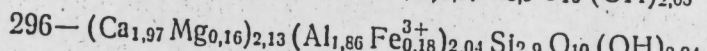
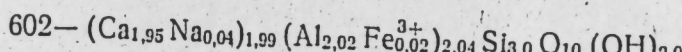


Рис. 2
Кривые нагревания пренитов

Таблица 3
Химические анализы пренитов

комп.	№	602	296	1	2
SiO ₂	43,38	41,65	41,97	43,81	
TiO ₂	—	—	0,80	—	
Al ₂ O ₃	25,20	22,68	23,90	22,65	
Fe ₂ O ₃	0,27	3,54	2,26	1,73	
FeO	0,26	—	—	0,18	
CaO	26,70	26,10	26,03	27,43	
MgO	—	1,54	1,00	0,21	
Na ₂ O	0,36	—	0,45	сл.	
K ₂ O	—	—	0,11	—	
H ₂ O—	—	0,29	—	—	
H ₂ O+	4,08	4,10	3,55	4,90	
П.п.п.	0,43	—	—	—	
Сумма	100,68	100,20	100,07	100,91	

Пересчеты этих анализов на кристаллохимические формулы дали следующее:



Из химических анализов и их пересчетов видно, что прениты из ультраосновных и основных пород олиолитовой формации Малого Кавказа очень близки к теоретическому составу и отвечают формуле $\text{Ca}_2 \text{Al}_2 \text{Si}_3 \text{O}_{10} (\text{OH})_2$.

Судя по парагенезису пренит в ультраосновных и основных породах начинает, по-видимому, выделяться в среднетемпературную стадию и последовательно продолжает обособляться вплоть до температур земной поверхности.

ЛИТЕРАТУРА

1. Винчелл А. Н., Винчелл Г. Оптическая минералогия. ИИЛ, 1953.
2. Галюк В. А. Пренит из Эмельджанского флогопитового месторождения (Южная Якутия). Труды Моск. Геол.-развед. ин-та, 29, 1956.
3. Гвахария Г. В. Цеолиты Грузии. Изд. АН Груз. ССР, 1952.
4. Иванова В. П. Термограммы минералов. Зап. ВМО, ч. 90, серия 2, 1961.
5. Кашкай М. А. Основные и ультраосновные породы Азербайджана. Изд. АН Азерб. ССР, 1947.
6. Клименко В. Я., Лебединский В. И. Пренит в диабазах Днепровско-Донецкой впадины. Изд. Львовск геол. общ-ва, № 4, 1950.
7. Лавренко Е. И. Пренитсодержащие породы на Алданском щите. "Геология и геофизика", 1960, № 4.
8. Михеев В. И. Рентгенометрический определитель минералов. Гос. научн. техн. изд. литерат. по геологии и охране недр. М., 1957.
9. Поваренных А. С. О пренитгранатовом скарне из Чаткальского района Зап. ВМО, ч. 81, вып. 1, 1952.
10. Шкабара М. Н. Пренит из Крымских изверженных пород. "ДАН СССР", 1949, т. 68, № 6.
11. Watson K. D. Prehnitisation of albite. Amer. Mineralogist 38, № 34, 1953.

Поступило 10. I 1963

Институт геологии

Р. Г. Йасенов, Ш. И. Аллахвердиев

Кичик Гафгазыны Азэрбајҹан һиссәсинин ултраэсасы вә әсаси сүхурларындакы пренит нағында

ХУЛАСЭ

Сон заманларадәк апарылан елми-тәдгигат ишләри көстәрмишdir, Кичик Гафгаз олиолит формасијасының әсаси вә ултраэсаси сүхурларында пренитләшмә просеси кениш jaýымышдыр. Буна бахмајараг пренит индијә кими хүсуси олараг тәдгиг едилмәмишdir. Мәгалдә пренитни илк дәфә олараг бир минерал кими тәсвири верилир. Тәдгигатлар көстәрмишdir ки, пренит әсаси вә ултраэсаси сүхурларласых кенетик әлагәдә олуб, әмәләкәлмә шәрәнтинә вә морфологијасына көрә ики мәрһәләјә белүнүр: 1) плакоклазлары әвәз едир; 2) фәрди јығымлар тәшкил едир.

Пренит адәтән һидротермал мәһиуллардан чөкәрәк, бошлугларда вә ҹатларда бадамвары агрегатлар (2–3 см) вә дамарчылар (3 см) әмәлә кәтирир. Бә’зән бошлугларда пренитни кичик һәчмли (0,5–1 см) радиал-шуван агрегатларына да раст кәлинир. Сәртлиji 6–6,5, хүсуси чәкиси 2,89. Рәнки ағ, бә’зи налларда исә յашылымтыл вә чәирајылдырылган.

Пренитин оптика, кимјәви, рентгенометрик вә термик анализләри көстәрир ки, онун тәркиби нәзәри тәркибә чох җаҳындыр вә ашағыда формулаја мұвағиғидir: $\text{Ca}_2 \text{Al}_2 \text{Si}_3 \text{O}_{10} (\text{OH})_2$.

Пренитин паракенезисинә көрә демәк олар ки, о әсаси вә ултраэсаси сүхурларда орта температур мәрһәләсисидән башлајараг, яер сәтни температурона җаҳын шәрәнте гәдәр ардычыл олараг әмәлә кәлир..

ПОЧВОВЕДЕНИЕ

Г. А. АЛИЕВ, И. Н. СТЕПАНОВ

НЕКОТОРЫЕ ЧЕРТЫ И СХОДСТВА КОРИЧНЕВЫХ ЛЕСНЫХ
ПОЧВ В ЦЕНТРЕ КАРАБАХСКОЙ СТЕПИ

Почвы, формирующиеся под кронами фисташково-дубового редколесья в центре Карабахской степи, на древнем конусе Хачинчая, впервые (1953 г.) В. Р. Волобуев выделил как самостоятельный тип „светло-коричневых почв“. Хоть он и не согласен с некоторыми толкованиями А. А. Гроссгейма о связи аридного редколесья с низинными и тугайными лесами, но тем не менее, анализируя материалы трех разрезов (под фисташкой, дубом и полынной полупустыней) Султанбудской лесной дачи и сопоставляя их геоботанический характер, сделал вывод, что, несмотря на их близость к полупустынным сероземам, все же в них имеются черты лесного типа. Он их отличал от почв низинных лесов. Л. И. Прилипко также при выделении растительного ландшафта разделил на самостоятельные типы нагорные степи, оstepненные и аридные редколесья и низинные леса.

Следует отметить, что растительность может быстро подвергаться изменению от воздействия человека, а почвенный покров — наиболее достоверный признак для характеристики ландшафта, длительный период сохраняется в начальной стадии своего развития, если даже изменяются верхние слои.

В связи с этим, при исследовании почвы мы обратили внимание на некоторые черты сходства и генезиса коричнево-лесных почв Султанбудского массива с почвами низинных лесов Лемберанского, и тугайных лесов Прикуринской полосы.

Заложенные почвенные разрезы на Лемберанском массиве по своим морфологическим признакам и химическому составу ясно подтверждают их принадлежность к единому комплексному типу коричневых лесных почв. Как видно из ландшафтного профиля, в этом районе существует своего рода вертикальная зональность от верхней части конуса выноса до Куринской полосы. В верхней части Хачинчайского конуса распространены светло-коричневые почвы аридного редколесья, в средней части конуса Лемберанского массива — коричневые лесные почвы с сероватым оттенком, в комплексе с сазово-луговыми (вероятно, лугово-коричневые почвы). Последние, несомненно, образовались в результате деятельности русловых вод, просачивающихся в грунт древнего конуса. Что касается почв пойменных или тугайных

ЛЕСОВОДСТВО

И. С. САФАРОВ

ЦЕННЫЕ И БЫСТРОРАСТУЩИЕ ПОРОДЫ В ЛЕСНЫЕ
КУЛЬТУРЫ

(Представлено академиком АН Азербайджанской ССР Д. М. Гусейновым)

Лесокультурные работы в Азербайджане за последние 10—15 лет, в связи с началом степного защитного лесоразведения, принимают широкий размах. Лесоразведение проводится как в горных и предгорных районах, так и на обширных просторах Кура-Араксинской низменности. В Кура-Араксинской низменности, где до 1945 г. почти не проводились лесокультурные работы, в настоящее время имеется около 7000 га лесных культур. В значительных масштабах лесовосстановительные работы в противоэрзационных целях проводятся в районах Большого и Малого Кавказа и Талыша.

Ниже приводятся данные о площади и породном составе лесокультур (по главнейшим породам), заложенных за период 1957—1960 гг. в Азербайджанской ССР.

Таблица 1

Год	Общая площадь, га	В том числе по породам					Примечание
		дуб	орех	акация белая	сосна	ясень	
1957	2310,7	612,23 228	355,37	105,61	16,98	924,57	В числителе общая площадь культуры дуба, в знаменателе площадь каштанолистного дуба
1958	3029,47	958,1 168	202,62	60	58,94	409,6	
1959	2058,65	556,15 228	265,98	160,15	21,3	452,2	
1960	2288,75	985,2 460	238,15	144,2	46,81	517,5	

Как видно из таблицы, хвойные породы (в частности сосна) занимают совершенно незначительную площадь лесных культур республики. Ценные породы, как платан пальчатолистный, клен величественный, железное дерево, хурма кавказская, дзелька и другие почти выпали

из ассортимента пород. Что же касается каштанолистного дуба, то он в основном культивируется в Талыше. Между тем, указанные и другие ценные породы, которыми богаты леса Азербайджана, заслуживают быть включенными в ассортимент лесокультур для широкого разведения.

Наши многочисленные опыты по культуре ценных реликтовых пород в различных экологических условиях показали, что многие из них в культуре дают прекрасные результаты. Приведем некоторые итоги более чем 10-летних опытов по культуре реликтов в различных районах Азербайджана.

Железное дерево

Известно, что в естественном виде железное дерево растет только в лесах Талыша и граничащих с ним районах северного Ирана. Культура железного дерева в опытных целях нами впервые была произведена в 1949—1955 гг. в следующих пунктах — в Прикуринской полосе (Карайское и Шамхорское лесничество), в местности Кабахчель (левый берег Алазани, Белоканского лесхоза), на участках Перзиван и Камарбина (Закатальского района), на территории Кусарчайской и Шемахинской опытных станций и на Апшероне. Во всех пунктах культура железного дерева (за исключением Шемахинского района) дала весьма положительные результаты; приживаемость посадок составляет 95—100%. Наиболее успешно растет железное дерево на аллювиальных почвах с легким механическим составом, образованных речными наносами. Здесь ежегодный прирост составляет 1—1,5 м, особенно интенсивно растет железное дерево в поймах рек Куры, где за 10—15 лет деревья достигают 10—15 м высоты, причем в благоприятных условиях железное дерево ежегодно дает 2—3 прироста. Как весьма ценная и редкая порода, железное дерево необходимо ввести в культуру в низменных и предгорных районах, в частности при реконструкции малоценных лесов вдоль Куры, Алазани, Аракса. Тугайные леса вдоль указанных рек состоят из перестойных и фаутных тополей и других менее ценных пород. Между тем, железное дерево, платан пальчатолистный, дуб каштанолистный и другие ценные породы широко могут быть внедрены при реконструкции этих лесов. Культура железного дерева должна занимать должное место в районе Большого и Малого Кавказа (до 500—600 м над ур. моря), в Кура-Араксинской и Куба-Хачмасской низменностях. Причиной столь незначительного культивирования железного дерева до сих пор было отсутствие опытов, недостаточная изученность биологии и экологии его. В настоящее время накопился достаточный опыт по культуре железного дерева в различных почвенно-климатических условиях, изучена биология, экология и способы культуры его.

Дуб каштанолистный

Из 17 видов дубов, распространенных на Кавказе, каштанолистный является одним из самых ценных. Этот дуб также сохранился в Иране и Талыше как реликт третичного периода, где является эдификатором в ряде типов леса. Дубравы из каштанолистного дуба отличаются высокой производительностью — деревья достигают 40—45 м высоты, 1—1,5 м в диаметре. Ввиду этого запас деловой древесины на гектаре в чистых насаждениях каштанолистного дуба в 2—3 выше, чем у дубрав из грузинского и других видов дубов. Несмотря на эти достоинства культуре каштанолистного дуба до сих пор не уделялось достаточ-

ного внимания. В 1948 г., когда в степных районах Азербайджана началось массовое лесоразведение, мы произвели посевы желудей каштанолистного дуба в Мильской степи, где сейчас имеется культура высотой 10—15 м. В 1950 г. каштанолистный дуб высевался в качестве

Таблица 2
Ритм роста 5-летней культуры дуба каштанолистного

Районы	Прирост, см			
	I	II	III	Общий
Муганская степь (Джафархан)	23—27	33—38	—	56—65
	34—40	40—50	—	74—90
	37—43	38—61	—	75—104
	36—45	22—38	40—55	98—138
Предгорье Б. Кавказа	38—40	33—70	52—73	123—183
Куба-Хачмасская низменность (Кусарчай)	63—100	73—80	—	136—180
	47—80	30—60	—	77—140

главной породы на гослесополосах в Талыше: Хиллы — Астраханбазарской, Масаллы — Едиоймакской и Ленкоранской, где деревья достигают высоты 8—10 м и оказывают защитное действие прилегающим полям. Кроме того, на отдельных участках культура каштанолистного дуба имеется в Кубинском и Яланминском лесхозах. Весьма ценным в хозяйственном и интересным в биологическом отношении является особенность роста и развития каштанолистного дуба. В лучших экологических условиях дуб этот характеризуется многократностью прироста, что видно из следующих данных.

Из табл. 2 видно, что дуб каштанолистный за год дает 2—3 прироста, составляющих от 74 до 183 см. Следует отметить, что такой прирост наблюдается до 10—15-летнего возраста, когда культура уже достигает 10—15 и более м высоты, а к 20-летнему периоду наступает возраст спелости. Таким образом, при большой ценности древесины дуб этот является очень быстрорастущей породой (рис. 1).

Весьма ценными и быстрорастущими являются также клен величественный, платан пальчатолистный, хурма кавказская, дзельква и другие, которые, к сожалению, еще не заняли должного места в культуре. Наши опыты показали, что в орошаемых условиях эти породы за год дают 1—1,5 м прироста. Нам кажется, при создании культур в районах Кура-Араксинской низменности, наряду с каштанолистным

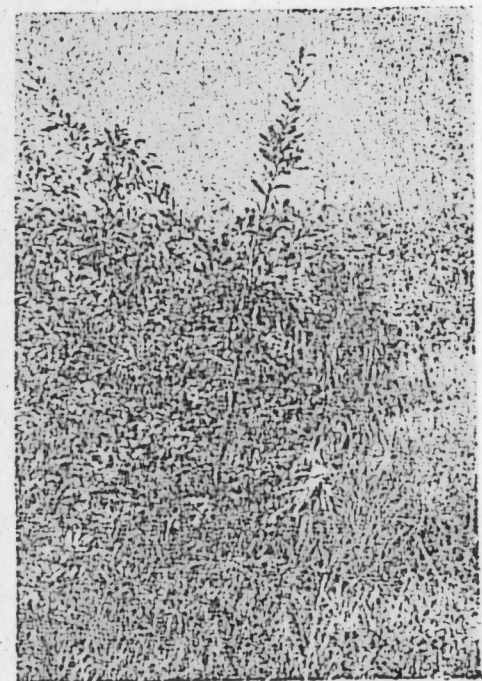


Рис. 1

пубом и железняком, особое внимание должно быть уделено культуре платана, клена величественного, хурмы кавказской, дзельквы и других ценных и быстрорастущих пород. При обсадке магистральных каналов предпочтение следует отдавать платану пальчатолистному, клену величественному, дающим прекрасный эффект в таких посадках.

Культура хвойных пород

Известно, что в лесах Азербайджана хвойные (сосна) почти отсутствуют, за исключением рощи эльдарской сосны на хребте Элляр оуги, площадью около 100 га и небольших насаждений крючковатой сосны

Таблица 3
Прирост эльдарской сосны в зависимости от средней годовой температуры

Районы	(возраст культуры 5–6 лет)		
	Средняя годовая температура	Количество прироста	Общий прирост за год, см
Муганская степь (Джафархан)	14,6°	4–6	80–180
Карабахская степь	13,9°	4–5	80–150
Предгорье Б. Кавказа (Закаталы)	12,5°	3–4	67–135
Шемаха	11,2°	2–3	22–38
Куба	9,8°	1	14–15

в районе высокогорного озера Гек-гель и др. В Азербайджане сейчас культивируются следующие сосны: эльдарская, алепская, крымская и др. Сосны культивируются главным образом в зеленом строительстве. При создании же лесных массивов, гослесополос—хвойные породы культивируются совершенно незначительно. Одной из причин является отсутствие питомников по выращиванию посадочного материала. Между тем, культура сосны имеет большую перспективу в Азербайджане. Наиболее перспективной для районов сухих субтропиков является сосна эльдарская, которая очень засухоустойчива, солевынослива и быстрорастущая. Она предпочитает хорошо прогреваемые почвы легкого механического состава с высокой водопроницаемостью, не переносит тяжелые почвы с недостаточной дренированием. Эльдарская сосна очень отзывчива также на удобрение, при внесении органоминеральной смеси прирост по сравне-



Рис. 2

нию с контролем превышает на 30 см. Главным фактором, ограничивающим распространение этой сосны, как показали наши наблюдения, является гидротермический режим. Сосна эта не переносит избыточного увлажнения почвы и вымакания корневой системы. Исключительно отзывчива на термический режим, что видно из следующей таблицы.

В горных районах, где среднегодовая температура бывает ниже 10°, следует широко разводить следующие сосны: обыкновенную, крымскую и другие (рис. 2). Как известует из вышеизложенного, ряд ценных в хозяйственном отношении быстрорастущих пород, заслуживающих широкого внедрения в культуру, в соответствующих природных условиях пока еще недостаточно культивируются. Следует наверстать упущенное и взамен малоценных пород широко культивировать ценные породы, создав необходимую базу выращивания посадочного материала.

На наш взгляд, основными породами при создании лесных массивов, а также защитных насаждений—государственных и колхозно-совхозных лесных полос, противоэрозионных посадок, должны быть дуб каштанолистный, железное дерево, платан, сосна эльдарская и другие породы, указанные выше.

Институт ботаники

Поступило 23. XI 1962

И. С. Сәфәров

Мешэ культурасына дәјәрли вә тез бөйүән чинсләр даҳил едилмәли

ХУЛАСӘ

1945-чи илдән башлајараг Азәрбајҹаны мешәсиз вә дүзән районларында кениш мигјасда мешэ массивләrinин јарадылmasы ишләrinе башланымышыр.

Мешэ инкишафының биринчи ишләриндә дүзән районларда әкиләчәк ағачларының чинсли мүәјҗән етмәк мәсәләсинә лазыны фикир верилмәмишdir. Бунун нәтиҗәси олараг бә'зи һалларда мешэ салынаркән мелија, сифора вә бүнлар кими башга тәсадуғи аз өмүр сүрән чинсләр әкилмишdir. Дүзән вә дағатеји районларында узун өмүр сүрән вә гијметли чинсләр үзәриндә апарылыш чох кениш тәчрүбә көстәрир ки, дәмирагачы, шабалыдјарпаглы палыд, Елдар шамы, Гафгаз хурмасы, чинар, мәхмәри ағчагајын вә башгалары суварылан вә киғајэт гәдәр нәмлиji олан дәмҗә районларында мувәффәгијәтлә битир вә артыр. Күр боју тугај мешәләри йенидән салыныркән 1949-чу илдә орада әкидүмиз дәмирагачларының боју 12–13 метрә, иллик артымы исә 1–1,2 метрә чатыр.

Дүзән (Муган, Мил) вә дағатеји (Загатала) районларында Елдар шамы вә шабалыдјарпаглы палыдын иллик артымы 1–1,8 метрә чатыр. Бү чинсләрни бу чүр артымы 10–12 яшиа гәдәр олур; бу вахт култура 12–15 метр һүндүрлүкдә олуб, мудафиә вәзиғесини ифа едир.

Сон илләрдә (1957–1960) республикада 7000 ha саһәдә мешэ салынымасына баҳмајараг, гијметли чинсләр аз әкилмишdir. Мәсәлән, һәмин мүддәтдә Елдар шамы һәр ил 17–60 ha, дәмирагачы исә ондан да аз әкилмишdir.

Мәгаләдә эксперимент нәтиҗәсинде алымыш мә'лумата эсасын мешэ салыначаг районларда әкин материаллары һазырламаг үчүн шитиллик тәшкүл етмәк, гијметли вә тез бөйүән чинсләрин әкин саһәсини артыраг үчүн мәсләнәтләр верилир.

БИТКИЛӘРИН БИОМОРФОЛОГИЯСЫ

Ә. Г. МӘММӘДОВ

АЗӘРБАЙЧАН ӘРАЗИСИНДӘ ІАҦЫЛМЫШ БӘ'ЗИ AEGILOPS L.
НӨВЛӘРИНИН БИОМОРФОЛОЖИ ХҮСУСИЙӘТЛӘРИ

(Азәрбајҹан ССР ЕА академики И. Д. Мустафајев тәгдим етмишdir)

Республикамызын әразисинде йетишэн дәнили биткиләрини флора зәнкүнлијини дәгиг өјәнмәк үчүн Азәрбајҹан ССР Елмләр Академијасынын Кенетика вә Селексија Институту тәрәфииндән тәшкил едилмиш 1960—1962-чи илләрдә апарылан експедиција заманы академик И. Д. Мустафајевин рәһібәрлији алтында *Aegilops L.* чинсинин 12 нөвүнә тәсадүф едилмишdir.

Експедиција заманы топланан екилопслардан—*Ae.ovata L.*, *Ae.triaristata Willd.*, *Ae.biuncialis Vis.*, *Ae.triuncialis L.*, *Ae.crassa Boiss.*, *Ae.cylindrica Host.*, *Ae.comosa Sibth. et Sm.*, *Ae.columnaris Jhuk.*, *Ae.squarrosa L.*, *Ae.caudata L.*, *Ae.ventricosa Tausch* вә *Ae.umbellulata Jhuk.* көстәрмәк олар.

Азәрбајҹан ССР Елмләр Академијасы В. Л. Комаров адына Нәбатат Институтунуң алимләриндән И. И. Карјакин республика әразисинде екилопслардан—*Ae.cylindrica Host.*, *Ae.squarrosa L.*, *Ae.triuncialis L.*, *Al.Kotschyi Boiss.*, *Ae.biuncialis Vis.*, *Al.triaristata Willd.* вә *Ae.umbellulata Jhuk.* нөвләринин язылмасыны (Азәрбајҹан флорасы, I чилд, сәх. 234—239. 1950-чи ил) көстәрмишdir.

Експедиција заманы топланмыш *Aegilops L.* нөвләри Гарабаг елми тәчрүбә базасында 1960—1961-чи илләрин пајызында әкилмиш вә үзәрләриндә лазым мүшәнидәләр апарылмышды.

Ашағыда бир нечә екилопс* нөвләринин биоморфологи хүсусијәтләри верилди.

Овата (*Ae. ovata L.*)

Бириллик пајызлыг биткидир. Биткинин эксэр көвдәләри дирсәкләниб галхан вә көвдәнин ашагы ниссәси чох йарпаглы олур. Йарпаглар хәтвары, эксэр һалларда түкүлү вә надир һалларда исә чылпаг олур. Сүнбүлү гыса: 2—5 сүнбүлчүклүдүр. Белә ки, эн ашагы сүнбүлчүкләр яхшы инкишаф етмиш дәнили вә јухарыкы сүнбүлчүкләр исә дәнсиз олур. Дәнили сүнбүлчүкләрин ашагы ниссәсинде олан 1—2

* Екилопс—азәрбајҹанча бугдаоту демәкдир.

рудиментал сүнбұлчұк, сүнбұл јетишән вахты гырылыб дұшдұқдә, көвдә үзәринде ғалыр.

Сүнбұл оху иланвары вә охун үзвләри пазвары, ичәријә дөгру әжилмеш олур. Ашағы сүнбұлчұклар 3—4 чичәкли, јухары сүнбұлчұк-ләр исә 2 чичәклидер. Бүтүн сүнбұлчұклар гылчыглыдыр, һәтта рудиментал сүнбұлчұкларда гылчығын олмасы зәиғи инкишаф етмиш формада мұшаһидә едилір. Сүнбұлчұк пулчуглары 6—9 дамарлыдыр. Пулчугуң узунлуғы 6—8 мм, ени 5—6 мм-дир. Мұхтәлиф пулчугларда гылчыглар 4—5, бә'зән исә бир гылчыг дикерләриндән узун, жаҳуд гылчығ чыхынтысы формасында мұшаһидә едилір (1-чи шәкил).

Гылчыглар адәтән енсиз олуб, соҳ жумшагдыр, гылчыглар бир-бириндән аз аралы, жаҳуд да үтәрәфдән бир-биринә жаҳынлашмыш олур. Бу нишанә гылчыгларын кобуд, жаҳуд жумшаг олмасыны көстәрир. Кобуд гылчыгларда адәтән, гылчыглар бир-бириндән араламыш, жумшаг гылчыглар исә бир-биринә паралел олур. Гылчыглар һәмишә ачыг бәнөвшәжи рәнкдә олур.

Јухарыда јерләшән дәнсиз сүнбұлчұкларда гылчыглар ашағыда јерләшән сүнбұлчұкларда гылчыгларни нисбәтән соҳ олуб 3—5-ә чатыр, гылчыгларын узунлуғы 13—27 мм-дир.

Дән чичәк көнәнине битишмәмиш олур вә чәтин дөјүләндир. Бу ахырынчы нишанә дайми олараг жаҳшы мұшаһидә едилір.

Дән узунсов, жумшаг буғда дәни формасында, гырмымыз, бә'зән азачыг бәнөвшәжи рәнкдә олур.

Битки тоз сүрмә вә пас хәстәлікларинә давамлы, унлу шең хәстәлигине исә 100 % тутуландыр. Векетасија мұддәти 238 күндүр.

Азәрбајчанда Исмаїллы, Һадруд, Ағсу вә Степанакерт рајонларында жајылмышдыр.

Триаристата (*Ae. triaristata* Willd.).

Бириллик биткидир. Биткинин һүндүрлүгү 30—40 см, көвдәләри исә әксерән дирсәквары олур. Ярпаг гыны биткинин ашағы һиссәсінде түклендүр. Сүнбұллар 3—4 сүнбұлчұклар олуб, јетишдикдә инкишаф етмиш сүнбұлчұклар олар һиссәдән гырылыб јерә дүшүр, 2—3 рудиментал сүнбұлчұклар исә көвдә үзәринде ғалыр. Сүнбұлчұклар һәмишә түклю, түкләрин әксеријәти бозармыш, жумшаг олур. (2-чи шәкил). Сүнбұлчұк пулчугуның түксүз формасына соҳ аз раст қелинир. Сүнбұлчұк пулчугу узунсовеллипс шәкилли, 8—10 мм узунлуғунда вә 5—7 мм еннедәдир. Пулчуг һалгавары, 7—9 дамарлыдыр. Дамарлар габарыг сәтілди.

Гылчыгларын сајы ашағы сүнбұлчұк пулчугуның іәр икі тәрәфинде ejни дејилдир. Сүнбұлчұк пулчугуның бири 3, о бири исә 2 гылчыглардыр. (3-чү шәкил).

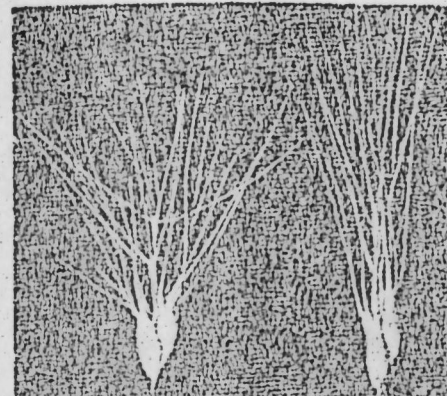
Түклю пулчугларының гылчыглары жумшаг вә түксүз пулчугларының гылчыглары кобуд жасты, ортадан енләшмиш олур. Пулчугларды дамарлары гылчыға гәдәр узаныр вә гылчыгларын узунлуғы 50—70 мм-дир. Гылчыглар дишварыдыр. Ашағы чичәк пулчугу узунсов—овал шәкилли вә 5 дамарлыдыр.

Сүнбұлун јухары һиссәсіндә олар дәнсиз сүнбұлчұкларин узунлуғу 3—5 мм вә бә'зән исә 6—7 мм-ә чатыр.

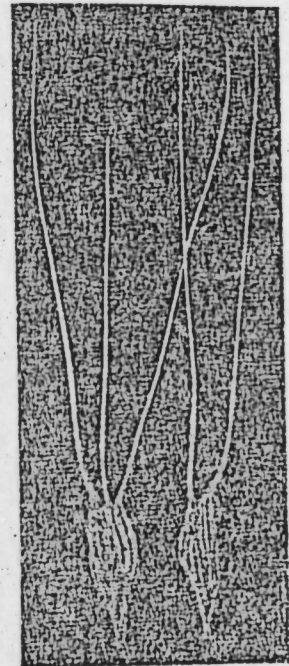
Дәнләр чичәк көнәнине յапышмыр. Бу сәбәбдән дә сүнбұлчұклар асанды дөйүлүр.

Сары пас хәстәлигине орта дәрәчәдә вә аз мигдарда тоз сүрмә хәстәлигине тутуландыр. Биткинин векетасија мұддәти 224 күндүр.

Азәрбајчан әразисіндә Ағсу, Шамахы, Нахчыван, Һадруд вә Нуха рајонларында жајылмышдыр.



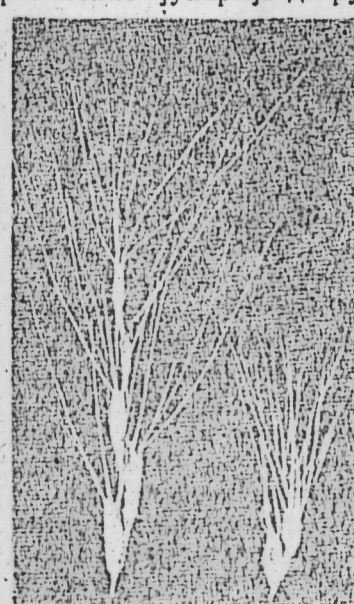
1-чи шәкил
Ae. ovata L.



3-чү шәкил
Ae. triaristata Willd.

Триунсиалис (*Ae. triuncialis* L.)

Чоҳ колланан, стадијанын илк дөврүндә јерә сәрилән, соңрадан дирсәкленниб јухарыда дөгру инкишаф еден, бириллик, жазлыг вә гышлыг формасынадыр. Ярпаглар хәттары, түклю вә ышаллаг олур. Ашағы ярпагларының вә гулагчыглары әләлхүсус соҳ түклендүр. Сүнбұл узунсов, бир нечә формалары исә гыса сүнбұллұ, 4—7 сүнбұлчұклар олар ғылчыглар соҳ жумшаг, жаҳуд да зәиғ вә паралел, јетишән заман кобудлашын, кәнарлара сәпәләнәндир. Сүнбұллар олар 2—3 рудиментал сүнбұлчұк јетишдикдән соңра көвдәнин үзәринде ғалыр вә сүнбұлун дикер һиссәләри исә гырылыб төкүлүр (4-чү шәкил).



4-чү шәкил
Ae. triuncialis L.

2. Апардығымыз тәдгитатлар көстәрир ки, екилопс нөвләриндән вентрикоза, Каудата, Красса, цилиндрика 100 % сары пас хәстәлигинә тутулдуғу налда, башга хәстәликләре давамлысыр.

3. Сары пас хәстәлигинә триунициалис, биунциалис вә триаристата орта дәрәчәдә тутулур (триаристата аз мигдарда тоз сүрмә хәстәлигинә тутуландыр).

4. Екилопс овата пас хәстәликләренә давамлы олдуғуна бихмајараг, унлу шең хәстәлигинә 100 % тутуландыр.

5. Екилопс умбеллулата Азәрбајҹан әразисинде јајылан екилопс нөвләринин һамысындан кеч Іетишмәсінә баҳмајараг, бүтүн хәстәликләре давамлысыр. Она көрә дә умбеллулата нөвү һибридләшмә ишиндә ән жағы материал һесаб олунға биләр.

Кенетика вә селексија институту.

Алымышдыр 18. I 1963

А. Г. Мамедов

Некоторые биологические и морфологические особенности эгилопсов (*Aegilops L.*), распространенных в Азербайджане

РЕЗЮМЕ

Для изучения ботанического состава злаковых культур Азербайджана в 1960—1962 гг. Институтом генетики и селекции АН Азербайджанской ССР была организована экспедиция под руководством акад. И. Д. Мустафаева. В результате обследования было установлено, что из 20 видов эгилопсов, известных в мире, в Азербайджане распространено 12: *Ae. ovata* L., *Ae. triaristata* Willd., *Ae. biuncialis* Vis., *Ae. triuncialis* L., *Ae. crassa* Bolss., *Ae. cylindrica* Host., *Ae. compacta* sibth. et Sm., *Ae. columnaris* Jhuk., *Ae. Squarrosa* L., *Ae. caitula*, *Ae. ventricosa* Tausch и *Ae. umbellulata* Jhuk.

Собранный материал в 1960—1961 гг. был высеян на Карабахской научно-экспериментальной базе. За посевами в течение вегетационного периода проводились фенологические наблюдения, отмечались основные фазы развития: всходы, кущение, выход в трубку, колошение, молочная, восковая и полная спелость.

На основании проведенных нами наблюдений можно сделать следующие выводы.

1. Среди испытываемых видов самый короткий вегетационный период оказался у эгилопса триаристата—229 дней, позднеспелостью отличался эгилопс овата—238 и умбеллулата—240 дней.

2. Эгилопсы вентрикова, каудата, красса и цилиндрика поражаются желтой ржавчиной—100 %.

3. Эгилопс овата оказался сравнительно иммунным видом, отмечалось поражение муцинстой росой.

У видов эгилопсов триунициалис, биунициалис и триаристата степень поражения желтой ржавчиной средняя—40—60 %.

4. Несмотря на то, что умбеллулата имеет самый длинный вегетационный период, данный вид оказался устойчивым против грибных заболеваний. Поэтому он представляет собой ценный материал для селекции.

Л. Б. ЛЮБАРСКАЯ

НОВЫЕ И РЕДКИЕ ВИДЫ ВО ФЛОРЕ МХОВ КАВКАЗА

(Представлено академиком АН Азербайджанской ССР Г. А. Алиевым)

В пределах Кавказа флора мхов Азербайджанской ССР является сравнительно мало изученной и слабо освещенной в литературе. Начатое систематическое изучение бриофлоры республики восполняет этот пробел и одновременно служит источником для расширения имеющихся уже сведений о бриофлоре всего Кавказа.

В период 1958—1960 гг. были проведены большие сборы мхов в районах Нуха-Закатальского массива. В результате их обработки выявлен ряд видов еще не указанных для бриофлоры Кавказа, а также виды, известные из немногих месторождений. Все эти виды мхов также впервые приводятся для флоры Азербайджанской ССР.

Образцы хранятся в бриологическом гербарии Института ботаники АН Азербайджанской ССР. Проверка определений проводилась А. Л. Абрамовой.

Ditrichum pallidum (Hedw.) Hampe.

Закатальский район, долина реки Алазани, окрестности сел. Гандаг, в дубово-ильмовом лесу, на глинистой почве, 12. VII 1960, со спорогонами. Споры 12—16 μ .

Cynodontium polycarpum (Hedw.) Schimpf.

Закатальский район, хребет Диинди, западный склон, на скалах, покрытых слоем мелкозема, выс. 2300 м над ур. моря, 13. VII 1959, со спорогонами. Споры 18—24 μ .

Pottia truncata (Hedw.) Brid.

Закатальский район, местность Хамтала, на стенке канавы, выс. 400 м над ур. моря, 8. VI 1959, со спорогонами. Споры густобородавчатые, желтобурые, 20—26 μ . Для Кавказа указывалась лишь *Pottia truncata* var. *spathulata* Wagn. из Кутаиси по сборам Ткешелашвили.

Rhacomitrium lanuginosum Hedw. Brid.

Нухинский район, подъем на пастбище Ханэйлаг, сухой скалистый склон, 16. VII 1960. Для Кавказа известен только из Аджарии.

Physcomitrium pyriforme (Hedw.) Brid.

Закатальский район, долина реки Тала-чай, на глинистой почве, 13. V 1960, со спорогонами, споры темно-коричневые, папиллозные, 27—35 μ в диам.

Bryum Weigelii Spreng.

Закатальский район, гора Кала, на влажных камнях, у ручья, выс. 2600 м над ур. моря, 14. VIII 1959, гора Алибек, у верхней границы леса, на влажной почве, 13. VII 1960. Стерильный.

Mnium hornum Hedw.

Закатальский район, гора Кала, на песчанистой сырой почве, VII. 1935, собрано И. Байдеманом. Впервые приводится для Кавказа. Листья со вздутой многослойной желто-коричневой каймой, по краю почти до основания парнозубчатые, жилка мощная, заканчивается далеко до верхушки листа, клетки пластиники листа в средней части 22—35 μ .

Paludella squarrosa (Hedw.) Brid.

Закатальский район, левый берег реки Цилибан-чай, на сырой почве и на кочках, выступающих из воды, 12. VII 1960.
Для Кавказа известен лишь из Ставропольского края (Карачаевский район.)

Meesia triquetra (Hook. et Tayl.) Ångstr.

Варташенский район, по берегу реки Чалдан-чай, VI. 1937, собрано З. Куценко.

Philonotis fontana (Hedw.) Brid f. *aristinervis* Loeske

Закатальский район, гора Кала, на каменистом склоне, у родника, выс. 2500 м над ур. моря, 14 VIII 1959.
Форма отличается сильно выбегающей зубчатой жилкой, указывается впервые для Кавказа.

Philonotis marchica (Willd.) Brid.

Закатальский район, хребет Хумсель, субальпийское дубовое редколесье, у родника, на влажной почве, 15. VIII 1959, хребет Месельдер, восточный склон, на мокрой почве, покрывающей скалы, 15. XI 1958, ♀ — ♂, собрал Р. Зангиров; долина реки Тала-чай, обрывистый скалистый склон, в выемках камней, на слое гумуса, 13. VII 1960.
Известен лишь из Аджарии.

Pterogonium gracile Smith.

Нухинский район, сел. Ашага-шабалыд, на скалах, 11. V 1959.
Для Кавказа известен только из Имеретии (Зекари).

Neckera pennata Hedw.

Закатальский район, хребет Рочигель, буковый лес, у основания ствола бука, VIII. 1959, собрал А. Попков.
Для Кавказа известен был только стерильный. Наш образец с обильными спорогонами является подтверждением произрастания *N. pennata* на Кавказе.

Myurella tenerrima Lindb.

Закатальский район, хребет Пунилов, на каменистом склоне, выс. 2600 м над ур. моря, 14. VIII 1959.

Calliergon cordifolium (Hedw.) Kindb.

Закатальский район, левый берег реки Охадере-чай, гора Гамзагор, в буково-грабовом лесу, по краю канавы, 15. X 1958, со спорогонами.

Brachythecium salebrosum (Web. et Mohr.) Brid., Sch. et Gmb.
var. *cylindroides* (Limp.) Amann

Закатальский район, урочище Камар-бина, ильмово-дубовый лес, на валежнике белолистки, 7. VI 1958.

Разновидность указывается впервые для Кавказа; Приводимая И. В. Дылевской в „Материалах к познанию листостебельных мхов Грузии“ (1956), для Кавказа разновидность *Br. salebrosum* var. *cylindricum* Brid., Sch. et Gmb. является синонимом *Brachythecium capillaceum* (Web. et Mohr.) Starke.

Cirriphyllum crassinervium (Tayl.) L'oeske et Fleisch. var.
turgescens Mol. (Podr.)

Закатальский район, местность Перзеван, дубово-грабовый лес, на известковой увлажненной почве, 13. X 1958.

Разновидность впервые приводится для Кавказа.

Hurnium tstrupens Hedw.

Закатальский район, окрестности сел. Кебелоба, в дубово-грабовом лесу, на валежнике граба, 12. VI 1960.

Hurnium hamulosum Brid., Sch. et Gmb.

Варташенский район, окрестности сел. Филфили, река Чалдан-чай, буковый лес, на влажном скалистом склоне, 23. VIII 1937, собрал З. Куценко.

Rhytidadelphus squarrosum (Hedw.) Warnst.

Закатальский район, окрестность сел. Джар, дубово-грабовый лес, на почве, 8. VI 1958.

Институт ботаники

Поступило 15. VI 1962

Л. Б. Лубарскаја

Гафгаз флорасында раст кәлән јени вә надир мамырлар Ыагында

ХУЛАСӘ

Гафгаз флорасыны өјранәркән, Азәрбајчандың мамырлары системли өјрәнилмәси бу чатмамазлығы өдәјә биләр.

Мәгаләдә 1958—60-чы илләрдә Нуха—Загатала саһәсүндән топланыш мамырлары ишләнмәси иәтичәсүндә Гафгаз флорасында 20-јә кими јени вә надир мамыр нөвләри мүәјжәиләшдиң тәсвири олунур.

ПАЛЕОНТОЛОГИЯ

Н. И. БУРЧАК-АБРАМОВИЧ

ДОМАШНИЙ ВЕРБЛЮД НА ДРЕВНЕМ КАВКАЗЕ

(Представлено академиком АН Азербайджанской ССР К. А. Ализаде)

Находки костей домашнего верблюда при археологических раскопках весьма редки. Это дало основание В. И. Громовой в одной из своих работ написать: „История домашнего верблюда в древнейшие времена еще так слабо выяснена, что всякая новая находка этого рода является событием“.

Наиболее древние достоверные сведения о домашнем верблюде относятся приблизительно к 2000—2500 лет до н. эры. Однако есть несколько и еще более древних указаний. Так, в Египте возле Абу-эзира Эль-Малек была найдена статуэтка навьюченного верблюда, датируемая археологами временем около 3200 лет до н. эры. На о. Крит найдена глиняная статуэтка дромедара (дикого или домашнего?) времени неолита. В Ассирии изображения верблюдов на древних барельефах впервые появляются в самом конце II тыс. до н. э. при Таглатпалассаре. В Греции о верблюде впервые пишет Архелох за 700 лет до н. эры. О верблюдах упоминает и Геродот.

В Египте домашний верблюд становится обычен во времена Птоломея с III. в. до н. эры. Неоднократно упоминается о домашнем верблюде в библии. В китайских летописях о верблюде имеются сведения за 207 лет до н. эры при династии Хань. Остатки двугорбого верблюда констатированы в слоях бронзовой культуры (1000—1500 лет до н. эры) на городище Анау возле Ашхабада.¹ Остается недоказанным упоминание В. Хвойко [17] о находке скелета верблюда в трипольских культурных слоях возле с. Веремья (Киевск. обл.). Скелет не был изучен, не сохранился и больше указаний о находках верблюда в трипольской культуре не появлялось. В. И. Громова [6] описала кости домашнего двугорбого верблюда из слоев городища Каунча-тапа (в 27 км от Ташкента) времени бронзы (конец II и начало I в. до н. эры) и железного века (600—20 лет до н. эры). Двугорбый верблюд констатирован при раскопках городиц античного и раннесредневекового Хорезма (IV—XIII вв. н. эры) в Средней Азии. По определению В. И. Цалкина [18] было найдено не менее 6 взрослых и одной молодой особи. Кроме того, судя по иконографическим материалам, там был

¹ Однако первоначально эти слои были отнесены к неолиту с датировкой 6000 лет до н. эры (Люстр, 1908).

и одногорбый верблюд, но костных остатков от него не оказалось. Остатки верблюдов найдены в Казахстане в Алексеевском поселении, по-видимому, позднебронзовой эпохи [11]. В. И. Громова [7] отмечает двугорбого верблюда в Борщевском городище (Борщево I. IX—X вв. н. эры возле Воронежа). В нем среди множества костей домашних животных лишь 6 принадлежали верблюду (3 особи), что свидетельствует о малом значении в средние века верблюда в юго-восточной Европе. Отметим, что домашних верблюдов не было и у кочевых ногайцев, живших в начале XIX в. на юге УССР. По данным 1802 г. (Скалковский А.) у ногайских татар б. Таврической губернии было до 40 тыс. голов крупного рогатого скота, 8 тыс. лошадей, 10 тыс. овец и совсем не было верблюдов.

В древнем царстве Урарту, судя по клинообразным урартским и ассирийским надписям, было много верблюдов. О них неоднократно упоминается в реестрах военной добычи, взятой у побежденных.

Клавдий Элиан писал (XVII книга) о Восточном Закавказье, что у каспиев очень много верблюдов, которые крупнее самых больших лошадей и дают очень нежную шерсть, более мягкую, чем мильтская шерсть [12].

В 1896 г. верблюды были найдены в кургане верхнебронзовой эпохи (IX—VIII вв. до н. эры) возле Карабулака (Карягино) на территории древней Албании (Азерб. ССР). Отсюда А. А. Ивановский упоминает [9] о захоронении 2-х скелетов верховых верблюдов, украшенных узорами и золотом. В могиле было три покойника, один из которых, по-видимому, мог быть вождем племени. К сожалению, скелеты верблюдов остались неизученными и скорее всего не сохранились. Осталось не выясненным, были ли это одногорбые или двугорбые верблюды.

В работе Т. Бунягова [5] помещен рисунок черноглиняного сосуда эпохи бронзы с изображением 4-х одногорбых верблюдов и 2-х домашних коз. Сосуд найден в кургане возле Кировабада. Подтверждением того, что в Закавказье в одомашненном состоянии был распространен и одногорбый верблюд может служить находка его костей при раскопках урартского города Иркуни возле Эревани VIII в. до н. эры [13]. Определение С. К. Даля.

Среди огромного количества костей животных из археологических раскопок древнего Мингечаура на р. Кура (территория древней Албании) констатировано только несколько отдельных костей домашнего двугорбого верблюда (*Camelus bactrianus domesticus*).

Здесь мы даем краткое описание остатков мингечаурского бактриана. I. Срединная часть черепа с небными, верхнечелюстными и межчелюстными костями. Культурные слои эпохи поздней бронзы (курган IV, X—IX вв. до н. эры). В черепе из зубов не хватает $p_1^-, s1n.p_3^-$ dex. и i_3^- s1n. Зубы в средней стадии стирания. Животному было не менее семи лет, судя по клыкам, уже достигшим нормальной величины. Череп определяется достоверно по форме и величине зубов и наличию на небе двойной вырезки (правой и левой), расположенных непосредственно медиально от внутренней стенки третьих моляров. Указанные вырезки своими краями достигают уровня середины передней доли 3-го моляра и не достигают уровня переднего пункта staphyllum¹ на 7 мм. У дромедара упомянутая вырезка выражена весьма слабо. Она своим передним краем едва достигает уров-

¹ Точка, в которой сходятся по заднему краю обе небные кости на срединной сагиттальной линии черепа.

ня задней трети задней доли 3-го моляра. Вырезка в пункте staphyllum у дромедара значительно шире, чем у бактриана (табл. измер. II). Правая ветвь нижней челюсти взрослой особи домашнего двугорбого верблюда № 77. Мингечаур. Поселение II на левом берегу р. Куры. Глубина 2,5—3,0 м. Археол. раскопки 6/III 1948 г. III—V вв. н. эры. Челюсть обладает всеми признаками бактриана. Так венечный отросток ее клювовидно изогнут назад. Суставная поверхность сочленовидного отростка относительно узка (в передне-заднем направлении). У дромедара венечный отросток значительно шире. Этую особенность хорошо выражает индекс отношения передне-задней длины к поперечной ширине суставной поверхности сочленовидного отростка. У бактриана (в том числе у мингечаурской нижней челюсти) индекс равен 60, у дромедара 72—73. Венечный отросток у бактриана более высокий, чем у дромедара. У описываемой нижней челюсти высота венечного отростка 70 м.м., у дромедара 65 м.м. (табл. измер. 2).

Археологические раскопки древнего Мингечаура дали только две кости домашнего верблюда—одну эпохи поздней бронзы, другую—раннего железа начала нашей эры. Это должно говорить о слишком малой распространенности домашнего верблюда на территории западной части древней Албании. К югу от древней Албании, на территории, занятой владениями древнего царства Урарту, приблизительно в то же время, судя по историческим данным, верблюд был обычным домашним животным.

На территории к западу (древняя Грузия) и к юго-востоку (древняя Мидия) о домашнем верблюде пока нет вещественных находок, но следует полагать, что они были и там.

Был ли в древней Албании кроме бактриана и домашний одногорбый верблюд-дромедар мы пока не знаем, но присутствие его вполне вероятно. Интересно то, что единственны для СССР костные остатки дикого одногорбого верблюда (фрагм. н. челюсти)—*Camelus dromedarius dahli* Chav., описанные Я. И. Хавесоном [16], происходят с гюнейского побережья оз. Севан в Армении, т. е. области, непосредственно граничащей на севере с древней Албанией. Таким образом, ареал территории, на которой могло происходить одомашнение дикого одногорбого верблюда значительно расширяется к северу—от Аравийского полуострова и Северной Африки до современного оз. Севана, а может быть и севернее до древней Албании. Правда, остатки дикого дромедара на побережье оз. Севан найдены в отложениях пляжа, а не *in situ*, в связи с чем стратиграфия этой важной находки остается неясной. Однако судя по сохранности кости, аналогичной другим костным находкам на побережье оз. Севан, и кость дромедара должна быть отнесена к времени бытования в древней Армении первобытного человека, когда уже началось одомашнивание дикой фауны (по Я. Хавесону около III-го тыс. до н. эры).

Таблица 1

Измерения черепа домашнего бактриана из древнего Мингечаура

1. Длина ряда зубов ($p_3^- m_3^-$)	160 м.м.
2. Наибольшее расстояние между наружными стенками m_2^-	150 .
3. Наибольшая ширина неба	150.
4. Наибольшая длина коронки m_3^- (по жеват. поверхности)	48,5.
5. То же, ширина	28,8.
6. Наибольшая длина высоты клыка	26.
7. Наибольшая высота глазницы	59,8.

Таблица 2

Измерения нижней челюсти

1. Длина зубного ряда ($p\bar{t}-m\bar{t}$) по альвеолам	167	мм
2. Наибольшая высота челюсти (coronum—gonion ventrale)	223	
3. Высота (прямая) венечного отростка	70	
4. Высота тела челюсти на уровне заднего края $m\bar{t}$ (по медиальной поверхности)	92	
5. Наименьшая высота диастемы	35	
6. То же, наименьшая толщина	21	

ЛИТЕРАТУРА

1. Асланов Г. М., Вайдов Р. М., Ионе Г. И. Древний Мингечаур (эпоха неолита и бронзы). Ин-т истории АН Азерб. ССР, 1959. 2. Богоявский С. Н. Происхождение верблюдов. Алма-ата, 1929. 3. Богоявский С. Н. Происхождение и преобразование домашних животных, 1959. 4. Браннер А. А. Животноводство. Одесса, 1922. 5. Бунятов Т. А. Земледелие и скотоводство в Азербайджане в эпоху бронзы. Баку, 1957. 6. Громова В. И. Материалы к изучению древнейших домашних животных Средней Азии (по раскопкам Кауичи-тапа в 1935). Узбек. ФАН СССР. Ташкент, 1940. 7. Громова В. И. Остатки млекопитающих из раннеславянских городищ вблизи города Воронежа. Материалы и исследов. по археологии СССР, 8, 1948. 8. Даль С. К. Результаты изучения млекопитающих из раскопок урартского города Тейшебани. Изв. АН Арм. ССР, № 1, 1952. 9. Ивановский А. А. по Закавказью. Археологические наблюдения и исследования 1893, 1894 и 1896 гг. Материалы по археол. Кавказа, т. VI, 1911. 10. Келлер К. Происхождение домашних животных. 1913. 11. Кривцов-Власова О. А. Алексеевское поселение и могильник. Археол. сб. Труды Истор. музея, вып. XVII. 1948. 12. Латышев В. И. Известия древних писателей о Скифии и Кавказе. Вестн. древней истории, № 2, 1948. 13. Лосева И. М. Раскопки цитадели урартского города Иркуни. Краткое сообщение И-та ист. мат. культуры, 58, 1955. 14. Пиотровский Б. Б. Археология Закавказья. Курс лекций, 1942. 15. Пиотровский Б. Б. История и культура Урарту. Ин-т истории АН Арм. ССР, 1944. 16. Хавесон Я. И. Дикий одногорбый верблюд из отложений озера Севан (Армения). „ДАН СССР“, № 3, 1954. 17. Хойко В. В. Каменный век среднего Поднепровья. Труды XI архел. съезда в Киеве в 1899 г., т. 1. 18. Палкин В. И. Фауна античного и раннесредневекового Хорезма. Археол. и этнограф. работы Хорезмской экспедиции 1945—1949. 1952. Duerst и Animal Remains from the Excavations in Apan B. Pompey Explorations in Turkestan. t. II, 1908.

Музей им. Зардаби

Поступило 19. XII 1962

Н. И. Бурчак-Абрамович

Гэдим Гафгазда ев дэвэси

ХУЛАСЭ

Ев дэвэснин һөгиги гэдим тапынтылары ерамыздан өввэл 2000—2500-чи иллэрэ аид едилр (Мисир, Крит адасы). Урарту вэ Ассирия михи языларыдан көрүндүү кими, гэдим Урарту дэвлэти эразисиндэев дэвэси кениш шәкилдэ артырды. Вәнши донгарлы дэвэни—дромедарын сүмүклэри (алт чәнәнин фрагментләри) Севан көлүнүн күнеј саһилиндэн тапылмышды. Вәнши дромедарын ССРИ-и учун јеканэ олан бу тапынтысы—*Camelus dromedarius dahli* алтында Ј. И. Хавесон тэрэфиндэй тэсвир едилмишдир. Севандан тапылан бу тапынты газынты дромедарын кечмишдэ кениш јајымасынын ареалыны шимала доғру апарыр ки, бу да өз сәрхэддиндэ чәнуб-шәрги Загафгизијаны да әһатэ едир. Севан донгарлы дэвэси бэлкэ дэ сонрадан әхлиләшдирилмишдир, лакин буна даир әлимиздэ мэ'лумат юхдур.

Һача ев дэвэсий-бактриан гэдим заманларда Азэрбајҹан әразисиндэ (гэдим Албания) мэ'лум иди. Һэлэ 1896-чи илдэ археолог А. Ива-

новски Гарјакин јаҳынлығында тунч дөврүнэ аид кургандаа ев бактрианларындан ики скелет ашкар етмишдир. Анчаг бу скелетлэр өјрәнилмәмиш вэ бу вахта гэдэр дэ галымышдыр. Она көрэ дэ биз бу скелетләрин дэвэләрин һансы чинсинэ—бактрианлара вэ ја дромедарлара аид олдуғуны билмирик.

Бир ичэх иллэр әрзиндэ апарылан гэдим Минкәчевир археологи газынтылары заманы әлдэ едилэн һејван сүмүкләри ичәрисиндэн ики донгарлы ев дэвэснин—бактрианларын ики сүмүјү мүәјжэн едилмишдир. Онлардан бири тунч (кэллэ фрагмент), дикэри (алт чәнә фрагмент) илк дэмир дөврүнэ аиддир. Газынты материаларында ев дэвэснэ аид галыгларын аз мигдарда олмасы онун гэдим Минкәчевирдэ кениш јајымадығыны вэ мигдары чәһәтдэн башга ев һејванларындан кери галдығыны гејд етмәјэ имкан верир.

ПРОТИСТОЛОГИЯ

К. П. КАДАЦКАЯ, Л. Ф. ШИРОВА

ИКСОДОВЫЕ КЛЕЩИ И БЛОХИ В ТУЛЯРЕМИНОМ
ОЧАГЕ НАХИЧЕВАНСКОЙ АССР

(Представлено академиком АН Азербайджанской ССР А. Н. Державиным)

Известно, что различные членистоногие имеют большое значение в распространении туляремии и сохранении ее возбудителя в природе.

К настоящему времени в СССР в очагах туляремии выявлено 14 видов иксодовых клещей, спонтанных насчителей *B. tularensis* [5,6].

Блохи также являются длительными хранителями и активными передатчиками туляремии. На территории СССР микробы туляремии были выделены из 15 видов блох [7].

В 1958 г. на территории Нах. АССР в местности Биченак впервые была зарегистрирована эпизоотия туляремии [1]. Возбудитель туляремии был выделен от водяных и обыкновенных полевок, обыкновенной куторы, лесной мыши, лягушки и из гнездовой подстилки водяной полевки, а в 1960 г. культура *B. tularensis* была выделена от иксодовых клещей, собранных из гнезд обыкновенной полевки и с овец, от гамазовых клещей, добывших из гнезд обыкновенной полевки, и от блох, снятых с трупа обыкновенной полевки. Эктопаразиты исследовались бактериологически, без предварительного определения их до вида. Этот факт побудил нас опубликовать в данной статье имеющиеся у нас небольшие материалы по видовому составу клещей и блох, собранных в местности Биченак.

Материалом для работы послужили сборы экспедиций Азербайджанской противочумной станции и Джульфинского противочумного отделения.

Местность Биченак расположена на высоте 2100 м над ур. моря в высокогорном поясе центральной части Малого Кавказа (на Зангезурском хребте). Указанный район по Биченакскому перевалу граничит с Армянской ССР. Район расположен в субальпийской зоне. Здесь находятся три небольших водоема под названием Батабад. Осадки и родниковые воды многочисленными ручьями стекают в водоемы. Эта территория используется под летние пастбища. Западнее водоемов на склонах гор Зангезурского хребта расположен лес.

Видовой состав диких млекопитающих представлен в работах [2,3].

Из грызунов на горных лугах этой зоны численно преобладают обыкновенные полевки. Поселения их близко подходят к ручьям и

Окончание табл. 2

Количество сборов	838	1037	119	52	7	147	2	52	8	9	17	2288
Виды хозяев	Обыкновенные полевки	Входы нор обыкновенных полевок	Гнезда обычной полевки	Водяная полевка	Гнезда водяной полевки	Лесная мышь	Гнезда лесной мыши	Лесная соня	Ласка	Землеройка	Обыкновенная кутора	
Виды блох												Всего
	164	209	565	15	4	15	2	68	18	4	3	1067
<i>Stenoponi a ivanovi</i> Joff. et Tifl. 1933	1		2									3
++ <i>Hystrichopsylla talpae</i> Curtis 1826	2											2
	1,2											

—вид обнаружен в 1955 г.

+ —вид блохи, отмеченный впервые для Закавказья.

++ —вид блохи, отмеченный впервые для Азербайджана.

+++ —виды блох, отмеченные впервые для Нах. ССР.

В мае 1959 г. О на зверьках был 1,08, во входах их нор—0,14, а в гнездах—4,6. В сентябре 1958 г. О на зверьках отмечен незначительный—0,08, во входах нор—0,2 и в гнездах—4,42. В ноябре этого же года О на зверьках повысился до 0,49, во входах нор блох не было, а в гнездах О повысился до 15,5.

На водяных полевках обнаружено 4 вида блох, из них *C. walkeri*, по-видимому, является основным видом, паразитирующим на этих зверьках.

На остальных объектах блохи были малочисленны (табл. 2).

ЛИТЕРАТУРА

1. Абушев Ф. А., Юдина С. И., Медведева Э. П., Девальер В. Е. К вопросу о природной очаговости туляремии в Нах. АССР. Труды Азерб. п. ч. станции, вып. III, 1962.
2. Ализаде А. Н., Асадов С. М., Державин А. Н. (под ред.). Животный мир Азербайджана. Изд. АН Азерб. ССР, Баку, 1951.
3. Даль С. К. Животный мир Армянской ССР, т. 1. Позвоночные животные. Изд. АН Арм. ССР, Ереван, 1954.
4. Кацакян К. П., Мулярская Л. В., Широка Л. Ф. К фауне (*Suctoria Aphaniptera*) Азербайджана. «ДАН Азерб. ССР», т. XVIII, № 3, 1962.
5. Олсуфьев Н. Г., Руднев Г. П. (под. ред.) Туляремия. Медгиз, 1960.
6. Петров В. Г. Итоги изучения иксодовых клещей как переносчиков туляремии. Десятое съездование по паразитологическим проблемам и природноочаговым болезням, вып. 1, Изд. АН СССР. М.—Л., 1959.
7. Тифлов В. Е. Роль блох в эпизоологии туляремии. Труды Научно-исслед. противочумного ин-та Кавказа и Закавказья, вып. 2, 1959.

Институт зоологии

К. П. Кацакян, Л. Ф. Широка

Нахчыван МССР-ни туляремија очагында иксод кәнә вә бирәләри

ХУЛАСЭ

Бу иш Нахчыван МССР әразисинде (Зәнкәзур сыра дағлары үзәриндә) Кичик Гафгазын мәркәзи һиссәсеннин јүксәк дағ зонасында, дәнис сәвијәсендә 2100 м јүксәклидә йөрләшән бичәнәкдә апарыл-

ышылдыр. 1958-чи илдә һәмин әразидә илк дәфә олараг туляремија епизоотијасы тапылышылдыр. Бу јерләрдә 12 иөв иксод кәнәси вә 21 иөв бирә ашкар едилмишdir. Ади тарла сичанындан вә онун јувасындан бир иөв иксод кәнәси — *Ixodes laguri armeniacus* тапылышылдыр. Мүхтәлиф објектләрдән тапылыш 21 иөв бирәдән ән чоху *ct. wladimiri* иөвүндән олуб, бутүн јығылан бирәләри јарысындан чохуну тәшкىл едир. Бирәләрдән *Lept. bidentata* илк дәфә Загафгазија үчүн, *Hystrichopsylla talpae* Азәрбајҹан үчүн, *Cten. bagatschevi* вә *Rhad integella caucasica* Нахчыван МССР-и үчүн гејд едилмишdir.

Ади тарла сичанлары үзәриндә 15 иөв, су сичовуллары үзәриндә исә 4 иөв бирә паразитлик едир.

Ади тарла сичанларында олән бирәләрин мигдары фәсил вә илләрдән асылы олараг кәскин дәјишилир.

И. Т. АБАСОВ

БЕЛКИ, БЕЛКОВЫЕ ФРАКЦИИ, НЕПРОТЕИНОВЫЙ АЗОТ
И АМИНОКИСЛОТЫ ЖЕЛУДОЧНОГО СОКА В НОРМЕ
И ПАТОЛОГИИ

(Представлено академиком АН Азербайджанской ССР А. И. Караевым)

В настоящее время активное участие желудка в белковом обмене не подлежит сомнению. Углубленное изучение этого вопроса имеет не только теоретическое значение, но и открывает новые возможности для диагностики определенных патологических состояний желудка.

В желудочном соке мы исследовали содержание общего белка и небелкового азота (235 чел.), белковые фракции методом электрофореза (114 чел.), хроматографическое и газометрическое исследование свободных аминокислот (180 чел.). Среди исследуемых были здоровые лица и больные различными заболеваниями желудка (рак, гастриты, язвенная болезнь, полипоз).

Желудочное содержимое получали тонким зондом натощак и после стимуляции гистамином, при наличии примесей крови и желчи сок не исследовали. Общее количество белка определяли по методу Робертса—Стольникова, небелковый азот—по Фолину (с реагентом Несслера) после осаждения белков четырехкратным объемом ацетона, азот аминокислот—по Цуверкалову. Хроматография одномерная, восходящая. Хроматограммы проявляли 3 дня по 20 ч смесью *n*-бутилового спирта, уксусной кислоты и воды (4 : 1 : 5, верхний слой), а затем 3 дня пропускали эти же вещества в соотношении 8 : 3 : 1. Окраска проводилась никнидрином. Пятна лейцина и аланина вырезали из хроматограмм и производили их количественное определение по методу Гири. Для определения белковых фракций профильтрованный желудочный сок в целлофановом мешочке подвергали дигидализу против дистиллированной воды в течение 20 ч, а затем сгущали с помощью гуммиарбика. Электрофорез проводили в аппарате с вертикальным расположением бумажных полос. Буфер вероналовый, pH 8,6, ионная сила 0,1. Окраска амидошварцем 10B. Денситометрия. Наибольшее содержание белков, остаточного азота и аминокислот отмечалось у больных раком желудка. Так, среднее количество белков в желудочном соке у больных раком желудка было в 2 раза больше нормы и в 1,5 раза больше, чем у больных язвенной болезнью. Содержание небелкового азота в 1,8 раз превышало таковое у здоровых и в 1,6 раз—у больных язвенной болезнью, а концентрация

свободных аминокислот была в 2 раза выше, чем у больных гастритом, полипозом и язвенной болезнью. Однако ввиду сравнительно малого выделения сока у больных раком желудка эта разница сглаживается, если учитывать общее количество выделяемых желудком азотистых веществ.

Концентрация белков выше 5%, небелкового азота — выше 75 мг% и азота аминокислот — выше 7 мг% подозрительны на рак желудка (при отсутствии стеноза привратника и связанной с ним задержки пищи, а также при отсутствии почечной недостаточности, когда желудок компенсаторно выделяет азотистые продукты). По сравнению со здоровыми лицами некоторое увеличение выделения белков и небелкового азота с желудочным соком отмечалось у больных раком других локализаций (легких, матки, прямой кишки, мочевого пузыря), особенно у тяжелых больных с распадом опухоли, метастазированием, повышенной температурой и т. д. Содержание остаточного азота в сыворотке крови почти у всех обследованных лиц было в норме. У подавляющего большинства больных раком и у всех других больных содержание аминного азота в крови также было нормальным. Стимуляция секреции гистамином, увеличивая секрецию, большей частью снижало концентрацию азотистых веществ. В первые дни после операций (резекция желудка, гастроэнтероанастомоз) в откачиваемом с лечебной целью содержимом желудка количество азотистых веществ было велико. Это свидетельствует об активной роли желудка в выведении продуктов распада тканей, образовавшихся вследствие операционной травмы; часть этих азотистых веществ, вероятно, обязана своим происхождением массивным переливаниям крови во время операции. Через несколько месяцев после успешной резекции желудка по поводу рака концентрация белков, небелкового и аминного азота в соке, выделяемом культей желудка, понижалась, доходя до нормы.

Среднее содержание белка, небелкового и аминного азота, лейцина и аланина в желудочном соке при различных заболеваниях

Контингент исследуемых	Белок, %	Небелковый азот, мг %	Аминный азот, мг %	Лейцин, γ на 1 мл	Аланин, γ на 1 мл
Здоровые	0,98	32,3	3,56	7,3	5,2
Язвенная болезнь	1,26	36,5	4,12	8,5	6,3
Анацидный гастрит	1,42	41,0			
Гастриты с сохраненной кислотностью	1,17	37,7	3,87	8,8	5,6
Полипоз желудка	1,40	43,7	3,74	8,0	5,4
Рак желудка	1,93	58,4	7,33	20,2	13,5
Рак внутренних органов	1,35	44,3			

В желудочном содержимом у здоровых лиц (не менее чем у 75% исследуемых) методом хроматографии обнаружены аминокислоты группы лейцина, α-аланин, валин, лизин, глицин, гистидин, аспарагиновая и глутаминовая кислоты, серин. В убывающем порядке встречались треонин, аргинин, β-фенилаланин, тирозин, орнитин, цистин (с цистеином), метионин, триптофан, возможно, аминоизомасляная кислота. При язвенной болезни, хроническом гастрите и полипозе желудка частота и интенсивность пятен аминокислот почти не отличаются от таковых у здоровых лиц. В хроматограммах больных раком желудка находились более густые пятна лейцина, аланина, валина, лизина, аргинина, чаще присутствовали другие аминокислоты. Так, у больных раком желудка

цистин встречался в 3 раза чаще, а метионин в 2,5 раза, чем у больных гастритом и язвенной болезнью. Наличие в желудочном соке у всех категорий обследованных лиц лейцина и аланина с преобладанием их у больных раком желудка, а также изолированное расположение этих аминокислот на хроматограммах побудили нас провести их количественное определение по методу Гири. Более чем у половины больных раком желудка содержание лейцина превышало 16 γ/мл; почти у половины больных концентрация аланина была выше 12 γ/мл, в то время как у других больных подобные цифры не встречались.

На электрофорограммах желудочного сока у здоровых лиц выявлялось 4—9 фракций, обычно 3—5 фракций на анодной и 2—3 на катодной стороне электрофорограммы. Фракции обозначались по Глассу. Наиболее быстро движущаяся к аноду фракция принадлежала пепсину (P): пробег кристаллического пепсина соответствовал ее расположению; после стимуляции гистамином содержание этой фракции возрастало, а у больных ахиллией она отсутствовала. Фракция мукопротеина (M_1) часто изменялась параллельно фракции P, иногда сливалась с ней. Следующие анодные фракции (M_2 , M_3 , M_4), по Глассу, относятся к желудочной мукопротеозе, однако альбумин, имеющийся в желудочном соке, и продукты его переваривания пепсином могут давать аналогичные анодные, а также катодные фракции. Подвижность альбумина сыворотки соответствует подвижности пиков M_1 и M_2 , но окрашивающие свойства альбумина отличаются от окраски мукопротеидов, в частности, альбумин интенсивнее окрашивается амидошварцем. Фракция, расположенная у 0-точки, несколько оттененная эндоосмотическим током к катоду, обозначалась M_4 . Возможно, в полосе M_4 присутствует или иногда ее составляет γ-globulin сыворотки. К катодным фракциям относятся крупномолекулярные полипептиды, обозначаемые X, γ и Z (последняя фракция обнаружена лишь у 5 из 14 здоровых лиц). У больных язвенной болезнью и гастритом с сохраненной кислотностью электрофорограммы желудочного сока почти не отличались от таковых у здоровых лиц. У больных с атрофией слизистой и ахиллией (в том числе у больных полипозом желудка) мы наблюдали суженную, компактную электрофорограмму с увеличением ее средней (центральной) части, малым числом полос — 2—4, обычно 2 (M_4 и альбумин, M_4 и M_2 , M_4 и M_3). Как правило, отсутствовали наиболее подвижные фракции в сторону анода (фракции пепсина и мукопротеина) и катода (Z и γ). В средние фракции, как известно, входят компоненты растворимой слизи, вырабатываемой поверхностным эпителием слизистой оболочки желудка, морфологические и функциональные изменения которого наступают в последнюю очередь. Из 17 больных с анацидным соком у 7 было обнаружено присутствие сравнительно небольшого количества альбумина. Из 48 больных раком желудка у 12 с сохраненной кислотностью желудочного сока электрофорограммы приближались к нормальному, однако отмечалось повышение центральных волн (около линии старта). Почти у всех больных раком желудка с анацидным соком отсутствовали фракции пепсина и мукопротеина, у 23 (из 36) наблюдались массивные альбуминовые пятна в электрофорограммах, а у 7 можно было предполагать наличие альбумина. Рядом авторов было доказано, что у здоровых лиц сывороточный альбумин в небольшом количестве выделяется желудочным соком, однако он в кислой среде быстро расщепляется пепсином и на электрофорограмме обычно не обнаруживается. Выделение сравнительно больших количеств сывороточных белков в желудок может быть обусловлено различными факторами: небольшими желудочными кровотечениями, экссудацией сыворотки с изъязвленных и воспаленных участков, избыточной трансси-

дацией белков вследствие увеличенной васкуляризации, повышенной сосудистой проницаемости и истощения слизистой, выходом лимфы из закупоренных, расширенных или разрушенных лимфатических сосудов и т. д.; возможно также вследствие продуцирования протеинов самой опухолью. У больных раком желудка по сравнению с больными ахиллией без наличия опухоли отмечалось сравнительно большое содержание катодных компонентов, вероятно, вследствие повышенного содержания полипептидов в желудочном соке.

Главное значение электрофоретического анализа белковых продуктов желудочного сока заключается в возможности получения данных, свидетельствующих об атрофии слизистой и раке желудка.

Институт рентгенологии
и радиологии

Поступило 10. XII 1962

И. Т. Абасов

Мә'дә ширәсииң зұлаллары, зұлал фраксијалары, зұлалсыз азоту вә амин туршулары нормада вә патологијада

ХУЛАСӘ

Мүхтәлиф мә'дә хәстәлікләри заманы мә'дә ширәсииң тәркибин-дәкі зұлалын, зұлалсыз азоту вә амин азотунун үмуми мигдарынын тәдгиги көстәрір ки, бүнлар ән чох мә'дә хәрчәнки заманы артыр; хүсусән лејсин вә аланинин концентрасијасының артмасы диггәти чәлб едир.

Мә'дәсіндә хәрчәнк шиши олан хәстәләрин мә'дә ширәсииң электрофореграмы түнд албумин ләкәләри вә катод фраксијасының олмасы, чох ваҳт пепсин фраксијасы вә мукопротеинин исә олмамасы илә фәргләнір.

Беләликлә, мә'дә ширәсииң азотту мәһсулларының тәдгиги мә'дә хәрчәнкинин диагнозунда көмәкчи методлардан бири һесаб олуна биләр.

АЗЭРБАЙЧАН ССР ЕЛМЛӘР АКАДЕМИЯСЫНЫН МӘРУЗӘЛӘРИ
ДОКЛАДЫ АКАДЕМИИ НАУК АЗЕРБАЙДЖАНСКОЙ ССР

ТОМ XIX

№ 4

1963

МЕДИЦИНА

В. А. ИСКЕНДЕРЛИ

ТАКТИКА ХИРУРГА ПРИ ОПЕРАЦИИ УЩЕМЛЕННЫХ БЕДРЕННЫХ ГРЫЖ

(Представлено академиком АН Азербайджанской ССР М. А. Топчубашевым)

Оперативное лечение ущемленных бедренных грыж является актуальным вопросом клинической хирургии.

Актуальность этого вопроса объясняется следующим. Во-первых, ущемленные бедренные грыжи встречаются в 50—55% случаев; во-вторых, до сего времени летальность при ущемленной бедренной грыже остается еще высокой, причем главной причиной летальности при этом является перитонит, возникающий в большинстве случаев вследствие расхождения швов анастомоза после резекции кишок. Несостоятельность анастомоза вызывается невозможностью мобилизации кишки через бедренный канал, где хирург работает на маленьком участке и в опасной зоне.

До сего времени в отечественной и иностранной литературе нет определенного мнения по вопросу тактики хирурга при операции ущемленных бедренных грыж.

Читл-Генри (Cheatle—Непгу) предложил экстраперitoneальный подход над лонным сочленением при ущемленных бедренных грыжах.

В. Е. Бурнетт (Burgnet W. E.) при перфорации гангренозного кишечника с образованием каловых свищей накладывает энтероанастомоз над ущемленной петлей и дренирует грыжевой мешок. Б. А. Петров в таких случаях рекомендует срединную лапаротомию, при этом резекцию кишки производят через брюшную полость, а затем возвращаются к грыже и удаляют ее содержимое.

М. И. Перельман также при ущемленных гангренозно-флегмонозных бедренных грыжах рекомендует среднюю лапаротомию с рассечением лакунарной связки.

На основании своих клинических наблюдений мы убедились в том, что при ущемленных бедренных грыжах обработка содержимого грыжи через грыжевой мешок в бедренном канале должна быть признана несостоятельной. В последнее время ущемленные бедренные грыжи мы оперируем следующим образом: разрезом от передне-верхней ости подвздошной кости до лонного бугорка обнажается грыжевое выпячивание под паховой связкой: оно выделяется от окружающих тканей до основания. Шейка грыжевого мешка освобождается по мере воз-

можности в бедренном канале, затем вскрывается грыжевый мешок, осматривается содержимое. После рассечения апоневроза наружной косой мышцы живота на 1,5—2 см вверх от паховой связки мышцы отводятся кверху и внутрь тупым крючком и производится расширение бедренного кольца со стороны паховой области кверху и кнаружи над бедренными сосудами при помощи кохеровского зонда под строгим контролем глаз. При этом над шейкой грыжевого мешка, поперечная фасция тупо отделяется от паховой связки и при участии поперечной фасции в ущемлении она рассекается. Грыжевой мешок с содержимым переводится в паховую область. Шейка мешка рассекается. Если содержимым оказывается измененный сальник, то он резецируется. Когда содержимым является петля кишечника, подлежащая резекции, производится герниолапаротомия, с последующей резекцией тонкой кишки и наложением энтеро-энteroанастомоза. Во избежание кровотечения из мелких сосудов, находящихся в предбрюшной клетчатке при герниолапаротомии брюшину следует вскрывать недалеко от шейки грыжевого мешка, предварительно отслаивая предбрюшинную жировую клетчатку вверх и кнутри.

При флегмоне грыжевого мешка, вызванной перфорацией гангренозной кишки, производится герниолапаротомия вышеуказанной методикой, а грыжевой мешок с содержимым удаляется со стороны бедра.

В заключение следует отметить, что при операциях ущемленных бедренных грыж расширение бедренного кольца со стороны бедра не всегда устраниет ущемление, а иногда даже влечет за собой опасность. Поэтому обычно нужно ограничиваться лишь освобождением шейки грыжевого мешка от спаек и сращений в грыжевом кольце. Расширение бедренного кольца со стороны паховой области кверху и кнаружи над бедренными сосудами безопасно и всегда представляется возможным. Устранение ущемления обеспечивается полностью. При этом надо рассекать и поперечную фасцию. Пересечения паховой и лакунарной связки абсолютно не требуется.

Большой практический интерес представляют наблюдаемые нами несколько случаев ущемления бедренной грыжи у шейки грыжевого мешка и в поперечной фасции, что не было описано до сих пор никем и подлежит дальнейшему изучению.

Следует отметить, что иногда проведение грыжевого мешка через бедренный канал в паховую область сопряжено с некоторыми трудностями и при операции неущемленных бедренных грыж. Особенно это встречается в тех случаях, когда грыжевой мешок состоит из нескольких камер, покрыт лимфатическими железами и толстым жировым слоем, или же, когда шейка грыжевого мешка спаяна с бедренными кольцами. Иногда препятствием является также поперечная фасция и т. д.

Для избежания вышеуказанных препятствий при выделении грыжевого мешка необходимо шейку его освободить от спаек при помощи кохеровского зонда в бедренных кольцах, после чего мешок свободно вытягивается и полностью обнажается шейка мешка. Затем, вскрывается апоневроз наружной косой мышцы живота, мышцы отводятся вверх и внутрь из жолоба паховой связки тупыми крючками, и при вытягивании грыжевого мешка со стороны бедра шейка его ясно видна через поперечную фасцию над паховой связкой. Над шейкой грыжевого мешка поперечная фасция от заднего края паховой связки тупо отделяется при помощи кохеровского зонда в таких размерах, чтобы свободно можно было провести грыжевой мешок.

При наличии лимфатических желез и жирового наслояния на стенах грыжевого мешка следует удалить эти железы и отсечь по возможности жировую наслойку.

Если грыжевой мешок состоит из нескольких камер и перевести его в паховую область через бедренный канал является невозможным, то в этом случае мешок вскрывается в бедренном канале, содержимое направляется в брюшную полость. После отсечения мешка близко к шейке, культи его переводятся в паховую область, где высоко выделяется, перевязывается у шейки и отсекается.

Произведя 128 операций при осложненных и неосложненных бедренных грыжах вышеуказанной методикой расширения бедренного кольца мы ни разу не пересекали паховую и лакунарную связки.

Отдаленные результаты изучены у 125 больных (126 операций). Сроки контрольной проверки путем осмотра наших больных были следующими: через 8 лет и выше—11 наблюдений, через 7 лет—12, свыше 6 лет—16, свыше 5 лет—8, свыше 4 лет—15, свыше 3 лет—7, свыше 2 лет—16; свыше года—20, свыше 6 месяцев—10, свыше 3 месяцев—3 и до 3 месяцев—7.

Таким образом, сроки контрольной проверки у 47 больных превышают 5 лет, у 38—свыше 2 лет, у 20 свыше года и до года—у 20.

Из 126 операций 7 было произведено по поводу рецидивной бедренной грыжи.

Из 7 больных в одном наблюдении рецидив бедренной грыжи появился на втором году после операции нашей модификацией.

Выводы

1. При ущемленных бедренных грыжах обработка содержимого грыжи через грыжевой мешок в бедренном канале должна быть признана несостоятельной.

2. При ущемленных бедренных грыжах ущемление может происходить у шейки грыжевого мешка и в поперечной фасции.

3. По нашему мнению в ущемлении бедренных грыж поперечная фасция принимает больше участия, чем паховая и лакунарная связки.

4. При радикальной операции осложненных и больших бедренных грыж должен приниматься только паховый доступ.

ЛИТЕРАТУРА

- Герцберг Б. Г. Операция бедренной грыжи паховым путем и ее отдаленные результаты. Вестн. хирургии и погр. обл., т. 30, кн. 87—89, 1933, стр. 143—154.
- Жолквер В. Е. К технике бедренного грыжесечения. Вестн. хирургии, т. 58, кн. 3. 1939, стр. 209—212.
- Ковал А. А. Лечение ущемленных грыж по материалам Сб. научных трудов Днепропетровск. Гос. мед. ин-та, т. Ш, 1957.
- Лернер И. О. К методике радикальной операции бедренных грыж через паховый доступ. Труды Кишиневского Мед. ин-та, т. 2. Кишинев, 1950, стр. 295—299.
- Лобачев С. В., Виноградова И. О. Ущемленные грыжи и их лечение, 1958.
- Макаров М. М. 350 операций по поводу ущемленных грыж. Вестн. хирургии им. Грекова, т. 38, кн. 108—109, 1935.
- Миронов А. Н. Результаты оперативного лечения больных с ущемленными грыжами. Хирургия, 1954, № 9, стр. 32—36.
- Осипов Б. К. К вопросу об операции бедренной грыжи по транспингвинальному способу Руджи и Парлавеччио. Новая хирургия, т. XII, № 5, 1935, стр. 427—430.
- Перельман М. И. Комбинированная радикальная операция при ущемленных гангрипозных и флегмонозных бедренных грыжах. Ж. „Здравоохранение Белоруссии“, 1958, 9.
- Петрашевская Г. Ф. Операция Раджи-Парлавеччио при бедренных и паховых грыжах. Вестн. хирургии и погр. обл., т. 9, кн. 25, 1927, стр. 165—170.
- Стерхов П. Г. Паховый способ операции бедренной грыжи и его отдаленные результаты. Труды Ижевского мед. ин-та, т. 218—221, 1949.
- Стручков В. И. Принципиальные вопросы лечения больных с ущемленной грыжей. „Советская медицина“, 1958, 1.
- Тихоненко Е. Н. К вопросу о технике операции по поводу ущемленной бедренной грыжи. Вестн. Хирургии им. Грекова, т. 74, № 2, 1954, стр. 60.
- Чудаков М. И. Наблюдение ущемления жирового привеска в паховой грыже. Нов. хир.

архив, 4, 1958. 15. Burton C. C. Femoral Hernia: A Review of and Bauer A. R. 165 Repairs. Ann. of surg. 1953, Vol. 148, no. 6, P. 913—918. 16. Haber J. J.—The use of guilde suturein strangulated hernia. Am. J. of surg. 1946, vol. 71, no. 3, P. 392—395. 17. Mc Vag C. B.—Inguinal and Femoral and Savage L. E. Hernioplasty: the Evaluation of a Basic Concept Ann. of surg. 1958, vol. 148, no. 4, p. 499—512. 18. Regers T. A.—Strangulated Femoral Hernia. A Review of 170 Cases. Ann. of surg. 1959, vol. 149, no. 1, P. q—20.

АМИ им. Н. Н. Нариманова

Поступило 18. I 1963

АЗЭРБАЙЧАН ССР ЕЛМЛЭР АКАДЕМИЯСЫНЫН МЭРҮЗЭЛЭРИ
ДОКЛАДЫ АКАДЕМИИ НАУК АЗЕРБАЙДЖАНСКОЙ ССР

ЧИЛД XIX

№ 4

1963

ИГТИСАДИЙДАТ

М. Э. МУСАЈЕВ

БАКЫ КӨМРҮК ИДАРЭСИ ҮЧҮН ХҮСУСИ
БИНАНЫН ТИКИЛМЭСИ

(Азэрбајҹан ССР ЕА академики Ә. С. Сүмбатзадэ төгдим етмишдир)

Бакы ханлығынын Русија бирләшдирилмәсендән соңра (1806), ханын топладығы бүтүн кәлирләр чар һөкүмәтинин әлини кечди. Русија һөкүмәти ханын әлдә етдиши кәлир мәибәләринин несабыны апарыбы. Онлары артырмаг үчүн бир сыра тәдбиirlәр көрдү. Чар һөкүмәти тәрә-финдән артырылмаға чәнд едилән мәибәләрдән бири дә башга йөрлөрдән Бакыја тичарәт маллары кәтирән тачирләрдән алышан нағы иди. Чар һөкүмәти көмрүк нағынын дүзкүн топланымасы үчүн 1807-чи ил јанварын 25-дә Бакыда көмрүк идарәсінин јарадылмасы нағында фәрман верди.¹ Көмрүкхана 1809-чу ил августун 6-дан Гасымбәј Мәнсүров адлы бири辛勤 мәхсус карвансарада өз ишине башлады.² Дөвләт һәр ај карвансаралын ичарә едилмәсінә көрә Гасым бәјә рус пулуна бәрабәр олан хан аббасысы илә 1200 манат мис пул вериди.³ Бир нечә илдән соңра нағы-несабы асанлашдырмаг мәгсәди илә 1200 манат хан, аббасысы дөврүн курсу әсасында 363 манат 63 гәпик күмүш пула чөврилди.⁴ 1832-чи илдән соңра ичарә нағы 600 маната галдырылды.⁵ Лакин көстәрилән бина олдуғча дарысғал иди вә тачирләрин тәләбини өдәмжиди. Ейни заманда бу дөвләт үчүн дә әлверишли дејилди. Чүнки, анбарларда йөрләшдирилә билмәжем малларын дүзкүн несабыны апармаг, онлардан көмрүк топламаг чох чәтиң иди. Буна көрә көмрүк идарәси үчүн хүсуси бина тикмәк лазым иди.

Гафгазын сәрдары кенерал Ермоловун тапшырығы илә мүнәндис подполковник Фон-Тагер 1825-чи ил февралын 16-да Бакыја кәлиб, бинанын лајиһәсіни тәртиб едир.⁶ О, гала диварларындан 160 сажен (сажен—3 аршына бәрабәрdir—М. М.) чәнубтәрәфә олан саһәни бина үчүн мұнасаб несаб едир.⁷

Кенерал-мајор Краббе 1829-чу ил апрелин 28-дә бина үчүн иккүнчи бир лајиһә тәртиб едәрәк, онун Гасым бәјә мәхсус карвансара үз-

¹ АКАК, III чилд, Тифлис, 1869, сәнәд 70, сән.

² Күрчүстан ССР МДТА, фонд 378, сијаһы 1, иш 1229, вәрәг 5

³ Јенә орада.

⁴ Јенә орада, вәрәг 13.

⁵ Јенә орада.

⁶ Јенә орада, вәрәг 16.

⁷ Азэрбајҹан ССР МДТА, фонд 202, сијаһы 1, иш

онун этрафында олан биналарын јеринде тикилмәсии мәсләһәт билир.⁸ Тифлисин һәрби губернатору, кенерал-лејтенант Стрелковун көстәри-шина әсасән 1829-чу ил августун 27-дә кенерал-маJOR Заводовски, мүһәндис подполковник Исаев вә сарај мушавири Лубински булајиһәләрин һәр икисиниң тәнгид едиб, өзләри јени бир лајиһә тәртиб едирләр.⁹ Күрчүстан мүһәндисләр даирәсииң командири, подполковник Йитов һәмин лајиһени нәзәрдән кечириб, бә’зи дәјишикликләр едир.¹⁰ Кечмишдә Бакы шәһәринин комендантты олмуш барон Розен Гафгазын сәдри вәзиғесинә тә’јин едилдикдән соира Бакыја кәлир вә көмрүк идарәси үчүн тикиләчәк бинаның саһесиниң нәзәрдән кечирир. О, јухарыда көстәрилән јерләрин һеч бирини хошламыр вә өзү јени бир саһә сечир. Барон Розен гала диварлары ичәрисинде олан дөвләт әрзаг мағазасынын вә Рзабәй Мәммәд Таңры оғлуна мәхсус карванасынын јерини көмүрхананың бинасы үчүн даһа мұнасиб һесаб едир. Бакы комендантты барон Розениң сечдији јер һағында 1833-чу ил сентябр аյынын 30-да Загафгазија көмрүк даирәсииң рәисине рапорт верир.¹¹ Беләликлә, бинаның јери гәти олараг мүәjjән олуунур.

1836-чи ил январ айынын 23-дә сметаја әсасән бинаның тикилмәси үчүн әсқинасла 35,415 манат пул бурахылыр.¹² Лакин тикинти ишиниң 1836-чи ил октябр айына ғәдәр башламаг олмур. Бунун сәбәби бинаның тикилдији јердә мөвчуд олан әрзаг мағазасында дөвләтә мәхсүс тахылын олмасы иди. Ону башга јерә дашымаг исә дөвләтә чох зәрәр вуарды. Одур ки, Бакының комендантты подполковник Лузанов 1836-чи ил мај айынын 13-дә адыны чәкдијимиз мағазаның сөкүлмәсии онда олан тахылын гутармасына ғәдәр тә’хирә салмағы Загафгазијаның әлагәдәр тәшкилатларында хәниш едир.¹³

1836-чи ил октябр айынын 1-дән бинаның тикилишинә башланылыр.¹⁴ 1837-чи вә 1838-чи илләрдә ғызғын иш кедир вә бу ики ил әрзинде бурахылыш пулун чох һиссәси хәрчләнир. 1838-чи илин сентябр айында Загафгазија мүһәндисләр даирәси идарәси Бакы мүһәндисләр командасының командири подполковник Жданова бинаның тикилишини гыса мүддәтдә гутармаг үчүн тәдбиirlәр көрмәјә тәләб етди.¹⁵ Бинаның тикилиши заманы сметада көстәрилмәјән бир сырға ишләрин дә көрүлмәси ашкара чыхарлырыр. Артыг 1840-чи илин сонларында ишин хејли һиссәси галдығы һалда, бурахылан мәбләг бүтүнлүкә хәрчләниб гутарыр.

1841-чи ил март айынын 15-дә Бакы мүһәндисләр командасының командири подполковник Жданов вәсантин олмамасы үзүндән тикинтиң дајандығыны һәбәр верир.¹⁶ Жданов һәмин ил мај айынын 17-дә Загафгазија мүһәндисләр даирәсии мә’лумат верир, ки, бинаның тикилишини баша чатдырмаг үчүн әлавә олараг, күмүш пулла 8.324 манат пул лазындыр.¹⁷ Загафгазија мүһәндисләр даирәси рәиси мүһәндис подполковник Постелс 1842-чи ил декабр айынын 10-да бинаның тикилишини баша чатдырлымасы үчүн лазын олан хәрчләрин сметасыны тутмаг үчүн көстәриш верир вә бунуна бәрабәр, Харичи Ти-

рат Департаментинә мүрачиәт едир ки, Департамент Малијјә назирлигинде әлавә олараг күмүш пулла 8 мин манат пул бурахылмасыны хәниш етсии.¹⁸

Малијјә назирлиji хүсуси Гафгаз корпусунун рәиси Котсебуја мүрачиәт едәрәк, бурахылыш 35,415 манат әсқиназ пулун нәјә хәрчләнидијини јохламағы хәниш едир.¹⁹

Тикилишиниң баша чатмасы үчүн лазын олан хәрчләр диггәтлә нәзәрдән кечирилir вә смета туттулур. Бу смета әсасында Русијаны Малијјә назирлиji граф Канкирии 1843-чу ил декабр айынын 28-дә Харичи Тиcharәт Департаментинә көмрүк бинасының тикилишиниң баша чатдырлымасы үчүн күмүш пулла 6.226 манат пул бурахымаг һагында көстәриш верир²⁰. Бунуна бәрабәр Загафгазија мүһәндисләр даирәсииң рәиси полковник Постелс дә бинаның тикилишиниң баша чатмасы үчүн лазыны тәдбиirlәр көрмәсии тәләб едир²¹.

Јарытмаз ишләдијине көрә Жданов Бакы мүһәндисләр команда-сының командири вәзиғесинде әзад едилib, онун јерине мүһәндис-подполковник Аникијев тә’јин едилir.²²

Аникијев 1844-чу ил нојабр айынын 25-дә хәбәр верир ки, баш фликлә (фликлә—әсас бинаны җанында тикилмиш ев демәклири—M. M.) 1845-чи ил январ айынын 1-дән кечмәк олар.²³

1844-чу ил декабр айынын 22-дә бинада әсас ишләр гуртарыр.²⁴ Нәһајәт, 1845-чи ил октябр айынын 30-да мүһәндис-подполковник Аникијев Бакы гәзасы рәисиниң иштиракы үлә бинаны Бакы көмрүк идарәсииң рәиси Иванова тәһвили верир.²⁵

1845-чи ил декабр айынын 23-дә исә Тифлисдән е’замијә едилмиш мүһәндис-подполковник Енгбрехтни иштиракы үлә тәһвили-тәслим акты имзаланыры.²⁶

Беләликлә, 1809-чу ил ил август айынын 6-дан 1843-чу илин декабрина ғәдәр Гасым бәјин карвансарасында, соира исә Погос Осиповун евинде јөрләшән көмрүк идарәси 1845-чи ил октябр айынын 30-дан етибарән јени тикилмиш хүсуси бинаја кечирилir, бинаның корпу-сунун узунлуғу 86, ени 42, һүндүрлүjy 26 фунттур.²⁷

Бинаның тикилиши әсқинасла 51.153 вә ja күмүш пулла 14.219 маната баша кәлмишdir.²⁸

Бу бина һал-һазырда Нефтчиләр проспектиндәki 85 №-ли јашајын евидир.

Итисадијјат институту

Алынышдыр 26. XI 1962

⁸ Азәрбајҹан МДТА, фонд 202, сијаһы 1, иш 91 вәрәг 5.

⁹ Күрчүстан ССР МДТА, фонд 378, сијаһы 1 иш 91 вәрәг 14.

¹⁰ Азәрбајҹан ССР МДТА, фонд 202, сијаһы 1, иш 91 вәрәг 5—6.

¹¹ Күрчүстан ССР МДТА, фонд 378, сијаһы 1, иш 103, вәрәг 15 вә Ленинград МДТА, фонд 19, сијаһы 3, иш 111, вәрәг 393 вә Азәрбајҹан ССР МДТА, фонд 202 сијаһы 1, иш 91, вәрәг 69.

¹² Күрчүстан ССР МДТА, фонд 378, сијаһы 1, иш 1229, вәрәг 233.

¹³ Күрчүстан ССР МДТА, фонд 378, сијаһы 1, иш 4229, вәрәг 23.

¹⁴ Күрчүстан ССР МДТА, фонд 378, сијаһы 1, иш 103, вәрәг 104,

¹⁵ Јенә орада, иш 2552, вәрәг 233.

¹⁶ Јенә орада, вәрәг 198.

¹⁷ Јенә орада, вәрәг 230.

¹⁸ Күрчүстан ССР МДТА, фонд 378, сијаһы 1, иш 2252, вәрәг 198.

¹⁹ Јенә орада, вәрәг 274, 284.

²⁰ Күрчүстан ССР МДТА, фонд 378, сијаһы 1, иш 2252, вәрәг 332.

²¹ Јенә орада.

²² Јенә орада, вәрәг 274.

²³ Јенә орада, вәрәг 378.

²⁴ Јенә орада, вәрәг 410.

²⁵ Јенә орада, вәрәг 452.

²⁶ Јенә орада, вәрәг 451.

²⁷ Јенә орада.

²⁸ Јенә орада, вәрәг 379.

О постройке специального здания для бакинской таможни

РЕЗЮМЕ

После присоединения бакинского ханства к России (1806 г.) все доходы, получаемые ханом, перешли в казну.

Одним из таких поступлений являлась пошлина, получаемая от купцов за право торговли.

Для правильного учета взимания пошлины в 1807 г. было организовано специальное учреждение—бакинская таможня. Ранее она помещалась в караван-сарае Гасым бека Мансурова, за что он получал от казны ежегодно 1200 руб. ханскими абазами, составлявшими равное количество с российской медной монетой. Затем эти деньги для лучшего расчета были переведены на серебро суммой в 363 руб. 63 коп. В 1832 г. наследники покойного Мансурова потребовали от казны 600 руб. серебром.

Однако указанное помещение не удовлетворяло потребностей купцов, а также было невыгодно для государства. В связи с этим царское правительство приняло решение о постройке специального здания для бакинской таможни. Существовало несколько проектов.

Окончательно место для здания выбрал барон Розен и по его смете 23 января 1836 г. было выделено 35 415 руб. ассигнациями на постройку. Работы начались с 1 октября 1836 г., а к 22 декабря 1844 г. строительство было завершено. 30 октября 1845 г. в это здание переселилось управление бакинской таможни. Длина корпуса составляла —86, ширина —42, высота—24 фута. Здание обошлось государству в 51 153 руб. ассигнациями или 14 219 руб. серебром. Бакинская таможня находилась в здании, расположеннном ныне в гор. Баку по проспекту Нефтяников в доме № 85.

МУНДЭРИЧАТ

Ријазијјат

Р. Э. Шәфијев. Гејри-хәтти оператор тәилиji үчүн бир гитерасија үсүлuna дайр 3

Механика

К. А. Кәримов. Әйилмә пәгтәси олан «кәрилмә деформасија» динамик өйрәнүүн тә'жин 11

Нефт вә газ жатагларынын ишләнилмәсі

А. Ш. Казыров, В. П. Пилатовский. Тәэжигин капилјар сыррајышы чәспи иәзәрә алышын мајеләрин аյырma сәрһәдди һәрәкәттинин парадоксуну арада галдырычы кими 17

Коллоид кимјасы

А. Г. Мискәрли вә б. Суварма каналларынын кил торпагларында сујун сүзүлмәсінә гарши мұбаризәдә коллоид-кимјәви метод һагтында 23

Нефт қеолокијасы

Х. М. Рзаев, А. Б. Чаваширов. Нефтила антиклиналынын чәпүшәрг периклиналынын нефтлилиji һагтында 27

Нефт истеһасы

Ф. И. Сәмәдов, Ч. А. Султанов. Гарадағ саһасында VII һоризонттам ишләдилмәсі заманы нефтиң газ-конденсат саһасын дахил олмасына дайр 31

Кеофизика

Е. М. Демиховскаја, В. П. Кузнецов. Зәлзәлләний сәттә мәнбәјиңдән спержинин сөнмәси хүсусијәтләри һагтында 37

Минералокија

Р. Н. Ыссонов, Ш. И. Аллахвардиев. Қычик Гафгазын Азәрбајҹан һиссәсийннен ултраәсасы вә эсаси сүхурларындакы преинт һагтында 43

Торпагшүнаслыг

І. Э. Элијев, И. Н. Степанов. Гарабаг дүзәнлийинин гәһвәји мешә торпагларынын ба'зи хүсусијәтләри вә охшајышы 49

Мешәчилик

И. С. Сәфәров. Мешә құлтурасына дәјәрли вә тәзбөјүйен чинсләр дахил едилмәлли 55

Биткиләрин биоморфологијасы

Ә. Г. Мәммәдов. Азәрбајҹан әразисинде јајылмыш ба'зи Aegilops лев-ләрийнин биоморфологи хүсусијәтләри 61

Ашагы биткиләрин систематикасы

Л. Б. Лубарскаја. Гафгаз флорасында раст көлән јени вә надир ма-мырлар һагтында 69

Палеонтология

Н. И. Бурчак-Лбрамович. Гәдим Гафгазда ев дәвәси 73

Протистология

К. П. Қазатскаја, Л. Ф. Широва. Нахчыван МССР-ин тулјаремија очагында оксид көнә вә бирләр 79

Тибб

И. Т. Абасов. Мә'дә ширәсийнин зүлләлләри, зүлләл фраксијалары, зүлләлсиз азоту вә амин туршулары нормада вә патолокијада 85

Игтисадијат

М. И. Мусаев. Бакы көмрүк идарәси үчүн хүсуси бинанын тикилмәсі 93

ПРАВИЛА ДЛЯ АВТОРОВ

1. В «Докладах Академии наук Азербайджанской ССР» помещаются краткие сообщения, содержащие законченные, еще не опубликованные результаты научных исследований, имеющих теоретическое или практическое значение.

В «Докладах» не публикуются крупные статьи, механически разделенные на ряд отдельных сообщений, статьи полемического характера без новых фактических данных, статьи с описанием промежуточных опытов без определенных выводов и обобщений, работы непринципиальные, описательного или образного характера, чисто методические статьи, если предлагаемый метод не является принципиально новым, а также статьи по систематике растений и животных (за исключением описания особо интересных для науки находок).

Статьи, помещаемые в «Докладах», не лишают автора права последующей публикации того же сообщения в развернутом виде в других изданиях.

2. Поступающие в «Доклады» статьи рассматриваются Редакционной коллегией только после представления их академиком по специальности.

Статьи членов-корреспондентов Академии наук Азербайджанской ССР принимаются без представления.

Редакция просит академиков при представлении статьи указывать дату получения ее от автора, а также наименование раздела, в котором статья должна быть помещена.

3. В «Докладах» публикуется не более трех статей одного автора в год. Для академиков устанавливается лимит 8 статей, а для членов-корреспондентов Академии наук Азербайджанской ССР — 4 статьи в год.

4. «Доклады» помещают статьи, занимающие не более четверти авторского листа, около 6—7 страниц машинописи (10 000 печатных знаков), включая рисунки.

5. Статьи, написанные на азербайджанском языке, должны иметь резюме на русском языке и изоборот.

6. В конце статьи должны быть указаны название научного учреждения, в котором произведена работа, и номер телефона автора.

7. Опубликование результатов работ, проведенных в научных учреждениях, должно быть разрешено дирекцией научного учреждения.

8. Статьи (включая и резюме) должны быть написаны на машинке через два интервала на одной стороне листа и представляются в двух экземплярах. Формулы должны быть вписаны четко и ясно, и при этом прописные буквы должны быть подчеркнуты (черным карандашом) двумя черточками снизу, а строчные сверху; буквы греческого алфавита надо обводить красным карандашом.

9. Цитируемая в статье литература должна приводиться не в виде подстрочных сносок, а общим списком (без новострочия), в алфавитном порядке (по фамилии автора), в конце статьи с обозначением ссылки в тексте порядковой цифрой. Список литературы должен быть оформлен следующим образом:

а) для книг: фамилия и инициалы автора, полное название книги, номер тома, город, издательство и год издания;

б) для статей в сборниках (трудах): фамилия и инициалы автора, заглавие статьи, название сборника (трудов), том, выпуск, место издания, издательство, год, страница;

в) для журнальных статей: фамилия и инициалы автора, заглавие статьи, название журнала, год, том, номер (выпуск), страница.

Ссылки на неопубликованные работы не допускаются (за исключением отчетов, диссертаций, хранящихся в научных учреждениях).

10. На обороте рисунков должны быть указаны фамилия автора, название статьи и номер рисунка. Отпечатанные на машинке подписи к рисункам представляются на отдельном листе.

11. Редакция выдает автору бесплатно 25 отдельных оттисков статьи.

Чапа имзалалмыш 26/VI 1963-чү ил. Кағыз форматы 70×108^{1/16}. Кағыз вәрәги 3,13.
Чап вәрәги 8,56. Һес-нәшријат вәрәги 7,05. ФГ 06562. Сифариш 479. Тиражы 840.
Гүмәти 40 гәп.

Азәрбајҹан ССР Елмләр Академијасы Мәтбәәси, Бакы, Фәһлә преспекти, 96.



40 гэп.

Индекс
76355